

Eksperimentano i numeričko određivanje toplinskih svojstava vatrootporne žbuke i vatrobetona na visokim temperaturama

Kuzmić, Roman

Master's thesis / Diplomski rad

2019

*Degree Grantor / Ustanova koja je dodijelila akademski / stručni stupanj: **University of Zagreb, Faculty of Mechanical Engineering and Naval Architecture / Sveučilište u Zagrebu, Fakultet strojarstva i brodogradnje***

Permanent link / Trajna poveznica: <https://urn.nsk.hr/um:nbn:hr:235:077883>

Rights / Prava: [Attribution-NonCommercial-ShareAlike 4.0 International / Imenovanje-Nekomercijalno-Dijeli pod istim uvjetima 4.0 međunarodna](#)

*Download date / Datum preuzimanja: **2024-04-19***

Repository / Repozitorij:

[Repository of Faculty of Mechanical Engineering and Naval Architecture University of Zagreb](#)



SVEUČILIŠTE U ZAGREBU
FAKULTET STROJARSTVA I BRODOGRADNJE

DIPLOMSKI RAD

Roman Kuzmić

Zagreb, 2019.

SVEUČILIŠTE U ZAGREBU
FAKULTET STROJARSTVA I BRODOGRADNJE

DIPLOMSKI RAD

Mentori:

Prof. dr. sc. Ivanka Boras, dipl. ing.

Student:

Roman Kuzmić

Zagreb, 2019. godina.

Izjavljujem da sam ovaj rad izradio samostalno koristeći znanja stečena tijekom studija i navedenu literaturu.

Zahvaljujem se mentorici prof.dr.sc. Ivanki Boras, prof.dr.sc. Srećku Švaiću i mag.ing. Ivanu Horvatu koji su me usmjeravali prilikom izrade ovog rada. Također, hvala laborantu Željku Badžeku na profesionalnoj pomoći tijekom obavljanja eksperimentalnih mjerenja.

Hvala mojoj obitelji na podršci i razumijevanju tijekom cijelog mog obrazovnog putovanja. Također, zahvaljujem se svojoj djevojci koja me pratila tijekom studija i pružila mi neupitnu ljubav i podršku.

Roman Kuzmić



SVEUČILIŠTE U ZAGREBU
FAKULTET STROJARSTVA I BRODOGRADNJE

Središnje povjerenstvo za završne i diplomske ispite

Povjerenstvo za diplomske ispite studija strojarstva za smjerove:
procesno-energetski, konstrukcijski, brodostrojarski i inženjersko modeliranje i računalne simulacije



Sveučilište u Zagrebu Fakultet strojarstva i brodogradnje	
Datum	Prilog
Klasa:	
Ur. broj:	

DIPLOMSKI ZADATAK

Student: **Roman Kuzmić** Mat. br.: 0035199073

Naslov rada na hrvatskom jeziku:

Eksperimentalno i numeričko određivanje toplinskih svojstava vatrootporne žbuke i vatrebetona na visokim temperaturama

Naslov rada na engleskom jeziku:

Experimental and numerical determination of thermal properties of fireproof mortar and concrete at high temperatures

Opis zadatka:

Zaštita od požara građevinskih konstrukcija, između ostalog, postiže se i primjenom odgovarajućih materijala koji su otporni na visoke temperature - vatrootporne žbuke i vatrebetona. Poznavanje njihovih fizikalnih i toplinskih svojstava na visokim temperaturama je nužno radi procjene integriteta cijele građevinske konstrukcije. Parametri koji pri tome određuju ponašanje materijala su: temperatura, vrijeme izloženosti visokoj temperaturi, tijek procesa (grijanje, hlađenje, procesi nakon ohlađivanja i sl.), vrsta betona, vrsta agregata i drugo.

U radu je potrebno mjeranjem odrediti i numeričkom simulacijom potvrditi ovisnost specifičnog toplinskog kapaciteta o temperaturi za dvije vrste materijala:

- vatrootporna žbuka VATROSTOP, proizvođač Samoborka, Samobor i
- vatrebeton VATRIT, proizvođač VIG, Zagreb.

Maksimalna temperatura koju treba postići u uzorcima je 500°C . Mjerena je, za svaki ispitivani materijal, potrebno provesti na tri uzorka jednake geometrije, a rezultate prikazati u obliku funkcije $c = c(\vartheta)$. Numeričku simulaciju treba provesti za svaki ispitivani uzorak, uvažavajući specifične početne i rubne uvjete procesa zagrijavanja. Rezultate usporediti s rezultatima eksperimenta te analizirati eventualna odstupanja.

U radu je potrebno navesti korištenu literaturu i eventualno dobivenu pomoć.

Zadatak zadan:

26. rujna 2019.

Zadatak zadao:

Prof. dr. sc. Ivanka Boras

Datum predaje rada:

28. studenoga 2019.

Predviđeni datum obrane:

2. – 6. prosinca 2019.

Predsjednica Povjerenstva:

Prof. dr. sc. Tanja Jurčević Lulić

SADRŽAJ

1. UVOD.....	1
1.1. O požaru.....	1
1.2. Opasnosti požara	2
1.3. Mjere sigurnosti i prevencije požara.....	4
1.3.1. Građevinske mjere prevencije.....	4
1.3.2. Civilne mjere prevencije	4
2. VATROOTPORNİ MATERIJALI.....	8
2.1. Najčešći primjeri	8
2.2. Istraživanja vatrootpornosti.....	10
2.2.1. Izvadci iz literature.....	11
2.3. Svojstva ispitivanih materijala	13
2.3.1. VATROSTOP žbuka	14
2.3.2. VATRIT vatrobeton	15
3. EKSPERIMENTALNA ANALIZA.....	16
3.1. Opis sustava	16
3.1.1. Svojstva komponenti sustava	17
3.1.2. Model prijelaza topline	18
3.1.3. Kritične vremenske točke.....	23
3.2. Provedba mjerena.....	24
3.2.1. Mjerna oprema	25
3.2.3. Geometrija i priprema uzorka	32
3.3. Zapažanja	33
3.3.1. Utjecaj vlage	34
3.3.2. Identifikacija gubitaka tijekom mjerena	36
3.4. Rezultati mjerena	37
4. NUMERIČKA ANALIZA	41
4.1. Opis analize.....	41
4.2. Matematički model	42
4.3. Izrada geometrije i mreže.....	45
4.4. Rubni i početni uvjeti	48
4.5. Rezultati numeričke analize	50
5. ANALIZA REZULTATA	54
5.1. Vatrootporna žbuka.....	54
5.3. Vatrobeton.....	56
5.5. Usporedba s literaturom	58
6. ZAKLJUČAK.....	59
LITERATURA.....	60
PRILOZI.....	62

POPIS SLIKA

Slika 1.	Prikaz raspodjele udjela pojedinih vrsta materijala koji se pojavljuju kao prijenosnici požara	1
Slika 2.	Crkva Notre Dame, Pariz (2019.) u požaru.....	3
Slika 3.	Minerali korišteni u vatrostalnim materijalima	8
Slika 4.	Materijali korišteni za izradu staklenog vlakna.....	9
Slika 5.	Najčešće korišteni vatrootporni materijali	10
Slika 6.	Krivulja razvoja temperature požara [6]	11
Slika 7.	Izvadak iz literature: mjerjenje betona DSC metodom	12
Slika 8.	Ovisnost specifičnog toplinskog kapaciteta gipsa o temperaturi prema [10].....	13
Slika 9.	Izvadak iz literature. Mjerjenje DSC metodom.....	13
Slika 10.	Vatrostop protupožarna žbuka [Samoborka].....	14
Slika 11.	Shematski prikaz sustava izolacijske posude, električnog grijača i ispitnog uzorka	17
Slika 12.	Prikaz kretanja toplinskog toka u sustavu	18
Slika 13.	Krivulja temperatura mjerena u uzorku	23
Slika 14.	Skica izolacijske posude s dimenzijama (lijevo). Poklopac (desno).....	26
Slika 15.	Realni prikaz termoizolacijske posude (lijevo. Pogled odozgore (desno).	26
Slika 16.	Električni grijač	27
Slika 17.	Termopar tip K	27
Slika 18.	Varijabilni transformator korišten tijekom mjerena (lijevo). Nova izvedba (desno).....	28
Slika 19.	Mjerni uređaji: ampermetar (lijevo), voltmeter (desno).....	29
Slika 20.	Keysight 34970A za prikupljanje podataka tijekom mjerena [15]	29
Slika 21.	Nadograđeni Keysight uređaj korišten tijekom mjerena	30
Slika 22.	Sučelje sustava Agilent BenchLink 3.0.....	30
Slika 23.	Shematski prikaz eksperimentalne opreme	31
Slika 24.	Skica uzorka s dimenzijama (lijevo). Način montiranja uzorka na poklopac (desno).....	32
Slika 25.	Uzorci žbuke (desno). Uzorci betona (lijevo).	32
Slika 26.	Uzorak betona nakon mjerena (lijevo). Uzorak žbuke nakon mjerena (desno) ..	33
Slika 27.	Utjecaj vlage na rezultate zagrijavanja uzorka	35
Slika 28.	Prikaz toplinskih gubitaka u sustavu	36
Slika 29.	Prikaz temperaturnog profila termobetona pri zagrijavanju do 500°C	38
Slika 30.	Prikaz temperaturnog profila vatrootporne žbuke pri zagrijavanju do 500°C	38
Slika 31.	Krivulja ovisnosti temperature stijenke grijača o vremenu. Zagrijavanje pri 150V.	39
Slika 32.	Specifični toplinski kapacitet vatrootporne žbuke u ovisnosti o temperaturi	40
Slika 33.	Specifični toplinski kapacitet vatrobetona u ovisnosti o temperaturi.....	40
Slika 34.	Diskretizacija sredine uzorka prema dominantnom širenju topline	43
Slika 35.	Diskretizacija modela na rubu uzorka	44
Slika 36.	Model ispitnog uzorka izrađenog u SolidWorks-u.....	45
Slika 37.	Detalji izrade mreže (lijevo). Prikaz mreže (desno).....	46
Slika 38.	Mreža uzorka i stijenke posude	47
Slika 39.	Zadavanje globalnog početnog uvjeta	48
Slika 40.	Zadavanje rubnih uvjeta (ANSYS Mechanical).....	49
Slika 41.	Temperaturna mapa prvog uzorka vatrootporne žbuke (lijevo). Temperatura vanjske stijenke (desno).	50

Slika 42.	Temperaturna mapa drugog uzorka vatrootporne žbuke (lijevo). Temperatura vanjske stijenke (desno)	51
Slika 43.	Temperaturna mapa trećeg uzorka vatrootporne žbuke (lijevo). Temperatura vanjske stijenke (desno)	51
Slika 44.	Temperaturna mapa prvog uzorka vatrobetona (lijevo). Temperatura vanjske stijenke (desno).....	52
Slika 45.	Temperaturna mapa drugog uzorka vatrobetona (lijevo). Temperatura vanjske stijenke (desno).....	52
Slika 46.	Temperaturna mapa trećeg uzorka vatrobetona (lijevo). Temperatura vanjske stijenke (desno).....	53
Slika 47.	Usporedba rezultata eksperimenta i numeričke analize: Vatrootporna žbuka, prvi uzorak	54
Slika 48.	Usporedba rezultata eksperimenta i numeričke analize: Vatrootporna žbuka, drugi uzorak	55
Slika 49.	Usporedba rezultata eksperimenta i numeričke analize: Vatrootporna žbuka, treći uzorak	55
Slika 50.	Usporedba rezultata eksperimenta i numeričke analize: Vatrobeton, prvi uzorak	56
Slika 51.	Usporedba rezultata eksperimenta i numeričke analize: Vatrobeton, drugi uzorak	56
Slika 52.	Usporedba rezultata eksperimenta i numeričke analize: Vatrobeton, treći uzorak	57
Slika 53.	Usporedba rezultata vatrobetona s literaturom.....	58
Slika 54.	Usporedba rezultata vatrootporne žbuke s literaturom.....	58

POPIS TABLICA

Tablica 1.	Tehničke karakteristike Vatrostop žbuke	14
Tablica 2.	Tehničke karakteristike Vatrit vetrobetona	15
Tablica 3.	Svojstva komponenti mjernog sustava	17
Tablica 4.	Popis korištenih termoparova	28
Tablica 5.	Iznos jakosti struje tijekom mjerena	33
Tablica 6.	Način zapisivanja podataka iz mjerena	37
Tablica 7.	Specifični toplinski kapacitet elektrogrijača	39

POPIS OZNAKA

Oznaka	Jedinica	Opis
T	K	Termodinamička temperatura
t	s	Vrijeme
c	$\frac{J}{kg \cdot K}$	Specifični toplinski kapacitet
e	-	Maseni sadržaj vode
f	-	Korekcijski faktor
g	°C	Temperatura
λ	$\frac{W}{m \cdot K}$	Toplinska provodnost
E	J	Električna energija
Q	J	Toplinska energija
P	W	Snaga
U	V	Napon
I	A	Jakost struje
m	kg	Masa
A	m^2	Površina
C	$\frac{W}{m^2 \cdot (100K)^4}$	Konstanta zračenja
ε	-	Emisivnost
σ	$\frac{W}{m^2 \cdot (100K)^4}$	Stefan-Boltzmannova konstanta
ω	-	Geometrijski faktor
ρ	kg/m^3	Gustoća
a	m^2/s	Toplinska provodnost

Indeks	Opis
d	Isparena voda

<i>sl</i>	Slobodna voda
<i>ul</i>	Ulazna komponenta
<i>g</i>	Elektrogrijač
<i>uz</i>	Ispitni uzorak
<i>zr</i>	Zračenje
<i>z</i>	Zrak
<i>EL</i>	Električna energija
<i>0</i>	Početno (nulto) vrijeme
<i>i</i>	Isključivanje
<i>su</i>	Stijenka uzorka
<i>sp</i>	Stijenka termoizolacijske posude
<i>i</i>	i-ti trenutak

SAŽETAK

U ovom radu obrađen je i prikazan postupak utvrđivanja specifičnog toplinskog kapaciteta pri požarnim temperaturama (do 500 °C) sljedećih materijala: Vatrostop vatrootporne žbuke (Samoborka, Samobor) i Vatrit vatrobetona (VIG, Zagreb). Analiza je izvedena eksperimentalnom metodom, a onda provjerena numeričkom metodom. Za analizu je osmišljen i predstavljen matematički model prijelaza topline, a krajnji rezultat je definirana funkcionalna ovisnost specifičnog toplinskog kapaciteta o temperaturi.

Osim navedenog, u radu su navedene osnove zaštite od požara uključujući i zakonsku regulativu te ispitne mjere koje objekti moraju zadovoljiti. Prikazan je pregled vatrootpornih materijala u svakodnevnoj upotrebi kao i sirovine od kojih se isti proizvode.

Ključne riječi: specifični toplinski kapacitet, požar, termodinamička analiza, Vatrostop, vatrootporna žbuka, Vatrit, vatrobeton, prijenos topline

SUMMARY

This article addresses the topic of determining the specific heat capacity of Vatrostop fire mortar (Samoborka, Zagreb) and Vatrit high-temperature resistant concrete. An experimental and then numerical approach is used. For the purpose of this analysis, a mathematical model of heat transfer is designed. The final result is a function of temperature-dependent specific heat capacity.

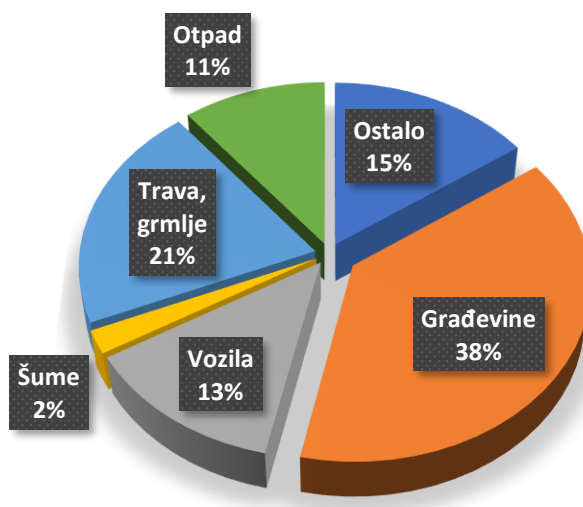
Furthermore, the article deals with the description of fire-resistant materials and precaution measures that are needed for the protection of a fire accident.

Key words: specific heat capacity, fire-resistant materials, fire mortar, fire concrete, heat transfer

1. UVOD

Sve utjecajniji problem globalnog zatopljenja donosi između ostalog i veće vjerojatnosti za pojavom požara zbog većih godišnjih prosječnih temperatura. Statistike pokazuju da je 2015. godine u državama koje sudjeluju u vođenju statistike požar odnio 18 400 života. Ukupno je u trideset jednoj državi zabilježeno 3,5 milijuna požara [1]. Od toga je Republici Hrvatskoj 2015. godine zabilježena brojka od 12 156 požara te 24 izgubljena života.

Ono što je iznenađujuće jest da je čak 38,2 % požara prenošeno preko građevina i struktura, što među ostalim medijima širenja (trava, smeće, vozila, šume) čini najveći udio. Na Slici 1. vidljiv je točan raspored udjela medija širenja požara u 2015. godini.



Slika 1. Prikaz raspodjele udjela pojedinih vrsta materijala koji se pojavljuju kao prijenosnici požara

Zbog prethodno navedenih podataka od velike je važnosti u građevinarstvu korištenje materijala poznatih svojstava kako bi se pravilno projektirali požarni putevi i brane. Najvažnija svojstva u tom pogledu su ona termodinamička; toplinska provodnost i specifični toplinski kapacitet i mehanička svojstva pri visokim temperaturama. Mjerenje i određivanje specifičnog toplinskog kapaciteta vatrootporne žbuke i vatrobotetona predmet je ovog diplomskog rada.

1.1. O požaru

Vatra je kemijska reakcija koja je ljudima poznata još od davnih vremena. Stari Grci poznavali su tehniku paljenja vatre pomoću koncentriranja Sunčevih zraka. U današnje vrijeme parabolično se zrcalo i dalje koristi kao tehnika paljenja vatre na olimpijskoj baklji. Poznata je činjenica da je Zemlja jedini poznati planet gdje se može odvijati proces gorenja. Bilo gdje

drugdje nema dovoljno kisika za navedeni proces. Za nastanak i održanje vatre potrebna su tri esencijalna uvjeta: visoka temperatura, kisik i goriva tvar. U slučaju nestanka jedne od ovih komponenti vatra se gasi. Boja plamena vatre određena je količinom kisika u plamenu; žuti plamen je onaj s nedostatkom kisika, a plavi plamen s dovoljno kisika.

Požar ima drukčiju definiciju od vatre; požar je nekontrolirano gorenje vatre koje nanosi materijalnu štetu i/ili ugrožava ljudske živote. Unatoč mjerama opreza požari i dalje izbijaju pod raznim okolnostima. Požari se mogu klasificirati prema više kriterija:

- Fazi požara: početni požar, razbuktali požar, faza zgarišta
- Obujmu požara: mali, srednji, veliki i katastrofalni

U malom požaru izgara manja količina gorive tvari i lako se gasi. Srednji požar zahvaća jednu prostoriju neke zgrade ili više njih, a u velikom zahvaćena je cijela zgrada, tvornica ili velika površina.

Požari prema vrsti gorive tvari:

- A. Požari klase A su požari krutih tvari poput papira, ugljena, drva i slično. Za gašenje se koriste sredstva poput vode, pijeska, određenih vrsti praha, pjene i halona.
- B. Požari klase B su požari zapaljivih tekućina - npr. zapaljiva ulja i slično. Gasimo ih pomoću pjene, praha, halona, ugljičnog dioksida ili raspršene vode.
- C. Požari klase C su požari zapaljivih plinova. Gase se pomoću praha i halona.
- D. Požari klase D su specijalni požari koji se teško gase, npr. požari lakih metala i sredstava koja su samozapaljiva i sl. Za njihovo gašenje nisu dovoljni obični vatrogasni aparati već se koriste posebni aparati sa specijalnim prahom ili suhi pijesak.[2]

Prilikom konstruiranja većih objekata (institucije, javne zgrade, tvornice, itd.) obavezno je provođenje mjera zaštite od požara o kojima će više biti u Poglavlju 1.3.

1.2. Opasnosti požara

Posljedice i opasnosti od požara mnogo su drastičnije od onih kakvima se većini ljudi čini i kakvima se prikazuju na televiziji i filmovima. Požari u kućama uzrokuju gusti i crni dim koji uvelike otežava vidljivost; ljudi koji inače poznaju svoj dom i lako se orijentiraju postaju izgubljeni i u mogućnosti su krenuti u krivom smjeru/prema vatri. Spomenuti dim poguban je za ljude i uzima živote puno prije nego vatra dode blizu. Razlog tomu prisutnost je otrovnih plinova koji djeluju na ljudska osjetila i u stanju su spriječiti čovjeka da se probudi/vrati svijest.

Ova činjenica veoma je značajna zbog toga što većina požara izbija tijekom noći, kad ljudi spavaju.

Temperature koje se postižu tijekom požara u stambenim objektima mogu dostići do 2000 °C u razini stropa, a pri takvim temperaturama zadobivaju se teške opekotine i doživljavaju se gubici svijesti. Plamen tijekom požara rapidno se širi i u stanju je progutati nečiji dom u roku od par minuta te bez prisutnosti detektora dima i požarnih alarmnih sustava, ljudi imaju vrlo male šanse za spasom.

Požari u spavaćoj sobi ili dnevnom boravku čine čak 73% svih smrtnih slučajeva u stambenim objektima. Među najčešćim uzrocima požara u stanovima su: zaboravljena hrana na upaljenom štednjaku, prijenosni grijaci koji se nalaze preblizu zapaljivim predmetima (zavjesama, namještaju, rublju), slučajno ostavljen neugašen opušak, neispravna električna oprema ili neugašena električna oprema poput pegle, uvijača za kosu. Također, ljudi znaju ostaviti upaljene svijeće ili neadekvatno odlažu spremnike sa zapaljivim tekućinama.



Slika 2. Crkva Notre Dame, Pariz (2019.) u požaru

1.3. Mjere sigurnosti i prevencije požara

1.3.1. Građevinske mjere prevencije

Građevinske konstrukcije i elementi otporni na požar su bilo koja građevinska konstrukcija (zid, međukatna konstrukcija, stup, greda) ili bilo koji element koji ima neki stupanj otpornosti na požar (od 15 do 360 minuta), a izведен je od negorivog i/ili ograničeno gorivog materijala. Pravilan izbor materijala tijekom izgradnje građevina pokazao se kao jedna od najbitnijih mjeri prevencije požara.

Osnovni zahtjevi za zaštitu građevine od požara:

- očuvanje nosivosti konstrukcije u slučaju požara tijekom određenog vremena
- sprječavanje širenja vatre i dima unutar građevine
- sprječavanje širenja vatre na susjedne građevine
- omogućavanje da osobe mogu neozlijedene napustiti građevinu odnosno da se omogući njihovo spašavanje
- omogućavanje zaštite spašavatelja

Važno je razlikovati pojmove negorivost materijala od požarne otpornosti građevinskih sustava. Negorivost je svojstvo pojedinog materijala koja opisuje njegovo ponašanje tijekom požara. Prema standardu EN 13501-1 materijali su razvrstani u više razreda gorivosti:

- A1 i A2 su razredi negorivih materijala
- B, C, D, E i F su razredi manje ili više gorivih materijala odnosno materijala kod kojih se negorivost ne deklarira

S druge strane, požarna otpornost određuje se za konstrukcije koje su sastavljene od više pojedinačnih građevinskih materijala, a ona u pravilu označava vremenski period u kojem se određena konstrukcija odupire vatri, sprječava njezin prolazak i koliko čuva svoje toplinsko izolacijske sposobnosti.

1.3.2. Civilne mjere prevencije

Prema [1] sustav zaštite od požara podrazumijeva planiranje zaštite od požara, propisivanje mjeri zaštite od požara građevina, ustrojavanje subjekata zaštite od požara, provođenje mjeri zaštite od požara, financiranje zaštite od požara te osposobljavanje i ovlašćivanje za obavljanje

poslova zaštite od požara, s ciljem zaštite života, zdravlja i sigurnosti ljudi i životinja te sigurnosti materijalnih dobara, okoliša i prirode od požara, uz društveno i gospodarski prihvatljiv požarni rizik.

U cilju zaštite od požara poduzimaju se organizacijske, tehničke i druge mjere i radnje za:

- otklanjanje opasnosti od nastanka požara,
- rano otkrivanje, obavješćivanje te sprječavanje širenja i učinkovito gašenje požara,
- sigurno spašavanje ljudi i životinja ugroženih požarom,
- sprječavanje i smanjenje štetnih posljedica požara,
- utvrđivanje uzroka nastanka požara
- otklanjanje njegovih posljedica.

Terminologija korištena u zakonskim propisima

- a) Otpornost na požar je sposobnost dijela građevine da kroz određeno vrijeme ispunjava zahtijevanu nosivost (R) i/ili cjelovitost (E) i/ili toplinsku izolaciju (I) i/ili drugo očekivano svojstvo, kako je propisano normom o ispitivanju otpornosti na požar.
- b) Reakcija na požar je doprinos materijala razvoju požara uslijed vlastite razgradnje do koje dolazi izlaganjem tog materijala određenim ispitnim uvjetima.
- c) Neposredna opasnost je stanje visokog požarnog rizika, koje može u bliskoj budućnosti dovesti do požara.
- d) Evakuacijski put iz građevine je posebno projektiran i izведен put koji vodi od bilo koje točke u građevini do vanjskog prostora ili sigurnog prostora u građevini, čije značajke (otpornost i reakcija na požar, širina, visina, označavanje, protupanična rasvjeta i dr.) omogućuju da osobe zatečene u požaru mogu sigurno (samostalno ili uz pomoć spasitelja) napustiti građevinu.

Zakonska regulativa zaštite od požara

Svaka fizička i pravna osoba, tijelo državne vlasti te jedinica lokalne i područne (regionalne) samouprave dužni su djelovati na način kojim se ne može izazvati požar.

Svaka fizička i pravna osoba, tijela državne vlasti te jedinice lokalne i područne (regionalne) samouprave dužni su provoditi mjere zaštite od požara utvrđene odredbama Zakona o zaštiti od požara i drugim propisima donesenim na temelju njega, planovima i procjenama ugroženosti od požara, odlukama jedinica lokalne i područne (regionalne) samouprave te drugim općim aktima iz područja zaštite od požara.

Svaka fizička i pravna osoba odgovorna je za neprovođenje mjera zaštite od požara, izazivanje požara, kao i za posljedice koje iz toga nastanu sukladno odredbama Zakona o zaštiti od požara i odlukama jedinica lokalne i područne (regionalne) samouprave.

Svatko ima pravo i obvezu biti upoznat s opasnostima od požara na mjestu gdje boravi ili radi. Radi osiguranja pravodobne i učinkovite zaštite od požara jedinice lokalne i područne (regionalne) samouprave te pravne osobe organiziraju sposobljavanje pučanstva za provedbu preventivnih mjera zaštite od požara, gašenje početnih požara i spašavanje ljudi i imovine ugroženih požarom prema posebnim propisima.

Svaka građevina ili njezin dio, ovisno o svojoj namjeni, mora se tijekom svog trajanja održavati na način da ispunjava bitni zahtjev zaštite od požara.

Svaki prostor ili njegov dio, ovisno o svojoj namjeni, mora se održavati na način da ispunjava propisane mjere zaštite od požara.

Vlasnici, odnosno korisnici građevina, građevinskih dijelova i drugih nekretnina te prostora, odnosno upravitelji zgrada dužni su održavati slobodnima i propisno označenima evakuacijske putove, kao i pristupe vatrogasnim vozilima.

Vlasnici, odnosno korisnici građevina, građevinskih dijelova i drugih nekretnina te prostora, odnosno upravitelji zgrada dužni su posjedovati uređaje, opremu i sredstva za gašenje požara.

Vlasnici, odnosno korisnici građevina, građevinskih dijelova i drugih nekretnina te prostora, odnosno upravitelji zgrada dužni su sukladno propisima, tehničkim normativima, normama i uputama proizvođača održavati u ispravnom stanju postrojenja, uređaje i instalacije električne, plinske, ventilacijske i druge namjene, dimnjake i ložišta, kao i druge uređaje i instalacije, koji mogu prouzročiti nastajanje i širenje požara te o održavanju moraju posjedovati dokumentaciju. Vlasnik, odnosno korisnik građevina, građevinskih dijelova i drugih nekretnina te prostora, odnosno upravitelji zgrada dužni su održavati prijenosne i prijevozne aparata za gašenje požara, sukladno uputi proizvođača, o čemu mora postojati evidencija.

U nastavku slijede primjeri postupaka ustanova za obavljanje poslova zaštite od požara, koje posjeduju predmetna ovlaštenja izdana od nadležnih tijela Republike Hrvatske.

Ispitivanja:

- Pregled i ispitivanje hidrantske mreže
- Mjerenje tlakova i izračun količine vode u vodovodnoj mreži
- Pregled i ispitivanje sustava za gašenje vodom – sprinkle
- Pregled i ispitivanje sustava za gašenje vodom – drencher
- Pregled i ispitivanje sustava za hlađenje vodom

- Pregled i ispitivanje sustava za gašenje požara pjenom
- Pregled i ispitivanje bacača vode i pjene
- Pregled i ispitivanje sustava za gašenje požara plinom
- Pregled i ispitivanje sustava za dojavu požara
- Pregled i ispitivanje sustava za dojavu prisutnosti zapaljivih plinova i para
- Pregled i ispitivanje funkcionalnosti sustava za signalizaciju i gašenja požara
- Pregled i ispitivanje sustava za odvođenje dima i topline
- Pregled i ispitivanje funkcionalnosti klapni (zaklopki) otpornih prema požaru
- Pregled i ispitivanje funkcionalnosti vrata otpornih prema požaru
- Pregled i ispitivanje funkcionalnosti tipkala za isključenje električne energije
- Pregled i ispitivanje funkcionalnosti sigurnosne rasvjete
- Pregled i ispitivanje sustava za dojavu prisutnosti toksičnih plinova i para
- Pregled i ispitivanje nepropusnosti plinske instalacije
- Ispitivanje funkcionalnosti elektromagnetskih ventila
- Pregled i ispitivanje brodova unutranje plovidbe:
 - sustava za dojavu i gašenje požara
 - sustava za dojavu zapaljivih plinova

Akti (elaborati):

- Procjena ugroženosti od požara
- Plan zaštite od požara
- Normativni akt iz zaštite od požara (Pravilnik zaštite od požara)
- Elaborat zaštite od požara

2. VATROOTPORNI MATERIJALI

Vatrootpornost se definira kao svojstvo materijala da u određenom periodu izdrži visoke temperature koje se razvijaju tijekom gorenja. Takvi materijali pomažu u suzbijanju širenja vatre jer usporavaju njeno napredovanje. Iako se materijali nazivaju vatrootpornima to ipak nije u potpunosti ispravan izraz. Svaki materijal podložan je izgaranju ako se podvrgne utjecajima dovoljno visokih temperatura. Među široko korištenim materijalima su: cigla i opeka, staklena vlakna i kamena vuna (Slika 5.).

2.1. Najčešći primjeri

Vatrostalni materijali

U ovu skupinu tvrdih, vatrootpornih materijala ubrajaju se cement, cigla, keramika i opeka. U sastav ovih materijala ulaze određeni minerali (Slika 3.); aluminijev oksid (Al_2O_3), krom-željezov oksid (FeCr_2O_4), vatrena glina, magnezit (MgCO_3) i silicijev karbid (SiC). Vatrostalni materijali najčešće se koriste u visokotemperaturem okruženjima poput peći, reaktora i ostalih sličnih jedinica u tehničkim procesima. Također se koriste u svrhe električne ili toplinske izolacije. Navedeni materijali u stanju su podnijeti veće temperature od metala (540°C) i otporni su na fizičko trošenje i kemijska sredstva.



Aluminijev oksid

Krom-željezov oksid



Vatrena glina

Magnezit

Silicijev karbid

Slika 3. Minerali korišteni u vatrostalnim materijalima

Stakleno vlakno

Stakleno vlakno (eng. fiberglass) kombinacija je primarno stakla i pijeska. Sirovine koje se koriste u proizvodnji „fiberglasa“ su: silicijev pijesak, vapnenac, natrijev karbonat, kalcificirani aluminijev oksid, boraks (natrijev borat), feldspat, nefelin sijenit, magnezit i kaolin glina (Slika 4). Stakleno vlakno proizvodi se na način da se otopljeno staklo gura kroz stroj za prosijavanje koji ga formira u navoje, a koji se dalje sljepljuju. Ovaj materijal je snažan, izdržljiv i prirodno nezapaljiv zbog sastava kojeg čine pijesak i reciklirano staklo. Služi za razne svrhe poput električne izolacije, tekstila i ojačanja. Također koristi se za potrebe stvaranja kiselinske otpornosti i za toplinsku izolaciju. U praksi svoje je mjesto ovaj proizvod našao na trupovima brodova, automobilima, pećima i rashladnim jedinicama te akustičnim zidovima (zvučna izolacija).



Slika 4. Materijali korišteni za izradu staklenog vlakna

Mineralna i staklena vuna

Mineralna i staklena vuna loši su vodiči topline i zvuka, a osim toga teško su gorivi i imaju visoku temperaturu zapaljenja. Ovakva svojstva čine ih odličnim vatrootpornim materijalima. Oba materijala su otporna na najezde insekata što ih čini odličnim za građevinsku namjenu. Mineralna vuna, a i staklena načinjene su od šljake, kamena, stakla i minerala. Navedene sirovine tale se i razvijaju u filamente (spiralne čestice). Najčešća upotreba ovih materijala uključuje termoizolaciju, vatrootporne barijere, brtve u autoindustriji i kočione elemente.



Vatrostalna opeka

Staklene vlakno

Mineralna vuna

Slika 5. Najčešće korišteni vatrootporni materijali

2.2. Istraživanja vatrootpornosti

Prema [5] u klasičnom požarnom ispitivanju ispitne su komponente izložene rastućoj temperaturi čija se ovisnost o vremenu prema [6] izražava na sljedeći način:

- a) Celulozni požar (standardni)

$$\vartheta = 345 \log_{10}(8t + 1) + 20 \quad (1)$$

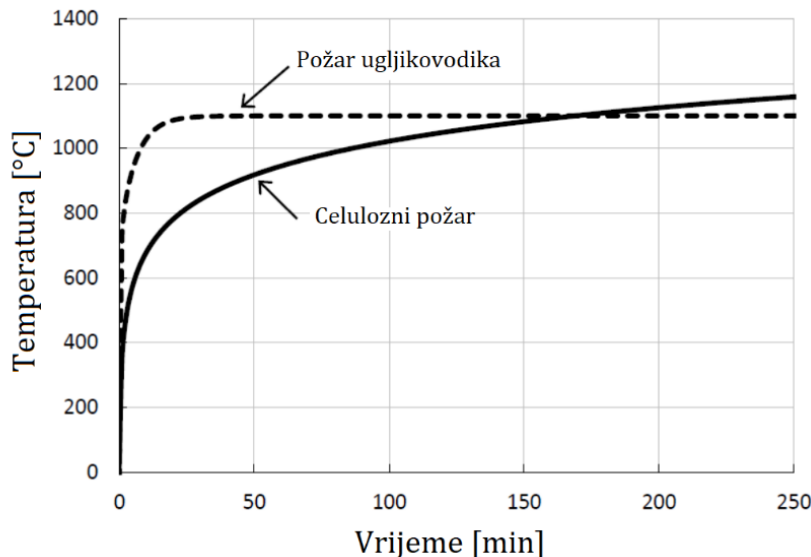
- b) Požar ugljikovodika (prema ISO/DIS 834)

$$\vartheta = 1100(1 - 0.325e^{-0.1667t} - 0.204e^{-1.417t} - 0.471e^{-15.833t}) \quad (2)$$

gdje su

- ϑ - temperatura [$^{\circ}\text{C}$];
- t - vrijeme trajanja požara [min], maksimalno do 360 min.

Na Slici 6. može se vidjeti razvoj temperature ovisno o navedenim vrstama požara. Relevantna vrsta požara za problem ovog rada je celulozni požar koji je najčešći ako govorimo o slučaju požara na klasičnom građevinskom objektu. Razvoj temperature u takvom požaru, kao što potvrđuju krivulje, blaže je prirode i prema takvome će se provoditi scenariji grijanja korišteni tijekom analize dalje u tekstu.



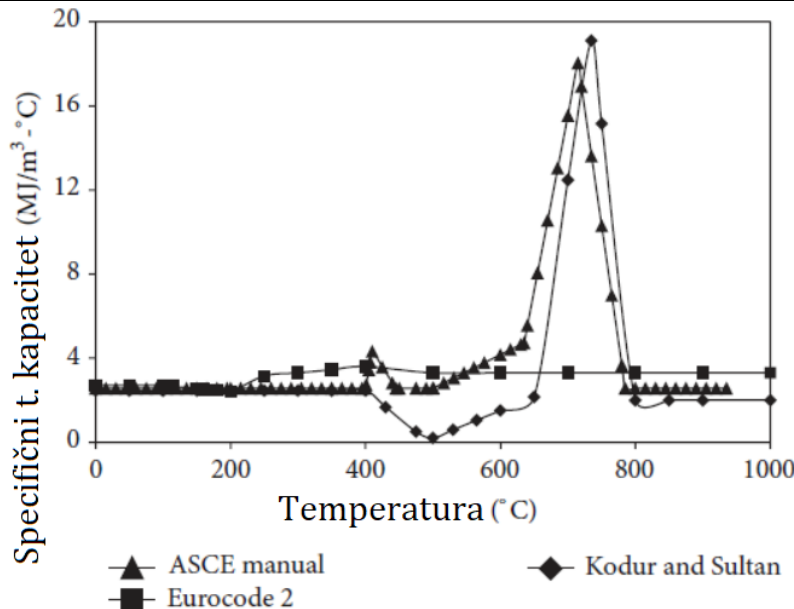
Slika 6. Krivulja razvoja temperature požara [6]

2.2.1. Izvadci iz literature

Ispitivanje materijala DSC metodom

DSC (eng. differential scanning calorimetry) termoanalitički je pristup pri kojem se ispituje količina topline potrebna da se ispitni uzorak i referentni objekt zagriju do neke temperature. Rezultat mjerenja je funkcija ovisna o temperaturi. I uzorak i referentni objekt cijelo vrijeme moraju se održavati na istoj temperaturi. Načelo odabira temperature ispitivanja je takvo da temperatura držača uzorka bude povećavana linearno kao funkcija vremena. Referentni uzorak mora imati precizno definiran toplinski kapacitet za raspon temperature pri kojem se mjeri ispitni uzorak [10].

Istraživači Khaliq i Kodur [7] sakupili su podatke iz više znanstvenih studija o mjerenim specifičnim toplinskim kapacitetima različitih materijala. Na Slici 7. prikazani su različiti rezultati mjerenja s DSC opremom temeljeni na ne posve jednakim standardima. Međutim, pokazano je da je specifični toplinski kapacitet betona u svim mjeranjima skoro konstantan do vrijednosti od oko 400 °C kada doživljava nagli skok između temperatura 700 i 800 °C. Ovo se objašnjava odvijanjem endotermičke reakcije koja je rezultat raspadanja u strukturi materijala što apsorbira veliku količinu energije.



Slika 7. Izvadak iz literature: mjerjenje betona DSC metodom

Specifični toplinski kapacitet gipsa pri visokim temperaturama

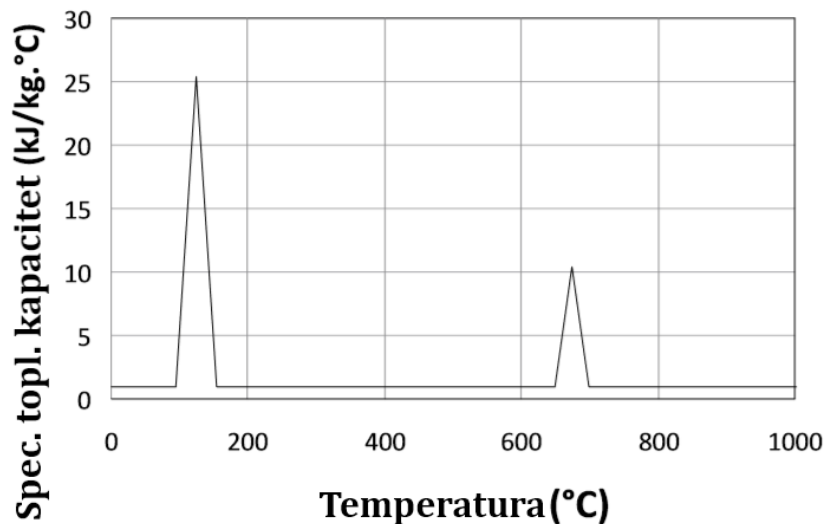
Prema [8] u materijalima se tijekom provođenja ispitivanja specifičnog toplinskog kapaciteta pojavljuju 2 nagla skoka u krivuljama (Slika 8.). Te pojave objašnjavaju se kao pojave dehidracije uzorka. Voda koja isparava iz materijala preuzima toplinu za odvijanje reakcije promjene faznog stanja i prividno povećava specifični toplinski kapacitet. Zbog toga su autori iz navedenog članka naveli izraz za korekciju ove pojave. Dodana vrijednost specifičnog toplinskog kapaciteta zbog isparavanja vode može se izračunati prema

$$\Delta c = \frac{2.26 \times 10^6}{\Delta \vartheta} (e_d f_1 + e_{sl}) f_2 \quad [\text{J/kg}^\circ\text{C}] \quad (3)$$

gdje je

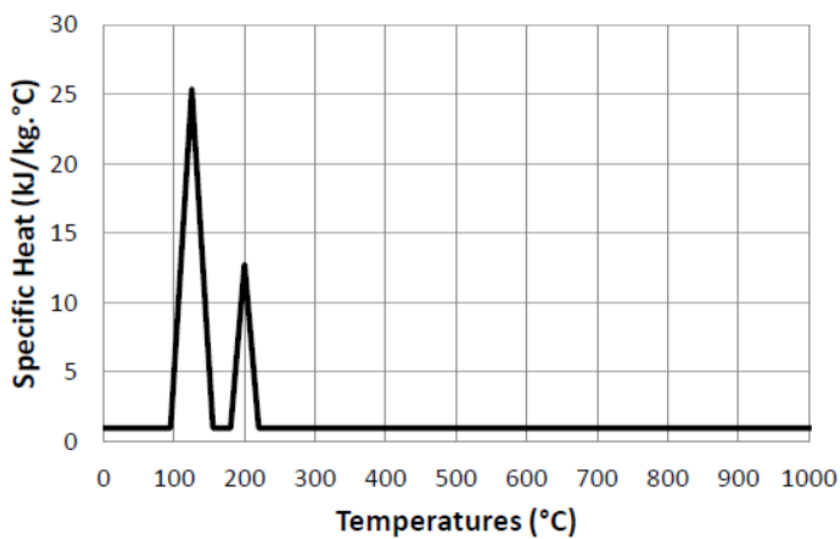
- Δc - prosječno povećanje spec. toplinskog kapaciteta [$\text{J/kg}^\circ\text{C}$],
- e_d - sadržaj isparene vode (postotak ukupne mase),
- e_{sl} - sadržaj slobodne vode (postotak ukupne mase)
- $\Delta \vartheta$ - temperaturni interval [$^\circ\text{C}$],
- f_1, f_2 - korekcijski faktori koji u obzir uzimaju brzinu reakcija (ovisno o jačini toplinskog toka) i utjecaj kretanja čestica vode

Vrijednosti faktora f_1 i f_2 su 1,28 i 1,4.[11]



Slika 8. Ovisnost specifičnog toplinskog kapaciteta gipsa o temperaturi prema [10]

Slična opažanja zabilježena su i ovoj doktorskoj studiji [9].



Slika 9. Izvadak iz literature. Mjerjenje DSC metodom.

Iako u drugim temperaturnim intervalima, pojava povećanog specifičnog toplinskog kapaciteta prisutna je u svim materijalima s udjelom vlage u svom sadržaju.

2.3. Svojstva ispitivanih materijala

U sklopu ovog diplomskog rada određivan je specifični toplinski kapacitet sljedećih materijala:

- vatrootporne žbuke „Vatrostop“, proizvođač Samoborka, Samobor i
- vatrebetona „Vatrit“, proizvođač VIG, Zagreb

2.3.1. VATROSTOP žbuka

Ovaj materijal proizvod je Samoborke d.d. i namijenjen je protupožarnoj zaštiti metalnih i armirano-betonskih konstrukcija. Po izgledu to je sivi prah, a tehničke karakteristike i svojstva prikazana su u Tablica 1.

Tablica 1. Tehničke karakteristike Vatrostop žbuke

Razredba prema HRN EN 998-1: GP CS II W 2	
Gustoća suhog očvrslog morta (HRN EN 1015-10)	$\approx 550 \text{ kg/m}^3$
Tlačna čvrstoća nakon 28 dana (HRN EN 1015-11)	CS II ($1,5 - 5,0 \text{ N/mm}^2$)
Čvrstoća prionjivosti (HRN EN 1015-12)	$\geq 0,2 \text{ N/mm}^2$; SL:B
Vodoupojnost (HRN EN 1015-18)	W 2 ($\leq 0,2 \text{ kg/m}^2 \text{min}^{0,5}$)
Paropropusnost, μ (HRN EN 1015-19)	≤ 15
Toplinska provodljivosti, $\lambda_{10,\text{dry}}$ (HRN EN 1745) tab.	$\approx 0,15 \text{ W/(m}\cdot\text{K)}$ (kod 20°C)
Razredba reakcije na požar (HRN EN 13501-1)	A 1
Otpornost prema požaru (HRN DIN 4102-2)	razred F120



Slika 10. Vatrostop protupožarna žbuka [Samoborka]

2.3.2. VATRIT vatrobeton

Vatrit vatrobeton proizvod je tvrtke VIG d.d. iz Zagreba. Namijenjen je upotrebi pri gradnji objekata koji rade u visokotemperaturnim uvjetima. Koristi se za oblaganje konstrukcija poput čeličnih stupova ili ostalih nosivih elemenata koje je potrebno dodatno zaštititi od utjecaja požara. Poznata su sljedeća svojstva ovog materijala.

Tablica 2. Tehničke karakteristike Vatrit vatrobetona

VATRIT vatrobeton	
Struktura	Polipropilenska mikroarmatura PM6/15; 2kg/m ³
	Zrna veličine maksimalno 8mm
	Drobljeni dolomitni agregat
	Mikroarmirani vatrobeton C30/37 (XC4;XS1;CI0,10)
SVOJSTVO	Vrijednost
Gustoća, ρ	2006 [kg/m ³]
Toplinska provodnost, λ	-0,221ln(T)+2,0929 [W/m°C] $\lambda = 0,65152 \frac{W}{m^{\circ}C} \text{ pri } 680^{\circ}C$

3. EKSPERIMENTALNA ANALIZA

Veoma je važno znati kako se građevni materijal ponaša u uvjetima požara. Zato se prije stvarne izgradnje objekata konstruiraju njihovi virtualni modeli i provodi se analiza stvarnih uvjeta požara kako bi se utvrdile moguće slabe točke i zadovoljavaju li postavljene požarne barijere i zidovi zadane uvjete i kriterije. Na kraju, ovakve analize svode se na utvrđivanje otpornosti određenog zida ili elementa gradnje na povećanje temperature, odnosno pri kojoj temperaturi takav element popušta (urušava se). Mehanička svojstva materijala koja su od značajne važnosti u ovakvim analizama su linearno istezanje i gubitak mase u ovisnosti o temperaturi. Kako bi se mogla napraviti takva mehanička analiza potrebno je, između ostalog, poznavati funkciju ovisnosti termodinamičkih svojstava o temperaturi; specifičnog toplinskog kapaciteta $c = c_p(\vartheta) \left[\frac{J}{kgK} \right]$ i toplinske provodljivosti $\lambda = \lambda(\vartheta) \left[\frac{W}{mK} \right]$.

Za rješavanje predstavljenog problema u ovom radu prvo će se napraviti eksperimentalna analiza nakon koje će slijediti provjera numeričkom analizom.

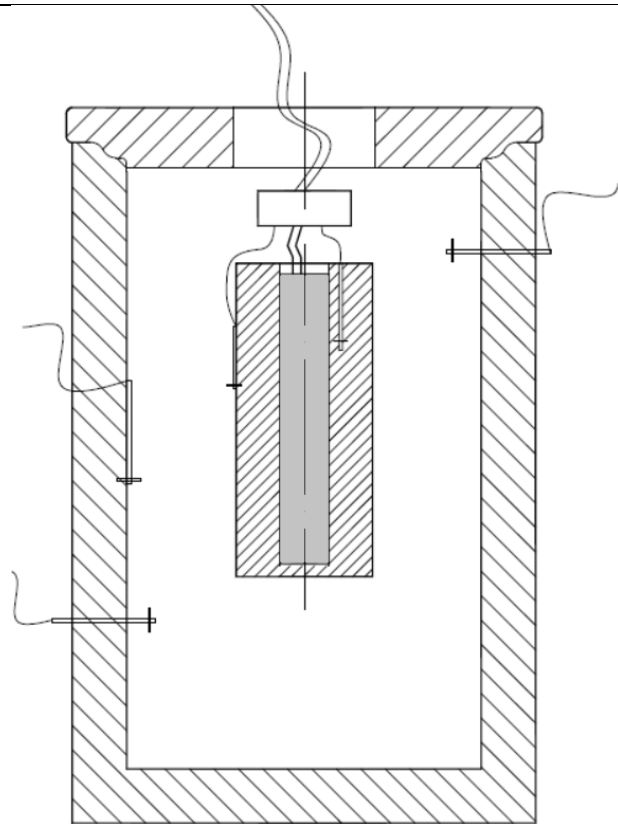
3.1. Opis sustava

Za utvrđivanje specifičnog toplinskog kapaciteta termootporne žbuke i vetrobetona postoji više načina i metoda mjerena. Za tu svrhu u literaturi se mogu pronaći razni primjeri ispitivanja, ali će se u sklopu ovog rada primjeniti posebno osmišljen i jedinstven sustav za ispitivanje koji se sastoji od sljedećih komponenti:

- uzorak materijala koji se ispituje (cilindrični oblik),
- termoizolacijska posuda u kojoj se nalazi uzorak (cilindrični oblik),
- elektrogrijач s varijabilnim transformatorom
- mjerna oprema: termoparovi, multimetri, računala, itd.

Najvažniji parametar koji se za rješavanje ovog problema prati je temperatura. Iz tog je razloga na svaku komponentu sustava pričvršćen/spojen 1 ili 2 termopara, ovisno o tome koliki volumeni temperaturni gradijent na određenoj komponenti postoji.

Na Slici 11. moguće je vidjeti shemu stvarnog sustava predviđenog za mjerjenje i točne pozicije termoparova. Sivom bojom označen je električni grijač postavljen u središte uzorka. Dakle, uzorak se nalazi u sredini termoizolacijske posude viseci s poklopca tako da ne postoji direktni dodir sa stijenkama posude u kojoj se uzorak nalazi.



Slika 11. Shematski prikaz sustava izolacijske posude, električnog grijaća i ispitnog uzorka

3.1.1. Svojstva komponenti sustava

U sklopu analize podataka dobivenih mjeranjem potrebno je poznavati svojstva komponenti koje sudjeluju u izmjenama topline (mase, volumeni, površine, itd.). U sljedećoj tablici (Tablica 3.) prikazana su svojstva važna za izvedbu analize. Toplinska provodljivost materijala dobivena je u srodnom ispitivanju provedenom na Fakultetu strojarstva i brodogradnje.

Tablica 3. Svojstva komponenti mjernog sustava

Svojstvo	Komponenta				
	Zrak	Grijać	Žbuka	Beton	Posuda
Masa [kg]	0,007795	0,0507	0,111	0,435	-
Volumen [L]	6,019	0,020027	0,19781		6,019
Gustoća [kg/m ³]	1,295	2531,58	561,14	2199,08	-
Oplošje [m ²]	-	0,011741	0,02147		0,1669
cp [kJ/kgK] pri 20 °C	1,004	1,200	?		-
λ [W/mK] pri 20 °C	0,025	-	0,1014	2,093	-
Emisivnost	-	-	0,91	0,92	0,047

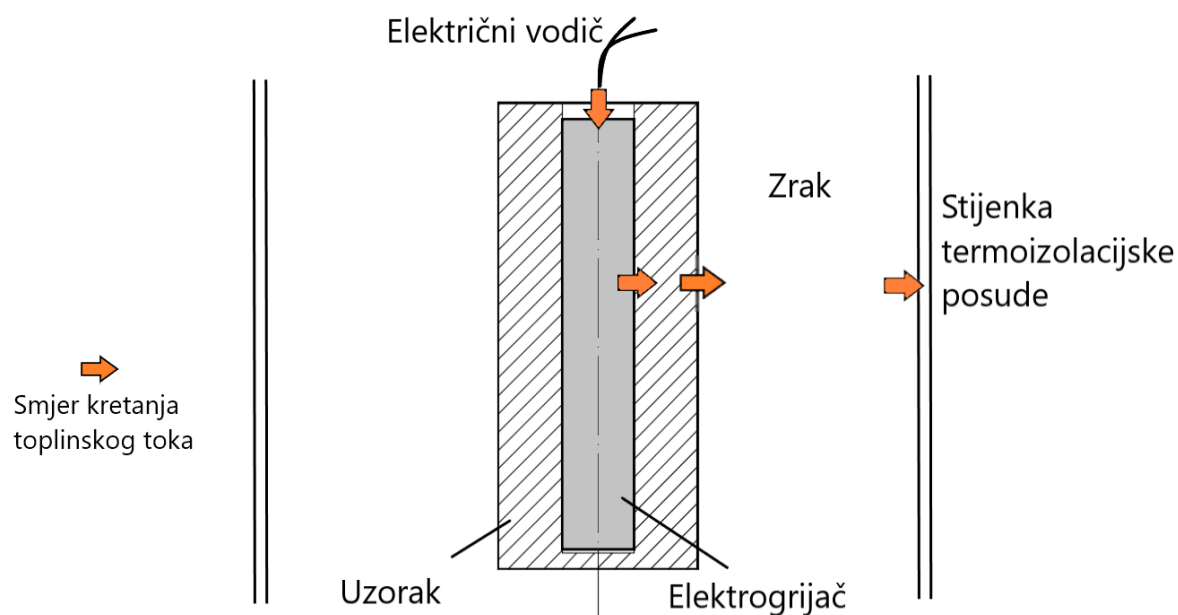
3.1.2. Model prijelaza topline

Elektrogrijač koji se nalazi u središtu cilindričnog uzorka izvor je topline u sustavu. Najznačajniji dio toplinskog toka širi se radijalno kroz uzorak, a zanemarivi dio aksijalno (gore i dolje). Toplinski tok polazi iz središta grijajuća i provodi se kroz grijajuća prema unutarnjoj stijenki uzorka do vanjske stijenke uzorka gdje postoji prijelaz topline konvekcijom na zrak i zračenjem na unutarnju stijenku termoizolacijske posude.

Matematički model opisanog sustava sastoji se od bilanca energije u više razina (podsustava). Svaka razina predstavlja zatvoreni sustav i određena je prema objektima koji se nalaze u interakciji. Na taj način postoji sljedeća podjela bilanci energija:

- 1) Izmjena energije električnog vodiča i elektrogrijajuća,
- 2) Izmjena topline provođenjem između elektrogrijajuća i uzorka,
- 3) Izmjena topline konvekcijom između uzorka i zraka i
- 4) Izmjena topline zračenjem između stijenki uzorka i termoizolacijske posude

Shematski prikaz modela prijelaza topline vidljiv je na Slici 12.



Slika 12. Prikaz kretanja toplinskog toka u sustavu

Prema navedenom prikazu moguće je uočiti izmjene topline između određenih objekata. Međutim, kako je cijeli sustav (pod pretpostavkom) idealno izoliran, mogu se postaviti granice oko sustava i promatrati ulazne i izlazne energije iz istog.

Uzimajući u obzir cijeli promatrani sustav, unutar njegovih granica može se postaviti ukupna bilanca energije:

$$E_{ul} - Q_g - Q_{uz} - Q_{zr} - Q_z = 0 \quad [J] \quad (4)$$

gdje je

- E_{ul} - ulazna električna energija [J],
- Q_g - toplinska energija koja zagrijava elektrogrijač [J],
- Q_{uz} - toplinska energija koja zagrijava ispitni uzorak [J],
- Q_{zr} - toplinska energija koja se predaje zračenjem na stijenu posude [J],
- Q_z - toplinska energija koja zagrijava zrak u sustavu [J].

Kako je za potrebe utvrđivanja termodinamičkih svojstava navedenih materijala od najveće važnosti odrediti toplinsku energiju koja zagrijava uzorak, tako će se i opis modela orijentirati tako da krajnji rezultat bude Q_{uz} i specifični toplinski kapacitet $c = c_p(\vartheta)$. Prema tome, jednadžba (1) može se preformulirati na sljedeći način:

$$Q_{uz} = E_{ul} - Q_g - Q_{zr} - Q_z \quad [J] \quad (5)$$

S obzirom na to da su poznate temperature komponenti u sustavu, slijede prikladni matematički izrazi koji opisuju članove iz glavne energetske bilance.

Ulazna električna energija

Električna energija koja ulazi u sustav u prepostavljenom slučaju (bez gubitaka) u 100%-tnoj mjeri pretvara se u ulaznu toplinsku energiju Q_{ul} , a jednaka je električnoj snazi P_{EL} (mjerena u vodiču) integriranoj u vremenu. Podatke o naponu i struji tijekom mjerjenja moguće je bilo očitati na multimetrima koji su postavljeni na mjernoj liniji (Poglavlje 3.2.1)

$$E_{ul} = Q_{ul} = \int_{t_0}^{t_i} P_{EL} \cdot dt = \int_{t_0}^{t_i} U \cdot I \cdot dt = U \cdot I \cdot \int_{t_0}^{t_i} dt \quad [J] \quad (6)$$

gdje su

- Q_{ul} - toplinska energija koja ulazi u sustav [J],

- P_{EL} - ulazna električna snaga [W],
- U - napon u vodiču (mjerena voltmetrom) [V],
- I - jakost struje u vodiču (mjerena ampermetrom) [A],
- t_0 - početni vremenski trenutak [s],
- t_i - vremenski trenutak isključivanja elektrogrijača [s].

Toplinska energija predana grijaču

Toplinska energija predana masi grijača Q_g rezultira povećanjem temperature grijača i može se odrediti prema mjerenim vrijednostima temperatura na temelju jednadžbe

$$Q_g = m_g \cdot c_g \cdot (\vartheta_{g,t2} - \vartheta_{g,t1}) \quad [J] \quad (7)$$

gdje je

- Q_g - toplinska energija koja zagrijava elektrogrijač [J],
- m_g - masa elektrogrijača [kg],
- c_g - specifični toplinski kapacitet grijača [J/kgK],
- $\vartheta_{g,t2}$ - temperatura grijača u krajnjem vremenskom trenutku [s],
- $\vartheta_{g,t1}$ - temperatura grijača u početnom vremenskom trenutku [s].

Toplinska energija predana zračenjem

Toplinska energija koja se emitira s površine vanjske stijenke uzorka Q_{zr} i rezultira povećanjem temperature stijenke termoizolacijske posude može se odrediti prema jednadžbi zračenja temeljem poznatih temperatura dviju stijenki.

$$Q_{\text{zr}} = \int_{t_0}^{t_i} A_{\text{uz}} \cdot C_{12} \left[\left(\frac{T_{\text{su}}}{100} \right)^4 - \left(\frac{T_{\text{sp}}}{100} \right)^4 \right] \cdot dt \quad [J] \quad (8)$$

gdje je

- A_{uz} - površina oplošja ispitnog uzorka [m^2],
- C_{12} - konstanta zračenja između dviju stijenki [$\text{W}/\text{m}^2(100\text{K})^4$],
- T_{su} - apsolutna temperatura vanjske stijenke uzorka [T],

- T_{sp} - absolutna temperatura unutarnje stijenke posude [T],
- t_0 - početni vremenski trenutak [s],
- t_i - vremenski trenutak postizanja stacionarnog stanja [s] (Slika 13.).

Kako su vrijednosti površine oplošja A_{uz} i konstante zračenja C_{12} konstantne tijekom vremena integracije, mogu se izvući izvan integrala te jednadžba sada glasi

$$Q_{zr} = A_{uz} \cdot C_{12} \int_{t_0}^{t_i} \left[\left(\frac{T_{su}}{100} \right)^4 - \left(\frac{T_{sp}}{100} \right)^4 \right] \cdot dt \quad [J] \quad (9)$$

Konstanta zračenja C_{12} svojstvo je određeno emisivnošću stijenki u međudjelovanju te odnosom veličina njihovih površina. Izraz ovisnosti glasi

$$C_{12} = \frac{C_c}{\frac{1}{\varepsilon_{su}} + \omega \left(\frac{1}{\varepsilon_{sp}} - 1 \right)} \quad [W/m^2(100K)^4] \quad (10)$$

gdje je

- C_c - Stefan-Boltzmannova konstanta zračenja [$W/m^2(100K)^4$],
- ε_{su} - emisivnost stijenke uzorka [-],
- ε_{sp} - emisivnost stijenke termoizolacijske posude [-],

Toplinska energija predana zraku

Masa zraka u sustavu izmjenjuje toplinu konvekcijom s ispitnim uzorkom te sa stijenkom posude. Toplinska energija koja se predaje masi zraka Q_z i rezultira povećanjem temperature zraka u termoizolacijskoj posudi može se odrediti prema mjerenim vrijednostima temperature na temelju sljedećeg izraza

$$Q_z = m_z \cdot c_z \cdot (\vartheta_{z,t2} - \vartheta_{z,t1}) \quad [J] \quad (11)$$

gdje je

- Q_z - toplinska energija predana zraku [J],
- m_z - masa zraka u sustavu [kg],
- c_z - specifični toplinski kapacitet zraka [J/kg·K],

- $\vartheta_{z,t2}$ - temperatura zraka u krajnjem vremenskom trenutku [s],
- $\vartheta_{z,t1}$ - temperatura zraka u početnom vremenskom trenutku [s].

Specifični toplinski kapacitet uzorka

Nakon što se prema izrazu (5) odredi toplinska energija Q_{uz} koja zagrijava masu uzorka m_{uz} moguće je odrediti specifični toplinski kapacitet uzorka c_{uz} koji je ispitivan. Navedeno se računa prema sljedećem izrazu

$$c_{uz} = \frac{Q_{uz}}{m_{uz}(\vartheta_{uz,t2} - \vartheta_{uz,t1})} \quad [\text{J/kgK}] \quad (12)$$

gdje je

- Q_{uz} - toplinska energija koja zagrijava masu uzorka [J],
- m_{uz} - masa ispitivanog uzorka [kg],
- c_{uz} - specifični toplinski kapacitet uzorka [J/kgK],
- $\vartheta_{uz,t2}$ - temperatura uzorka u krajnjem vremenskom trenutku [s],
- $\vartheta_{uz,t1}$ - temperatura uzorka u početnom vremenskom trenutku [s].

Važno je napomenuti da je fizički nemoguće montiranje više termoparova u samo središte uzorka na način kako bi jedan mjerio točnu temperaturu grijajućeg, a drugi temperaturu središta uzorka (nekoliko mm razmaka). Navedeno bi uzrokovalo pucanje i degradaciju materijala na tom dijelu pa se stoga temperatura grijajućeg odredila prema mjerenim rezultatima gdje je zagrijavan samo grijajući i prikladno se ta informacija iskoristila u ovoj analizi.

Specifični toplinski kapacitet uzorka pridružuje se maksimalnoj prosječnoj temperaturi uzorka postignutoj u jednom mjerenuju. Prosječna temperatura uzorka računa se na sljedeći način:

$$\vartheta_{uz,ti} = \frac{(\vartheta_{sr,ti} + \vartheta_{su,ti})}{2} \quad [\text{°C}] \quad (13)$$

gdje je

- $\vartheta_{uz,ti}$ - prosječna temperatura uzorka u i-tom trenutku [°C],
- $\vartheta_{sr,ti}$ - temperatura središta uzorka u i-tom trenutku [°C],
- $\vartheta_{su,ti}$ - temperatura stijenke uzorka u i-tom trenutku [°C].

3.1.3. Kritične vremenske točke

Kako bi se unaprijed razjasnilo u kojim trenucima se uzimaju relevantne temperature (krajnja i početna) koje su važne u prethodno navedenim jednadžbama topline u analizi, prikazana je krivulja razvoja temperature u uzorku na središnjem termoparu i onome na stijenki (Slika 13.).

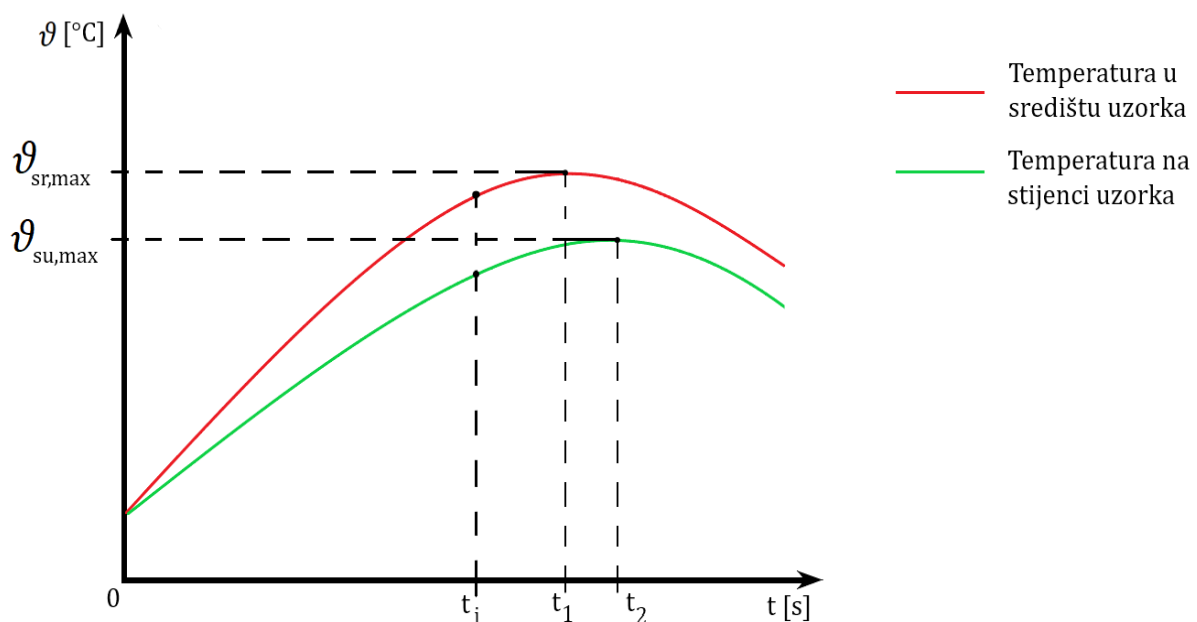
Stacionarno stanje

Zbog različitih pozicija dvaju termoparova u uzorku, onaj na stijenki bilježi sporiji porast temperature i niži maksimum (zelena krivulja). Početna vremenska točka u nultom trenutku t_0 jednostavna je za odrediti jer obje krivulje počinju iz iste točke, ali ona krajnja koja predstavlja stacionarno stanje sustava dobiva se iz aritmetičke sredine vremenskih točaka s maksimalnim temperaturama. Stoga, izraz za izračun krajnje vremenske točke t_{12} glasi

$$t_{12} = \frac{(t_1 + t_2)}{2} \quad [s] \quad (14)$$

gdje je

- t_{12} - vrijeme dogovorenog postizanja stacionarnog stanja sustava [s],
- t_1 - vrijeme potrebno za postizanje maksimalne temperature u središtu uzorka [s],
- t_2 - vrijeme potrebno za postizanje maksimalne temperature na stijenci uzorka [s].



Slika 13. Krivulja temperatura mjereneh u uzorku

Točka isključivanja grijaca

U jednadžbama termodinamičkog modela ključan je trenutak t_i koji označava vrijeme trajanja uključenosti elektrogrijača u sekundama jer će to vrijeme direktno utjecati na količinu energiju ubaćenu u sustav. Tijekom mjerena bilježi se točno vrijeme isključivanja grijaca, a to je u trenutku postizanja unaprijed dogovorene temperature središta (npr. 400°C ili 500°C). Na grafu (Slika 13.) označen je opisani vremenski trenutak.

3.2. Provedba mjerena

Mjerenja na ispitnim uzorcima provedena su u Laboratoriju za toplinu i toplinske uređaje na Fakultetu strojarstva i brodogradnje u Zagrebu.

Zbog mjerena tijekom duljeg vremenskog perioda, početni temperaturne uvjeti u uzorcima i sustavu razlikovali su se i po 10°C . Osim toga, veliki faktor tijekom provođenja eksperimenta bila je vlaga u zraku koja se proširila na uzorce tijekom hlađenja sustava i između mjerena. Temperatura i vlaga uzrokovale su sporiji ili brži trend zagrijavanja uzorka (unošenja topline u sustav) i zbog toga su morale biti uvedene korekcije kako bi analiza bila valjana.

Prilikom određivanja temperaturno ovisnih svojstava materijala, potrebno je napraviti takve uvjete mjerena koji će isključiti utjecaj ostalih faktora na rezultate. U slučaju utvrđivanja specifičnog toplinskog kapaciteta kada je uzorke potrebno nadzirati termoparovima ili ostalim mjernim uređajima tijekom postupka grijanja, sustav u kojem se uzorak nalazi potrebno je idealno izolirati tako da toplina koja ulazi u sustav može biti kontrolirana (zatvoren sustav).

Analiza se provodila na sljedeći način: u prije opisani zatvoren sustav kreće se s ubacivanjem toplinskog toka preko elektrogrijača (svaki materijal s određenom vrijednošću toka). Od početnog trenutka obavlja se mjerjenje temperature u središtu uzorka i stijenke uzorka, kao i temperature zraka u posudi i stijenke posude. Kako se uzorak zagrijava srednji termopar mjeri rapidno povećanje temperature dok onaj vanjski bilježi sporije povećanje. Uzrok tomu je masa grijaca, uzorka, isparavanje vode u uzorku itd.

Grijac se isključuje u trenutku postizanja središnje temperature koja je određena scenarijem grijanja, a ta se točka u vremenu bilježi. Svaki uzorak prošao je kroz minimalno 6 scenarija grijanja, a koji se očituju u maksimalnoj temperaturi mjerenoj u uzroku.

Scenarij s minimalnom temperaturom bio je pri 250°C , a maksimalnom 500°C . Dakle temperature su povećavane s inkrementom od 50°C ($250, 300, 350, 400, 450$ i 500°C). Redoslijed obavljanja mjerena nije nužno bio od najmanje do najveće temperature, a u pravilu

je bilo moguće provesti jedno do dva mjerena u jednom danu zbog potrebnog postizanja istih početnih uvjeta (sustav se u potpunosti morao ohladiti).

Napon na varijabilnom izlazu transformatora (napon koji napaja grijач) u slučaju žbuke iznosio je 150 V (0,7 A), a u slučaju betona 220 V (1 A). Navedeni podaci mjereni su na multimetrima (Poglavlje Mjerna oprema). Prema navedenom bilo je moguće izračunati snagu koja je napajala električni grijач i određivala ulazni toplinski tok u sustav.

Nakon isključivanja grijacha u trenutku postizanja željene temperature zbog akumulirane topline u grijachu se u uzorak i dalje dovodi toplina, a stacionarno stanje u sustavu postiglo se par minuta kasnije. U trenutku postizanja stacionarnog stanja bilježi se druga točka u vremenu kako bi se za analizu mogla dobiti vrijednost ubacivane topline.

Po završetku mjerjenja poklopac termoizolacijske posude ostavljen je otvoren kako bi se uzorak i cijeli sustav učinkovitije ohladio. Ovo je donijelo i nužnu smetnju prilikom sljedećeg mjerjenja, a to je povlačenje vlage iz okolnog prostora nazad u sustav.

3.2.1. *Mjerna oprema*

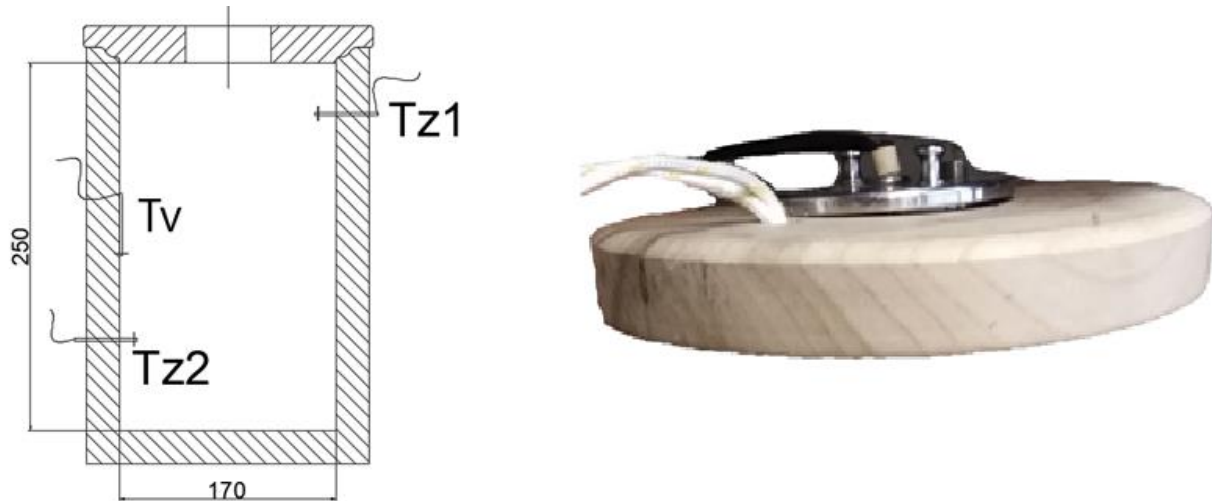
Sva mjerna oprema omogućena je od strane fakulteta i osoblja Laboratorijskog centra za toplinu i toplinske uređaje. Od mjerne opreme bile su potrebne sljedeće komponente:

- Termoizolacijska posuda
- Elektrogrijач
- Termoparovi
- Varijabilni transformator
- Multimetri
- Modul za obradu podataka
- Računalo

Termoizolacijska posuda

Kako bi se kontrolirali uvjeti tijekom provedbe ispitivanja uzorci su bili postavljeni u termički izoliranu posudu. Posuda je cilindričnog oblika promjera 170 mm i visine 250 mm (Slika 14.). U posudi su se nalazila tri termopara K tipa; dva koja su mjerila temperaturu zraka u peći i jedan koji je mjerio temperaturu stijenke posude. Stijenka posude limena je i glatka sjajna površina faktora emisivnosti $\epsilon_s = 0,1$. Izolacijska posuda sastoji se (gledući iznutra) od unutarnje sjajne stijenke, više međuslojeva za izolaciju, vanjske stijenke (obični lim). Iako je navedena izolacijska posuda nekomercijalni proizvod, proizvedena je u laboratoriju Fakulteta

strojarstva i brodogradnje na Zavodu za tehničku termodinamiku i odlično služi namijenjenoj funkciji, izoliranju ispitnog sustava. Također, na skici su vidljive pozicije triju termoparova (T_v , T_{z1} i T_{z2}) kao i provrta u poklopcu posude kroz koji se montira uzorak. Poklopac ima središnji provrt u koji dolazi čelični umetak s držačima za grijач te bočni provrt za žice termoparova (Slika 14. desno). Dno poklopca obloženo je aluminijskom folijom za dodatnu toplinsku izolaciju.



Slika 14. Skica izolacijske posude s dimenzijama (lijevo). Poklopac (desno).



Slika 15. Realni prikaz termoizolacijske posude (lijevo. Pogled odozgore (desno)).

Svaki uzorak na sebi ima montirana 2 termopara; jedan koji mjeri temperaturu središta TC i nalazi se u spomenutom provrtu na dubini od 40 mm od vrha uzorka, dok drugi TS mjeri temperaturu stijenke uzorka (Slika 15.).

Elektrogrijач

Ubacivanje topline u sustav postignuto je elektrogrijjačem cilindričnog oblika koji je načinjen od kvarcnog pijeska i keramika (punjenje i kontaktna površina) te bakra (vodič). Grijач ($\phi 17$) je postavljen u provrt promjera 18 mm i oslanja se na donju stranicu uzorka dok s gornje strane visi na vodiču. Prikaz elektrogrijjača nalazi se na Slici 16.

Grijач je vodičima spojen na varijabilni transformator preko kojega je moguće kontrolirati ubacivanu električnu snagu (toplinski tok grijjača)



Slika 16. Električni grijач

Termoparovi

Vrsta opreme koja služi za mjerjenje temperature tijekom ispitivanja materijala jesu termoparovi. Korišteni su termoparovi tipa K (nikal,krom-nikal) (Slika 17.). Ovaj mjerni element funkcioniра na temelju termoelektričnog efekta kojeg je otkrio Thomas Johann Seebeck. Sastoji se od dva različita električna vodiča koji pri mjerjenim temperaturama proizvode razliku u potencijalu (napon). Termoparovi su tijekom predmetnog mjerjenja bili spojeni s jedne strane u jedinicu za obradu mjernih podataka, a s druge strane su mjerili temperature u sustavu. U sljedećoj tablici navedeni su svi termoparovi korišteni tijekom eksperimenta.



Slika 17. Termopar tip K

Tablica 4. Popis korištenih termoparova

Oznaka	Mjerno mjesto
102	Temperatura okolnog (sobnog) zraka
103	Temperatura središta uzorka
104	Temperatura stijenke uzorka
105	Temperatura zraka u posudi
106	Temperatura zraka u posudi
107	Temperatura stijenke posude

Varijabilni transformator

Varijabilni transformator dio je opreme koji služi za regulaciju snage grijачa. Ulazni vodići spojeni su na standardnu utičnicu (220V), a izlazni vodići spojeni su na električni grijач. Okretanjem potenciometra na transformatoru moguće je odrediti izlazni napon koji napaja grijач (150V za žbuku i 220V za beton). Na Slici 18. vidi se fotografija opisanog varijabilnog transformatora korištenog tijekom mjerena (lijevo) i slika novog modela tog uređaja (desno)[14]. Izlazne vrijednosti električne energije mjerene su na multimetrima.



Slika 18. Varijabilni transformator korišten tijekom mjerena (lijevo). Nova izvedba (desno).

Transformator se uključivao (ručno) u isto vrijeme kada je započeto mjerjenje, a isključivao u trenutku postizanja zadane temperature u središtu uzorka predviđene za određeni scenarij. S obzirom da je potrebno neko vrijeme da se transformator zagrije, početne vrijednosti ubacivane snage ne odgovaraju onima koje se ustale nakon par minuta, što je uzeto u obzir u proračunu.

Multimetar

Tijekom mjerjenja korištena su istodobno uvijek dva multimetra. Jedan je mjerio jakost izlazne struje iz transformatora, dok je drugi bilježio izlazni napon iz transformatora. Produkt ovih dviju veličina daje iznos električne snage kojom se napajao električni grijач u sustavu. Na Slici 19. u nastavku moguće je vidjeti opisane mjerne uređaje u stvarnom eksperimentalnom postavu. Uređaji su jednaki, ali su podešeni na odgovarajući način kako bi se mjerile oba temeljna parametra električne energije.



Slika 19. Mjerni uređaji: ampermetar (lijevo), voltmeter (desno).

Modul za obradu podataka

Tijekom mjerjenja korišten je Keysightov 34970A uređaj koji služi za prikupljanje podataka iz mjernih instrumenata, obradu i transfer obrađenih podataka prema računalu. Na komercijalni uređaj nadograđena je dodatna jedinica za prihvatanje većeg broja termoparova (proizvod iz Laboratorija za toplinu i toplinske uređaje)(Slika 21.). Ovaj uređaj omogućuje čitanje podataka iz termoparova na rezoluciji do 3 decimalne, što je i više nego dovoljno za potrebe ovog rada.



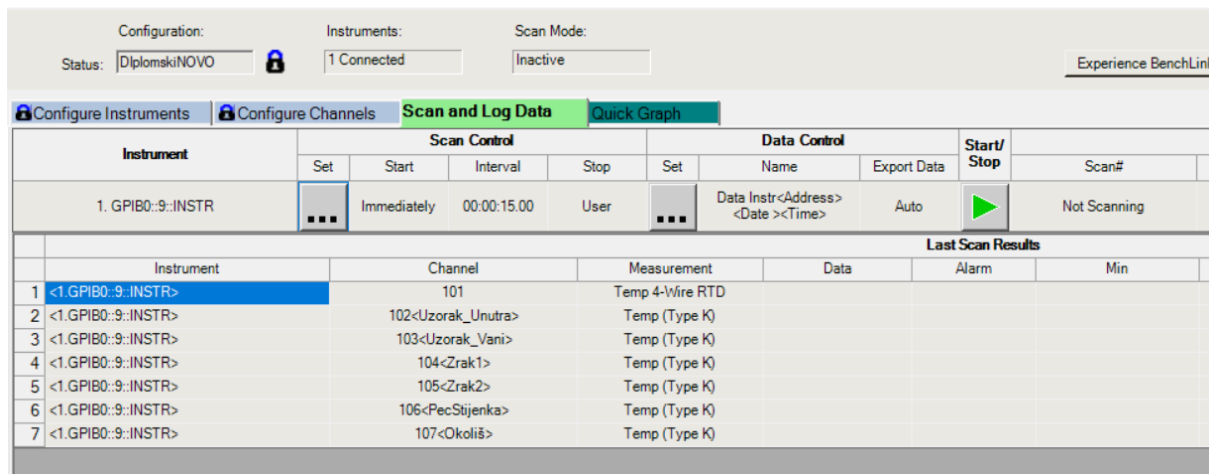
Slika 20. Keysight 34970A za prikupljanje podataka tijekom mjerjenja [15]



Slika 21. Nadograđeni Keysight uređaj korišten tijekom mjerena

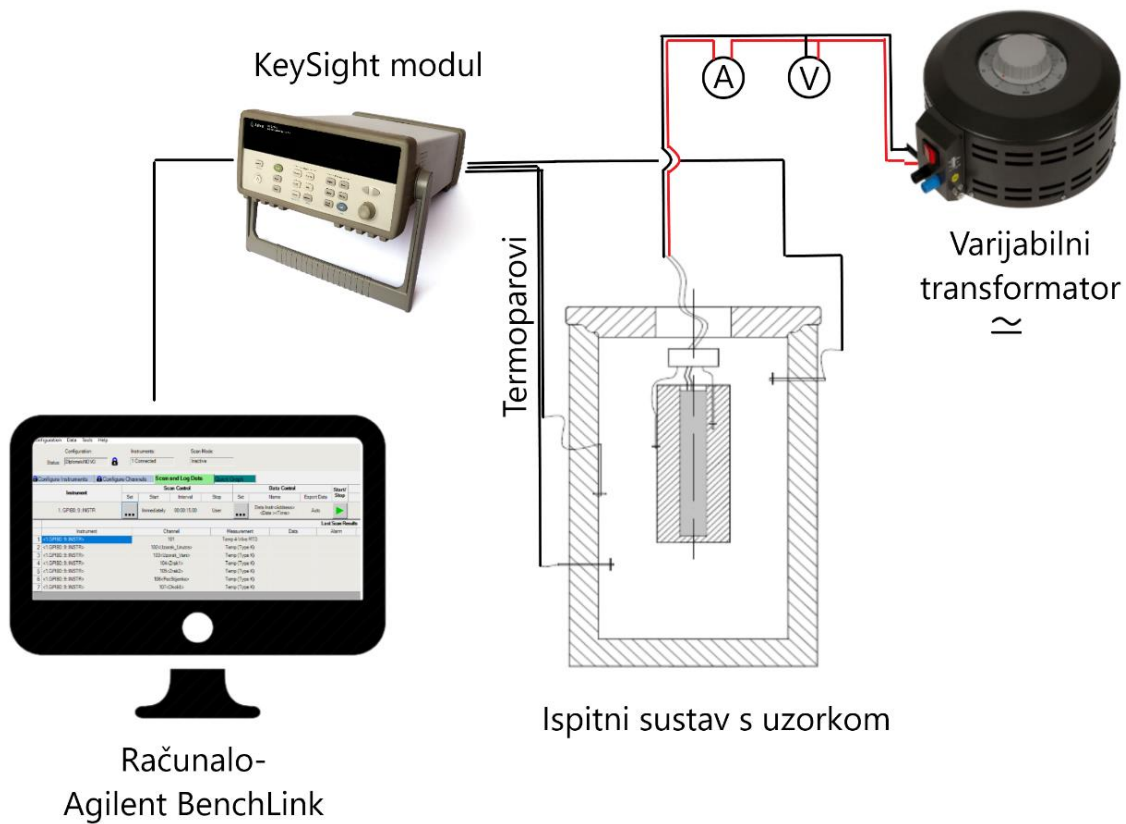
Računalo

Sustav praćenja rezultata, kontroliranja i podešavanja scenarija eksperimenta nalazio se na računalu. Preko softverskog alata Agilent BenchLink Data Logger 3.0. (Slika 22.) moguće je bilo postaviti interval mjerena, termoparove koji su od interesa tijekom mjerena i ostale informacije potrebne za konačnu analizu podataka. Podaci dobiveni mjerjenjem u programu su strukturirani i prilagođeni daljnjoj upotrebi.



Slika 22. Sučelje sustava Agilent BenchLink 3.0

Shema spajanja mjerne opreme tijekom izvođenja eksperimenta vidljiva je na Slici 23.



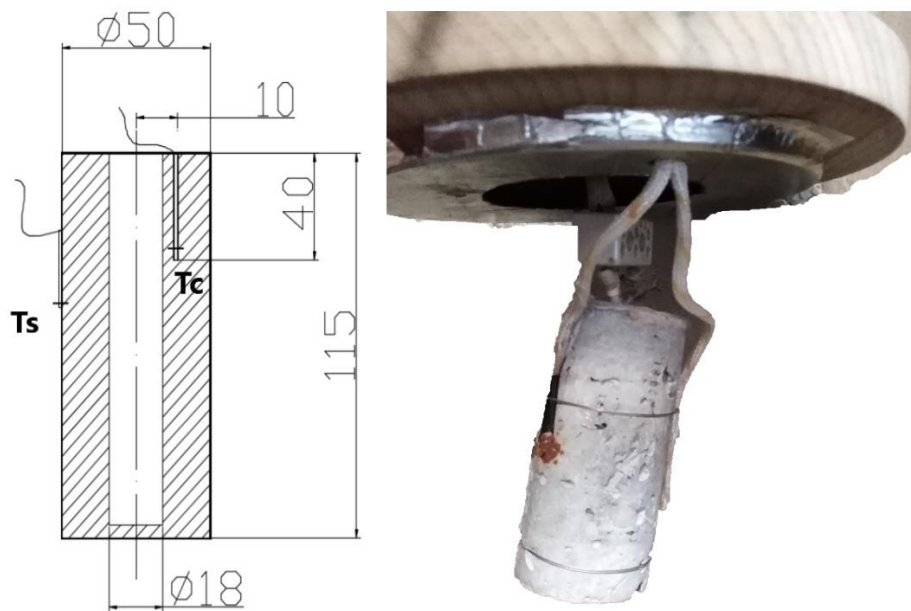
Slika 23. Shematski prikaz eksperimentalne opreme

3.2.3. Geometrija i priprema uzorka

Uzorci vatrootporne žbuke i vatrobetona proizvedeni su u obliku cilindara promjera 50 mm i visine 115 mm sa središnjim provrtom promjera 14 mm. Važno je spomenuti da su uzorci porozne strukture i nisu u potpunosti homogeni kao što je vidljivo na priloženim fotografijama. Zbog navedenih činjenica strukturne prirode očekivano je odstupanje u mjerjenjima dvaju uzorka istih materijala. Tijekom pripreme za mjerena na udaljenosti od 10 mm od središta cilindričnog uzorka izbušena je rupa minimalnog provrta za ugradnju termopara. Ta rupa kasnije je zatvorena istim materijalom koji je nastao bušenjem uz primjesu termostakla.

Uzorak je montiran na ranije opisani poklopac termoizolacijske posude. Termoparovi koji mjeru temperature na uzorku (središte i stijenkama) prolaze kroz provrt na poklopcu posude (Slika 24., desno).

Kotiranu skicu uzorka moguće je vidjeti na. Stvarni prikaz uzorka vidljiv je na Slici 25. Žbuka je prikazana desno, a betonski uzorci lijevo.



Slika 24. Skica uzorka s dimenzijama (lijevo). Način montiranja uzorka na poklopac (desno).



Slika 25.
Uzorci žbuke
(desno).
Uzorci betona
(lijevo).

3.3. Zapažanja

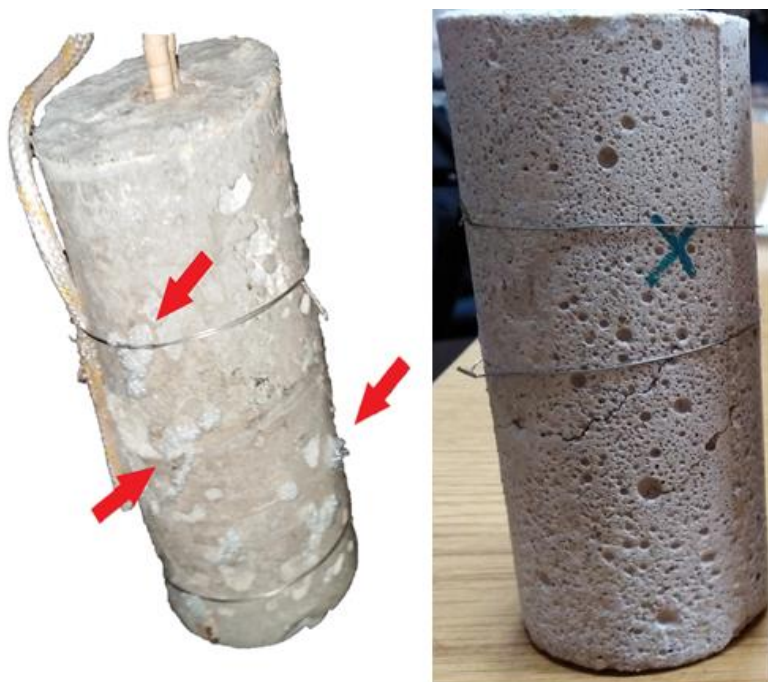
Tijekom prvih mjerena na ispitnim uzorcima zamijećena je značajna količina isparavanja iz termoizolacijske posude, a po završetku mjerena u posudi u blizini gornjeg poklopca nalazio se kondenzat (u manjoj ili većoj mjeri) u obliku kapljica na rubu otvora. Kondenzat je nakon mjerena uklonjen.

Osim toga, ispitivanje koje je uključivalo zagrijavanje uzorka na visoke temperature (iznad 500°C) vizualno je ostavilo pukotine u uzorku (najviše kod žbuke) kao posljedicu dehidracije uzorka (Slika 26.). Također, jedan uzorak betona nakon par mjerena po sebi je imao nakupine stvrđnute pjene iz nepoznatog razloga.

Tijekom svakog mjerena na početku procesa grijanja snaga koja je ulazila u električni grijач bila je na maksimumu, a vremenom se smanjila i stabilizirala. Razlog tomu je povećana količina struje za vrijeme inicijacije grijanja (veći otpor energiji zbog hladnog grijacha).

Tablica 5. Iznos jakosti struje tijekom mjerena

Vrsta materijala (desno)		
Vrijeme mjerena (dolje)	Žbuka	Beton
Početak grijanja	I=0,74 A	I=1,06 A
Nakon 5 minuta	I=0,69 A	I=1,00 A



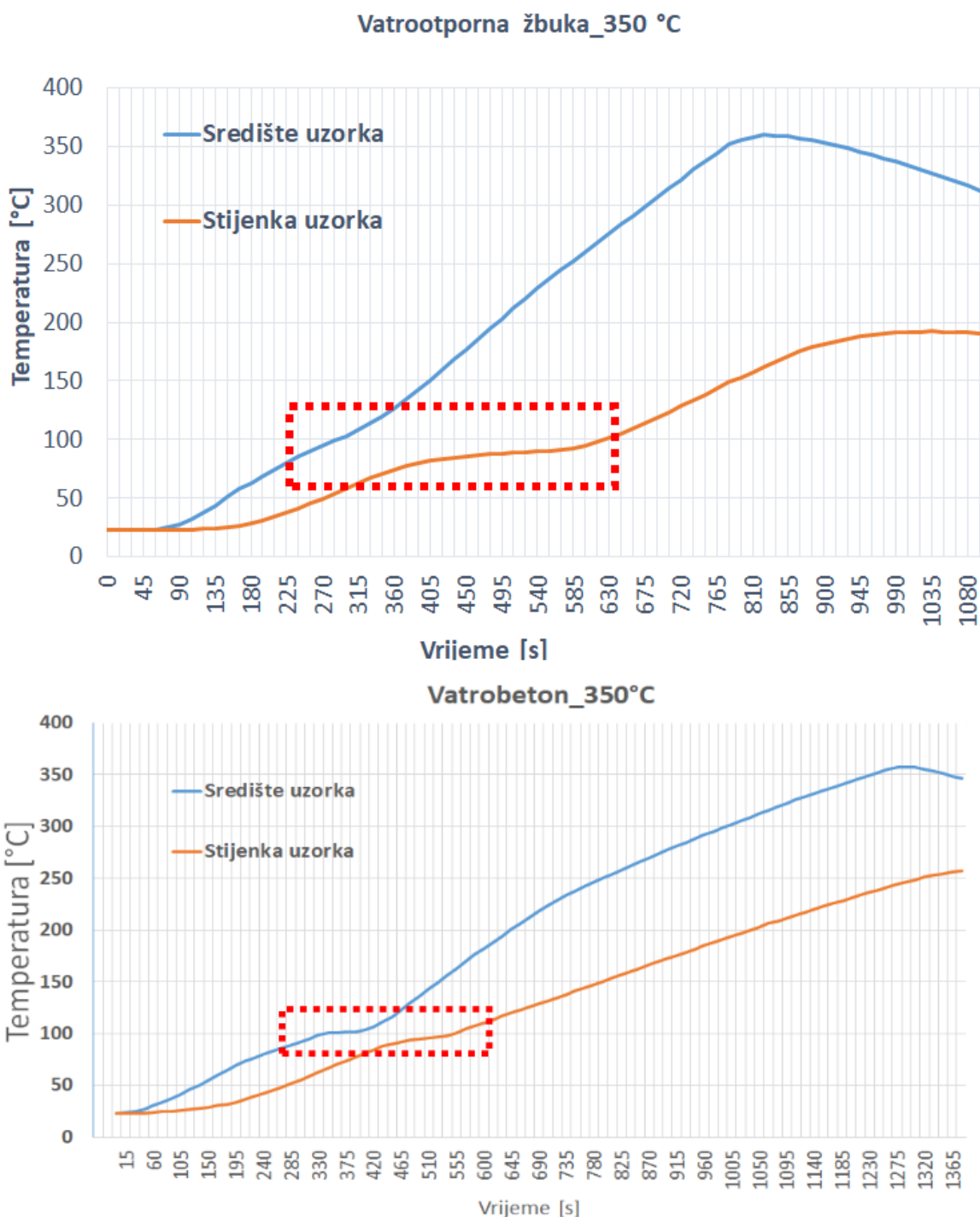
Slika 26. Uzorak betona nakon mjerena (lijevo). Uzorak žbuke nakon mjerena (desno).

3.3.1. Utjecaj vlage

Kao što je navedeno u literaturi [8] specifični toplinski kapacitet nekog materijala značajno ovisi o udjelu vlage u tom materijalu. Zagrijavajući uzorke unutar ovog ispitivanja zamijećena je stagnacija temperature (od 90 °C do 120 °C) na termoparu stijenke uzorka, dok je ona u središtu linearno rasla cijelo vrijeme. Dakle, toplina koja je provođenjem iz središta krenula prema stijenki potrošena je na isparavanje sadržaja vode u materijalu te iz tog razloga nije bilo porasta temperature stijenke uzorka. Ovaj proces isparavanja vode (dehidracije materijala) prividno povećava specifični toplinski kapacitet materijala jer je potrebna veća količina energija za postizanje određene temperaturne razlike.

Važno je napomenuti da je ova pojava zamijećena prilikom prvog i drugog mjerjenja na istom uzorku jer je u njemu bila prisutna količina vode koja je utjecala na rezultate. Na trećem mjerenuju uzorak je bio dehidriran i utjecaj vlage više nije bio značajan. Iz tog razloga se na mjerenjima koja su prikazala opisane stagnacije temperature primijenila korekcija rezultata opisana jednadžbom (3).

Na Slici 27. vidi se promjena u nagibu krivulje pri navedenim temperaturama (označeno crvenom površinom). Temperatura stijenke stagnira oko vrijednosti 100 °C, a na krivulji temperature središta vidi se smanjenje nagiba. Graf pripada mjerenjima vatrootporne žbuke.

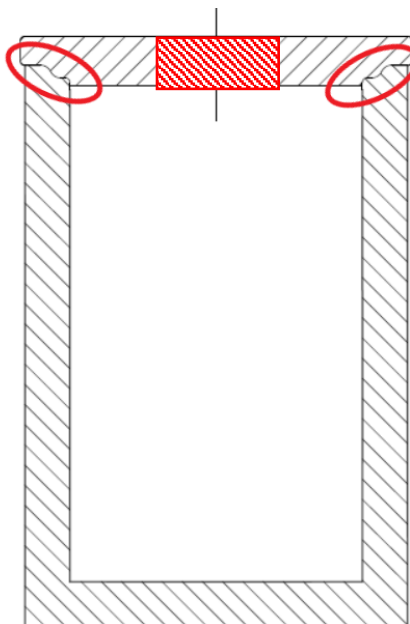


Slika 27. Utjecaj vlage na rezultate zagrijavanja uzoraka

3.3.2. Identifikacija gubitaka tijekom mjerena

Tijekom mjerena zbog opaženih kapljica kondenzata na kontaktu termoizolacijske posude i poklopca moguće je bilo zaključiti da je tu mjesto gdje postoji značajan gradijent temperature te da zbog toga para na tom mjestu kondenzira. Na shemi ispod (Slika 28.) moguće je vidjeti točno mjesto gdje se opisani proces odvija.

Osim toga, zbog isparavanja vode iz uzorka postoji bježanje vodene pare iz sustava kroz prostor u poklopcu (označen šrafiranim pravokutnikom). Međutim, taj toplinski gubitak ne uzima se u obzir tijekom proračuna jer se radi o neznačajnoj masi vodene pare.



Slika 28. Prikaz toplinskih gubitaka u sustavu

Osim gubitaka vezanih uz postojanje vlage u sustavu, zbog ne 100% idealno izolirane termoizolacijske posude sigurno postoji zagrijavanje mase stijenke posude te prijelaz topline u okoliš s vanjske stijenke posude. Međutim, ovi gubici zanemarivi su i nisu uzimani u obzir tijekom analize i proračuna rezultata.

Pored navedenih toplinskih gubitaka, praksa govori da postoje gubici u transformatoru tijekom pretvorbe napona, ali u razmatranjima koja su važna za zatvoreni termodinamički sustav ovakvi su gubici nevažni jer ono što se mjeri jest energija u vodiču tik ispred električnog grijača.

3.4. Rezultati mjerenja

Rezultati dobiveni tijekom eksperimentalnih ispitivanja spremani su u Excel tablice, a sadržavaju podatke o temperaturama zapisanim u pravilnim vremenskim intervalima. Znajući koliko je prošlo vremena od početka do kraja zagrijavanja može se izračunati ukupno ubačena toplinska energija u sustav (Jednadžba (6)).

Tablica tempertaura sastoji se od onolikog broja kolona koliko je termoparova sudjelovalo u mjerenu. Sljedeća demonstracijska tablica (Tablica 6.) prikazuje način na koji su rezultati bili prikazani. Legenda koja sadrži odgovarajuće nazine za termoparove 102,103, itd. nalazi se u potpoglavlju Mjerna oprema (Tablica 4.).

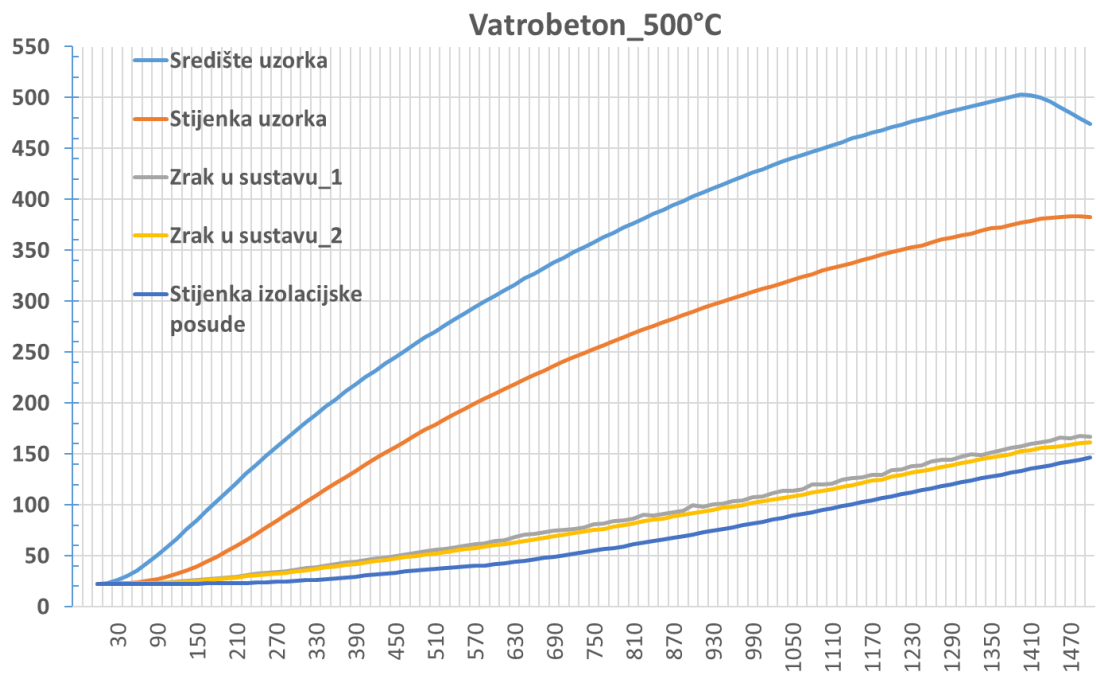
Tablica 6. Način zapisivanja podataka iz mjerena

Scan	Time	101	102	103	104	105	106	107
1	30.9.2019. 12:55:36	20,881	24,96	24,51	22,637	22,435	22,598	20,853
2	30.9.2019. 12:55:46	20,884	24,929	24,537	22,682	22,567	22,601	20,872
3	30.9.2019. 12:55:56	20,886	24,928	24,541	22,713	22,632	22,59	20,911
4	30.9.2019. 12:56:06	20,883	24,946	24,533	22,76	22,705	22,587	20,906
5	30.9.2019. 12:56:16	20,883	24,949	24,536	22,768	22,729	22,605	20,879
6	30.9.2019. 12:56:26	20,882	25,045	24,53	22,783	22,741	22,58	20,867
7	30.9.2019. 12:56:36	20,88	25,264	24,591	22,791	22,741	22,57	20,884
8	30.9.2019. 12:56:46	20,882	25,671	24,7	22,825	22,754	22,565	20,875
9	30.9.2019. 12:56:56	20,879	26,347	24,842	22,838	22,751	22,593	20,872
10	30.9.2019. 12:57:06	20,878	27,253	25,088	22,855	22,789	22,584	20,879

Krajnji rezultat analize grafički je prikaz ovisnosti specifičnog toplinskog kapaciteta o temperaturi. S obzirom da su za svaki materijal ispitana po 3 uzorka, a na svakom uzorku u prosjeku je napravljeno 6 ispitivanja, po završetku ispitivanja svakom materijalu pridruženo je minimalno 18 točaka koje su sadržavale informaciju o specifičnom toplinskem kapacitetu i temperaturi kojoj isti pripada.

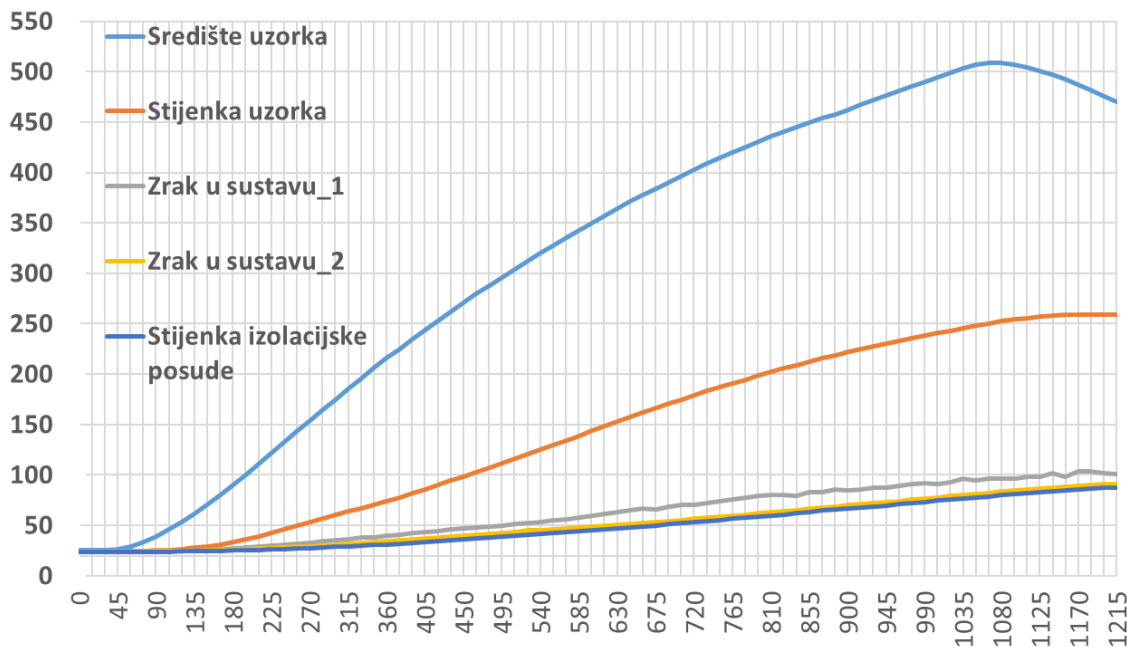
Za temperaturu kojoj se pridružuje navedeno termodinamičko svojstvo odabran je prosjek temperature kroz cijeli volumen uzorka u trenutku postizanja stacionarnog stanja (opisano prethodno u tekstu).

Nakon što su podaci sortirani u Excel tablice bilo je moguće napraviti krivulje temperaturnog razvoja u uzorcima tijekom zagrijavanja i hlađenja (Slika 29.).

**Slika 29.** Prikaz temperaturnog profila termobetona pri zagrijavanju do 500°C

Moguće je uočiti na krivulji temperature stijenke uzorka da ne postoji opisana stagnacija u porastu temperature zbog ishlapljivanja vode iz uzorka. Razlog tomu jest što je navedeni uzorak već prošao nekoliko ciklusa mjerjenja (grijanja) koji su za posljedicu već imali dehidraciju uzorka te nije postojala značajna količina vode koja bi mogla naknadno ishlapiti.

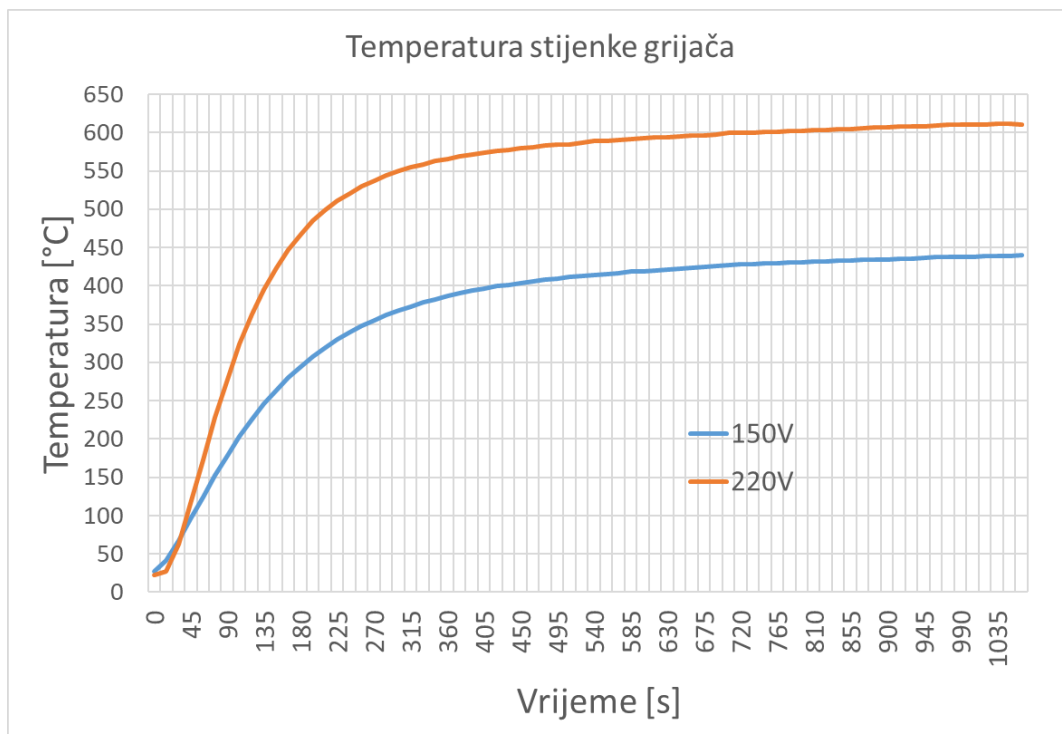
Vatrootporna žbuka_500°C

**Slika 30.** Prikaz temperaturnog profila vatrootporne žbuke pri zagrijavanju do 500°C

S obzirom na to da točni tehnički podaci o električnom grijajući nisu bili dostupni tijekom analize, grijajući je zasebno podvrgnut ispitivanju kako bi se utvrdila dinamika njegovog ponašanja prilikom zagrijavanja. Na taj način izmjereni podaci o grijajuću su se mogli primijeniti na analizu zagrijavanja cijelog sustava.

Eksperimentalni postav i mjerena oprema koji su korišteni pri ispitivanju grijajuća u potpunosti su bili jednaki kao u slučaju analize uzoraka materijala. Grijajući je bio ispitivan na sljedeći način: u termoizolacijsku posudu (koja je korištena i za ostala mjerena) bio je postavljen samo grijajući bez uzorka. Mjerenje je započelo u trenutku paljenja transformatora spojenog na vodiče grijajuća. Ispitivanje je napravljeno pod istim naponima koji su korišteni tijekom analize vatrootporne žbuke i termobetona (150V i 220V). Izmjerene jakosti struje na ampermetu tijekom oba mjerena odgovarale su onima u slučaju osnovne analize (0,7A u slučaju žbuke i 1A u slučaju betona).

Točni cilj ovog dodatnog ispitivanja bio je odrediti krivulju temperaturne ovisnosti grijajuća o vremenu zagrijavanja te njegov specifični toplinski kapacitet. Rezultati ispitivanja prikazani su u nastavku.

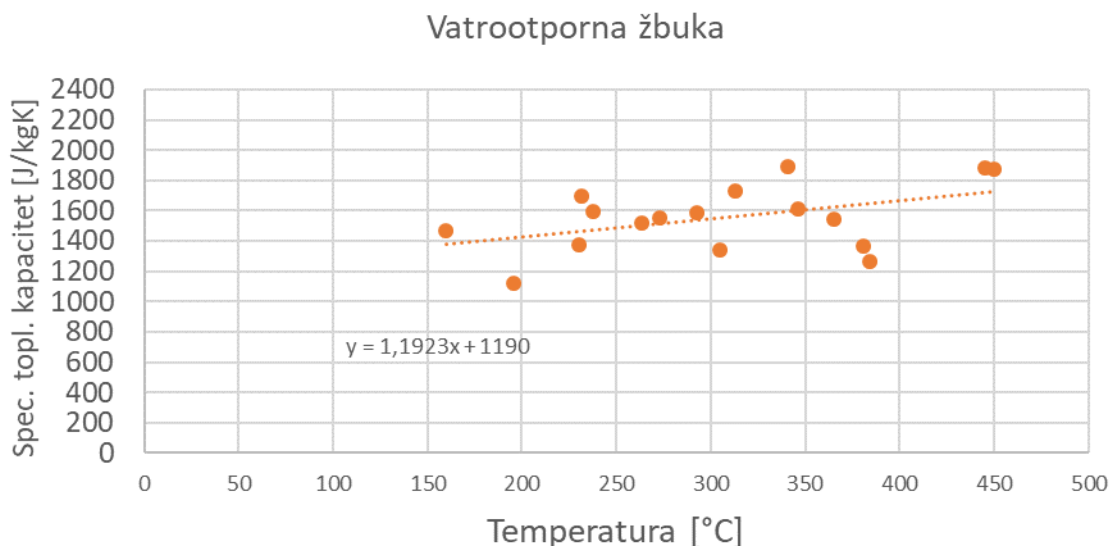


**Slika 31. Krivulja ovisnosti temperature stijenke grijajuća o vremenu.
Zagrijavanje pri 150V.**

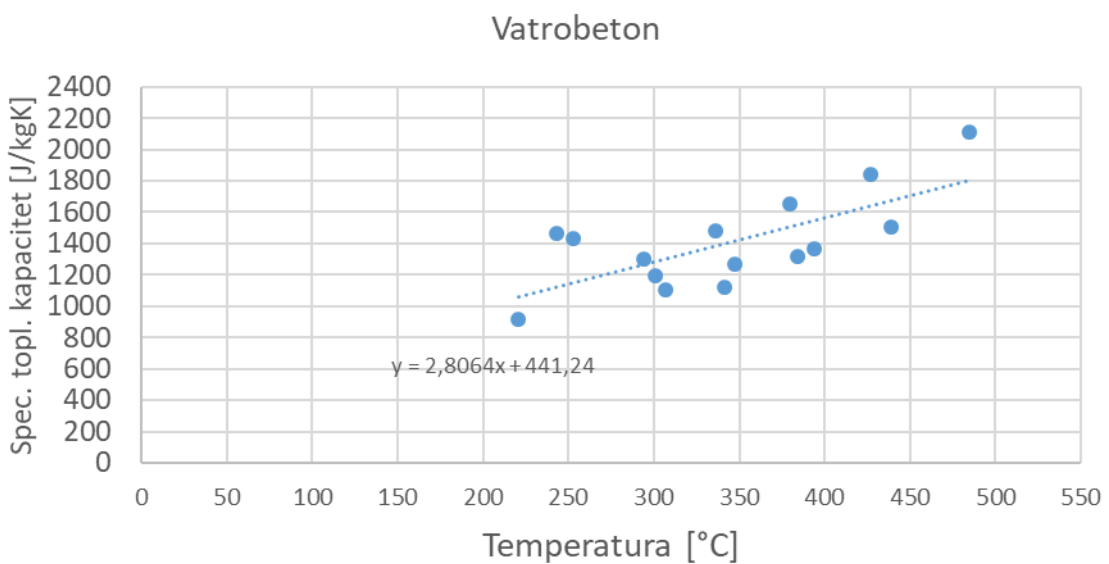
Tablica 7. Specifični toplinski kapacitet elektrogrijajuća

Temperatura [°C]	20	100	200	300	400
c _p [J/kgK]	1200	1250	1300	1400	1600

Rezultati dobiveni mjerjenjem specifičnog toplinskog kapaciteta materijala vatrootporne žbuke i vatrobetona prikazani su u nastavku (Slika 32. i Slika 33.).



Slika 32. Specifični toplinski kapacitet vatrootporne žbuke u ovisnosti o temperaturi



Slika 33. Specifični toplinski kapacitet vatrobetona u ovisnosti o temperaturi

4. NUMERIČKA ANALIZA

U sklopu utvrđivanja termodinamičkih svojstava materijala poželjno je napraviti numeričku provjeru eksperimentalnih mjerena kako bi se utvrdila ispravnost rezultata i zaključaka donesenih temeljem toga. Pristupajući rješavanju problema potrebno je odabrati valjani model prijelaza topline u sustavu. Cilj numeričke analize je potvrditi trend i zaključke dobivene na temelju rezultata mjerena. Odstupanja su očekivana, zbog različitih faktora koji onemogućuju potpuno podudaranje rezultata ovih dviju metoda pri provođenju analize predstavljenog problema.

Numerička analiza predstavljenog problema provedena je u računalnom alatu ANSYS (Transient Thermal modul).

4.1. Opis analize

Tijekom numeričke analize prioritet je bio motrenje temperature uzorka pa je stoga ostatak komponenti izdvojen iz ovog postupka. Umjesto stvarnih komponenti koje sudjeluju u numeričkoj analizi uvedeni su adekvatni rubni uvjeti. Umjesto fizičkog sudjelovanja grijачa u simulaciji predstavljen je razvoj temperature na unutarnjoj stijenki uzorka. Vrijednost te temperature dobivena je na temelju ranije odradene eksperimentalne analize.

Postupak provjere eksperimentalnih rezultata temeljio se na praćenju dobivenih temperatura stijenke uzorka numeričkom analizom. Kao ulazni parametri u numeričkoj analizi bili su podaci iz eksperimentalne analize: specifični toplinski kapacitet i temperatura unutarnje stijenke uzorka te temperatura okolišnog zraka.

Rezultat numeričke analize je vremenski razvoj temperature na vanjskoj stijenki uzorka koji je uspoređen sa stvarnim vremenskim razvojem temperature stijenke mjerenum tijekom eksperimenta.

Tijekom svakog pojedinog mjerena mijenjani su ispitni uvjeti (početne temperature i različiti scenariji grijanja). Stoga se u numeričkoj provjeri vodilo računa da specifični početni i rubni uvjeti svakog pokusa odgovaraju onima koji su u stvarnosti zabilježeni u laboratoriju. U nastavku slijedi matematički model na kojem se temelji numerički rješavač i detalji o izradi geometrije i postavkama rješavača.

4.2. Matematički model

Model prijenosa topline koji se koristi u numeričkoj metodi rješavanja zasniva se na temeljnoj jednadžbi provođenja topline u krutinama. Prema [16] polazna jednadžba provođenja topline u Kartezijevom koordinatnom sustavu, bez izvora topline glasi

$$\frac{\partial \vartheta}{\partial t} = a \left(\frac{\partial^2 \vartheta}{\partial x^2} + \frac{\partial^2 \vartheta}{\partial y^2} + \frac{\partial^2 \vartheta}{\partial z^2} \right) \quad (15)$$

u kojoj

$$a = \frac{\lambda}{\rho c} \quad (16)$$

predstavlja temperaturnu provodnost (eng. thermal diffusivity) i izražava se u m²/s.

U cilindričnom koordinatnom sustavu, r, φ, z , jednadžba (15) poprima oblik

$$\frac{\partial \vartheta}{\partial t} = a \left(\frac{\partial^2 \vartheta}{\partial r^2} + \frac{1}{r} \frac{\partial \vartheta}{\partial r} + \frac{1}{r^2} \frac{\partial^2 \vartheta}{\partial \varphi^2} + \frac{\partial^2 \vartheta}{\partial z^2} \right) + \frac{\Phi_v}{\rho c} \quad (17)$$

Prema [16] može se prepostaviti dominantno širenje topline samo u smjeru polumjera uzorka r . Radi toga iščezavaju sljedeći članovi u prethodnoj diferencijalnoj jednadžbi:

$$\begin{aligned} \frac{\partial \vartheta}{\partial z} &= 0; & \frac{\partial^2 \vartheta}{\partial z^2} &= 0 \\ \frac{\partial \vartheta}{\partial \varphi} &= 0; & \frac{\partial^2 \vartheta}{\partial \varphi^2} &= 0 \end{aligned}$$

te se ista transformira u oblik

$$\lambda(t) \left(\frac{\partial^2 \vartheta(r,t)}{\partial r^2} + \frac{1}{r} \frac{\partial \vartheta(r,t)}{\partial r} \right) = \rho c(t) \frac{\partial \vartheta(r,t)}{\partial t} \quad (18)$$

gdje je

- $\vartheta(r,t)$ - temperatura [°C],
- $\lambda(\vartheta)$ - toplinska provodnost [W/mK],
- ρ - gustoća materijala [kg/m³],
- c - specifični toplinski kapacitet materijala [J/kgK],
- t - vrijeme [s]
- r - koordinata ($0 \leq r \leq D/2$, D je vanjski promjer uzorka).

Koristeći eksplisitnu metodu prema [17], za izračun temperature određene ćelije u određenom vremenskom trenutku koristi se samo informacija o temperaturama susjednih ćelija što dovodi do jednostavne računalne sheme operacija:

- (i) Za ćeliju u sredini modela (Slika 34.) vrijedi:

$$\vartheta'_m = F_0 \left[\frac{2(\lambda_{m-1,m} \cdot \vartheta_{m-1} + \lambda_{m+1,m} \cdot \vartheta_{m+1})}{\lambda_{m-1,m} + \lambda_{m+1,m}} + \vartheta_m \left(\frac{1}{F_0} - 2 \right) \right] \quad (19)$$

gdje je F_0 definiran kao

$$F_0 = \frac{(\lambda_{m-1,m} + \lambda_{m+1,m}) \cdot \Delta t}{2\rho c(\Delta r)^2} \quad (20)$$

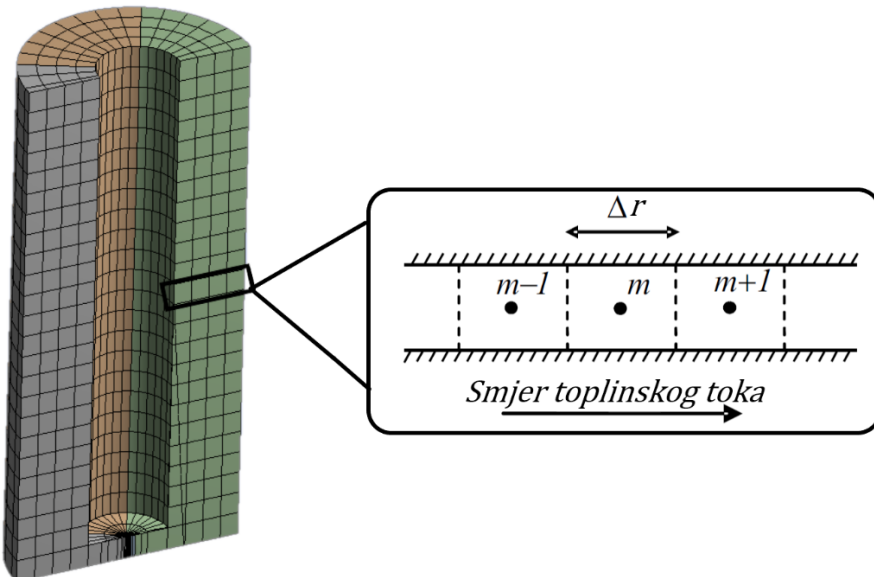
ϑ'_m je temperatura ćelije m u sljedećem vremenskom koraku, dok je $\lambda_{i,j}$ toplinska provodnost pri prosječnoj temperaturi ćelija i i j :

$$\lambda_{i,j} = \lambda \left(\frac{\vartheta_i + \vartheta_j}{2} \right). \quad (21)$$

Numerička stabilnost ove eksplisitne metode zahtijeva da je

$$\Delta t \leq \frac{\rho c (\Delta r)^2}{(\lambda_{m-1,m} + \lambda_{m+1,m})}. \quad (22)$$

Kako je dominantno širenje topline u radijalnom smjeru, prikazat će se takav isječak modela koji prikazuje ćelije numerirane prema jednadžbama (Slika 34.).



Slika 34. Diskretizacija sredine uzorka prema dominantnom širenju topline

(ii) Za rubnu ćeliju (Slika 35.) vrijedi:

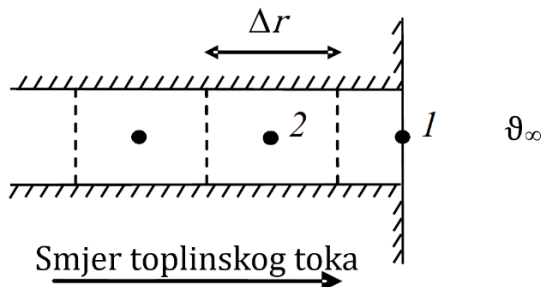
$$\vartheta'_m = 2F_0 \left[\vartheta_2 + \frac{\alpha\Delta r}{\lambda_1} \vartheta_\infty + \vartheta_1 \left(\frac{1}{2F_0} - 1 - \frac{\alpha\Delta r}{\lambda_1} \right) \right] + \omega\varepsilon\sigma [(\vartheta_\infty + 273)^4 - (\vartheta_1 + 273)^4] \frac{2\Delta t}{\rho c \Delta r} \quad (23)$$

gdje je F_0

$$F_0 = \frac{\lambda_1 \Delta t}{\rho c (\Delta r)^2},$$

- $\alpha(\vartheta)$ - koeficijent konvekcije [$\text{W}/\text{m}^2 \cdot ^\circ\text{C}$],
- ϑ_∞ - temperatura okolišnog zraka [$^\circ\text{C}$],
- ω - geometrijski faktor,
- ε - emisijski faktor,
- σ - Stefan-Boltzmannova konstanta [$5,67 \times 10^{-8} \text{ W}/\text{m}^2 \cdot \text{K}^4$]).

Grafički prikaz mreže na opisanom rubnom dijelu moguće je vidjeti na Slici 35.

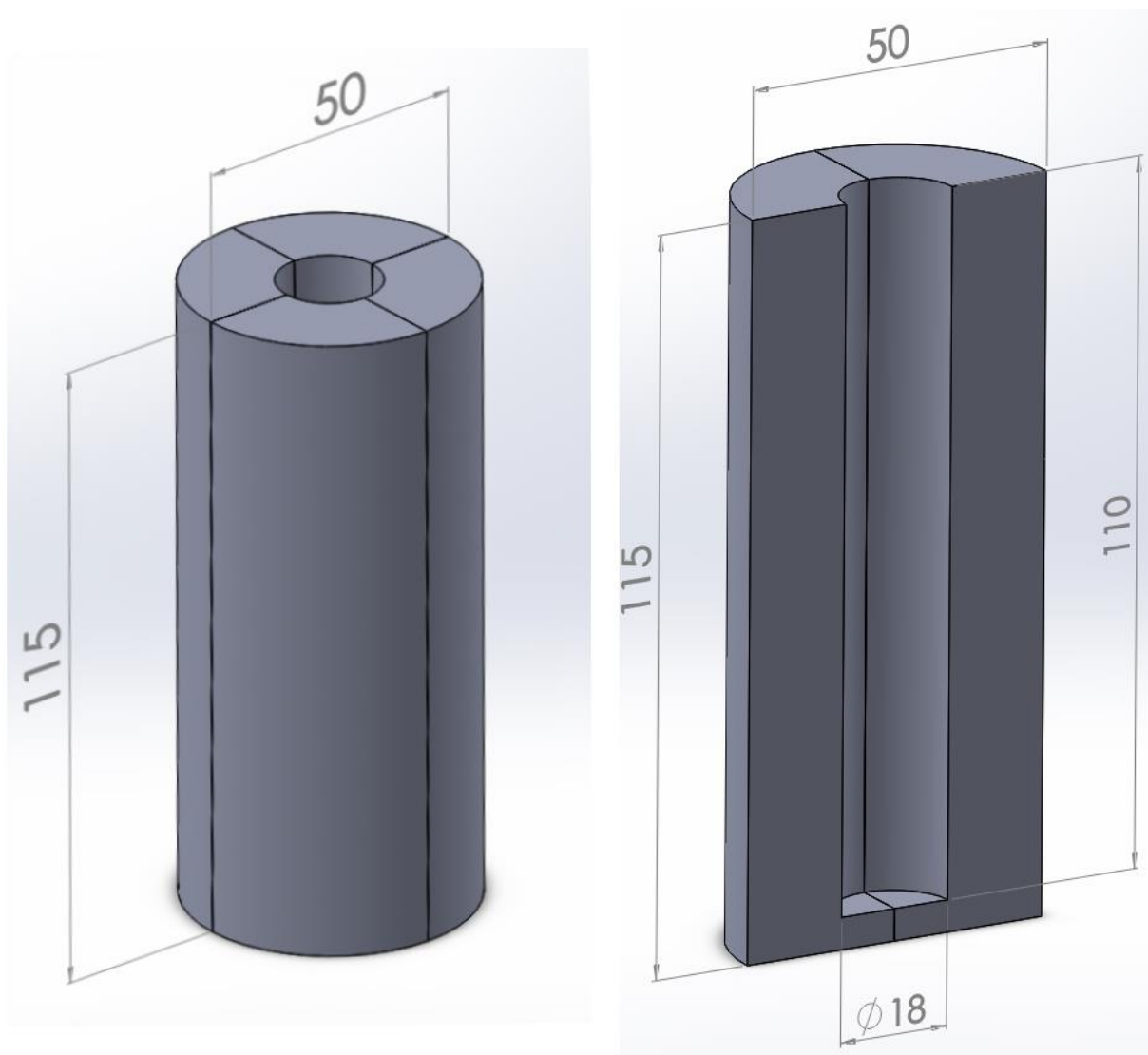


Slika 35. Diskretizacija modela na rubu uzorka

4.3. Izrada geometrije i mreže

Geometrija uzorka izrađena je u softverskom paketu Solidworks 2017 prema stvarnim dimenzijama uzoraka izmjerenim u laboratoriju. Dimenziije ispitnog uzorka mogu se pogledati na tehničkom crtežu u Prilogu I.

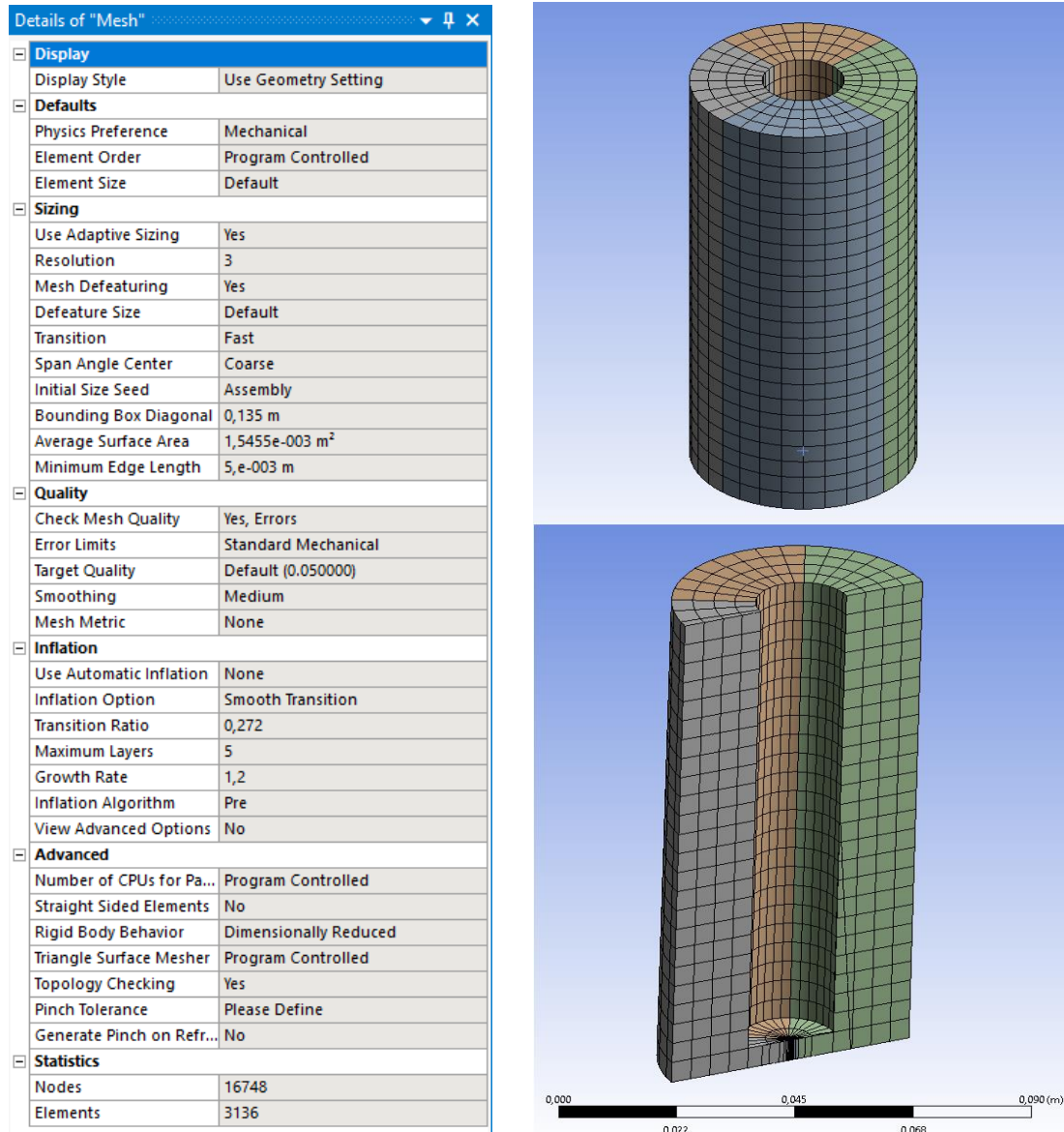
Tijekom ekstrudiranja modela pazilo se da uzorak bude simetrično podijeljen na 4 dijela kao što je vidljivo na Slici 36. Na ovaj način model je bio pravilno pripremljen za izradu mreže u sljedećem koraku. Iako je podijeljen na dijelove, uzorak se i dalje ponaša kao jedno kruto tijelo jer su dijelovi idealno spojeni.



Slika 36. Model ispitnog uzorka izrađenog u SolidWorks-u.

Nakon što je dio iz Solidworks-a uvezen u Mechanical modul ANSYS-a bilo je potrebno odrediti metodu izrade mreže (način podjele uzorka na sitnije dijelove). Pravilna podjela modela uzorka na djeliće skraćuje vrijeme potrebno za numeričku simulaciju i pogoduje ciljanoj analizi određenih dijelova uzorka. Na taj način može se preciznije odraditi analiza rubnih dijelova uzorka (unutarnja stijenka gdje je kontakt s grijačem i vanjska stijenka). Ciljana analiza dijelova u numeričkom modelu olakšava usporedbu sa stvarno izmjerениm temperaturama pomoću termoparova u eksperimentu.

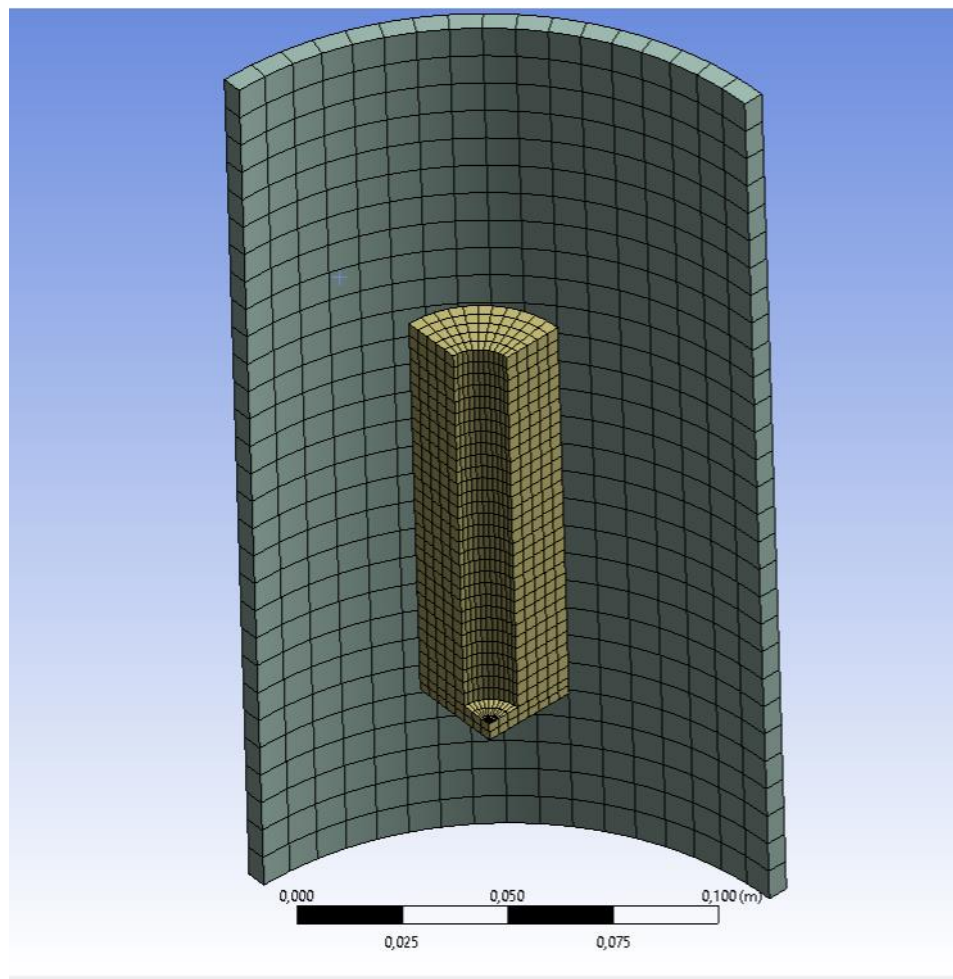
Za izradu mreže odabrana je heksagonalna metoda s dodatnom višezonskom podjelom. Na priloženoj grafici (Slika 37.) vidljiv je način na koji je napravljena mreža modela uzorka.



Slika 37. Detalji izrade mreže (lijevo). Prikaz mreže (desno).

Rezolucija mreže odabrana je najbolja moguća (najveći broj celija) u rasponu koji dopušta ANSYS-ov rješavač (maksimalno 500.000 celija).

Osim geometrije uzorka u numeričku analizu bilo je potrebno uključiti geometriju termoizolacijske posude za pravilno definiranje rubnog uvjeta zračenja. Kako je dominantni prijenos topline u radijalnom smjeru, za analizu je model uzorka i stijenke posude podijeljen na četvrtine kako bi se uštedilo na broju potrebnih računalnih operacija. Ispod je prikazana mreže podijeljenog uzorka i modela stijenke posude.



Slika 38. Mreža uzorka i stijenke posude

Tijekom izrade mreže i geometrije isprobano je više mogućih kombinacija uzorka i stijenke posude (više ploha u modelu, cijeli sustav uključen, itd.). Uključivanje ostalih stranica i ploha u simulaciju nije donosilo značajne promjene u rezultatima, a zahtjevalo je dodatni procesorski angažman. Stoga je kao optimalni rezultat izabrana kombinacija ploha vidljiva na Slici 38.

4.4. Rubni i početni uvjeti

Rubni i početni uvjeti su preuzeti iz eksperimentalne analize te su primjenjeni u numeričkoj analizi kao ulazni parametri ili kao referentne vrijednosti za provjeru (promjenjiva temperatura vanjske stijenke uzorka).

Početni uvjeti

Temperatura cijelog sustava na početku mjerena je jednake vrijednosti što znači da je u početnom trenutku sustav u stacionarnom stanju. U Prilogu II prikazana je tablica sa svim početnim temperaturama tijekom mjerena.

Početna temperatura (iz tablice rezultata eksperimenta) u ANSYS rješavaču primjenjena je se za cijeli sustav preko unosa „Initial Temperature“. U grafičkom prilogu u nastavku, na primjeru početne temperature od 19,1 °C , može se vidjeti način unosa početnog uvjeta.

Osim navedenog globalnog početnog uvjeta, informacija o početnim temperaturama pojedinih stijenki ili zraka sadržana je u promjenjivom rubnom uvjetu (multi trenutak).



Slika 39. Zadavanje globalnog početnog uvjeta

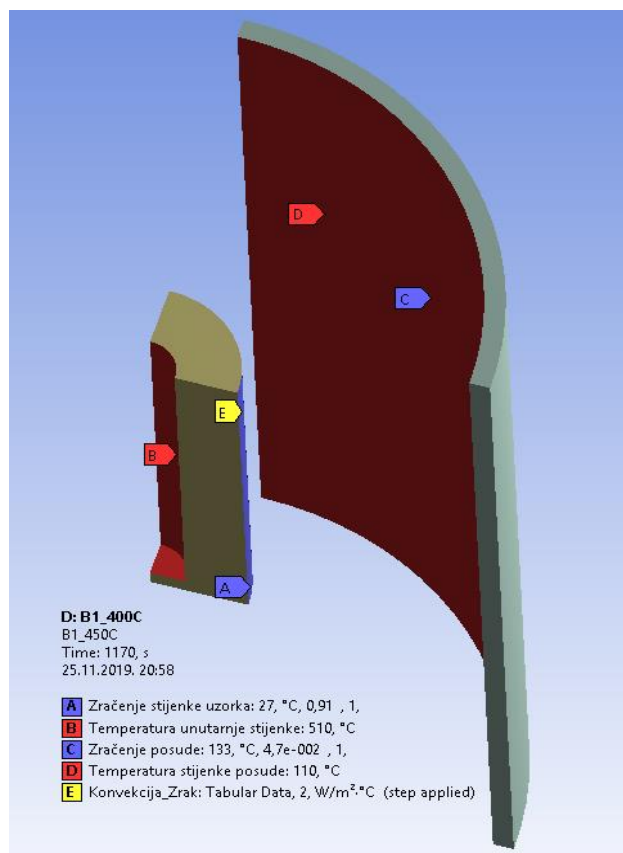
Rubni uvjeti

Rubni uvjeti primjenjeni u numeričkoj analizi također su dobiveni iz rezultata eksperimentalne analize. Prema podacima o temperaturi grijača koja se posebno mjerila, uz korekcije je u numeričkom modelu na unutarnju stijenku primjenjen pridruženi promjenjivi rubni uvjet temperature stijenke. Nadalje, na isti način je prema rezultatima mjerjenja temperature zraka u posudi (termoparovi mjere temperaturu zraka na dvije pozicije u posudi) primjenjen rubni uvjet temperature okolišnog zraka u numeričkoj analizi. Na Slici 39. moguće je vidjeti sve uvjete zadane u izborniku postavki rješavača:

- Temperatura unutrašnje stijenke uzorka
- Konvekcija sa stijenke uzorka prema zraku
- Zračenje stijenke uzorka prema stijenki posude
- Temperatura stijenke posude

U Prilogu II moguće je pogledati tablice svih podataka o temperaturama korištenim u numeričkoj analizi.

Na Slici 40. može se vidjeti način zadavanja spomenutih promjenjivih rubnih uvjeta temperature unutarnje stijenke uzorka i temperature okolišnog zraka (zraka u sustavu).

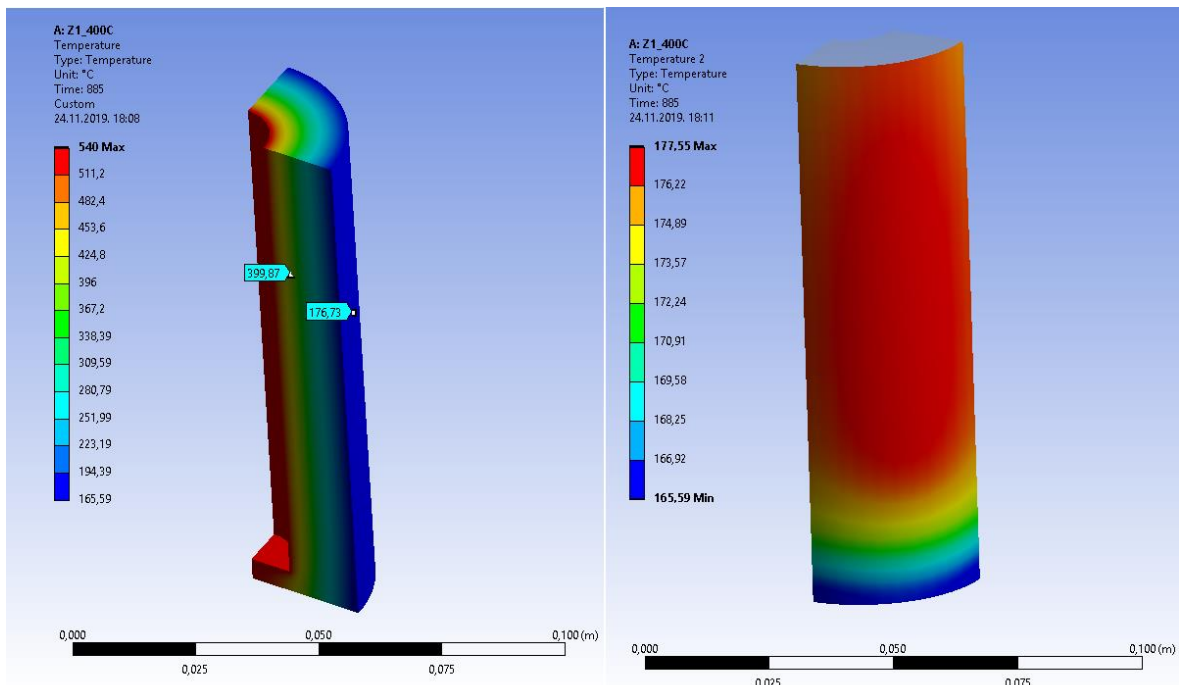


Slika 40. Zadavanje rubnih uvjeta (ANSYS Mechanical)

4.5. Rezultati numeričke analize

Prikaz rezultata biti će priložen za određene scenarije u obliku temperaturnih mapa, dok će krajnji prikaz rezultata biti dan na grafu, kako bi konačna usporedba bila preglednija.

Prvi uzorak vatrootporne žbuke zagrijavan je u nekoliko scenarija od kojih je ovdje za provjeru numeričkom analizom odabran scenarij zagrijavanja do 400°C (Slika 41.).



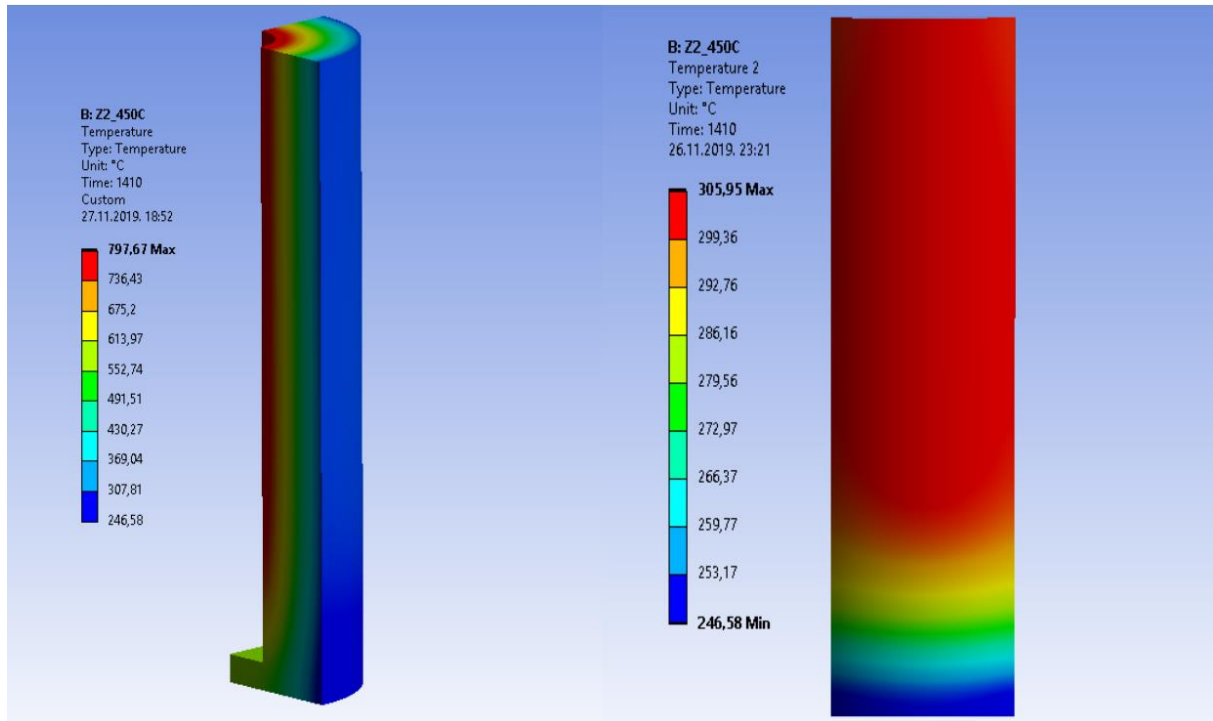
Slika 41. Temperaturna mapa prvog uzorka vatrootporne žbuke (lijevo). Temperatura vanjske stijenke (desno).

Prema priloženim slikama vidljivo je kako je zbog pozicije grijачa na udaljenosti 5 mm od donjeg ruba uzorka temperaturna raspodjela tako orijentirana da je donji dio ostao najmanje zagrijan, odnosno najniže je temperatura. To odgovara zapažanjima tijekom eksperimenta kada je i zrak u donjem dijelu posude bio hladniji (utjecaj strujanja zraka je zanemariv).

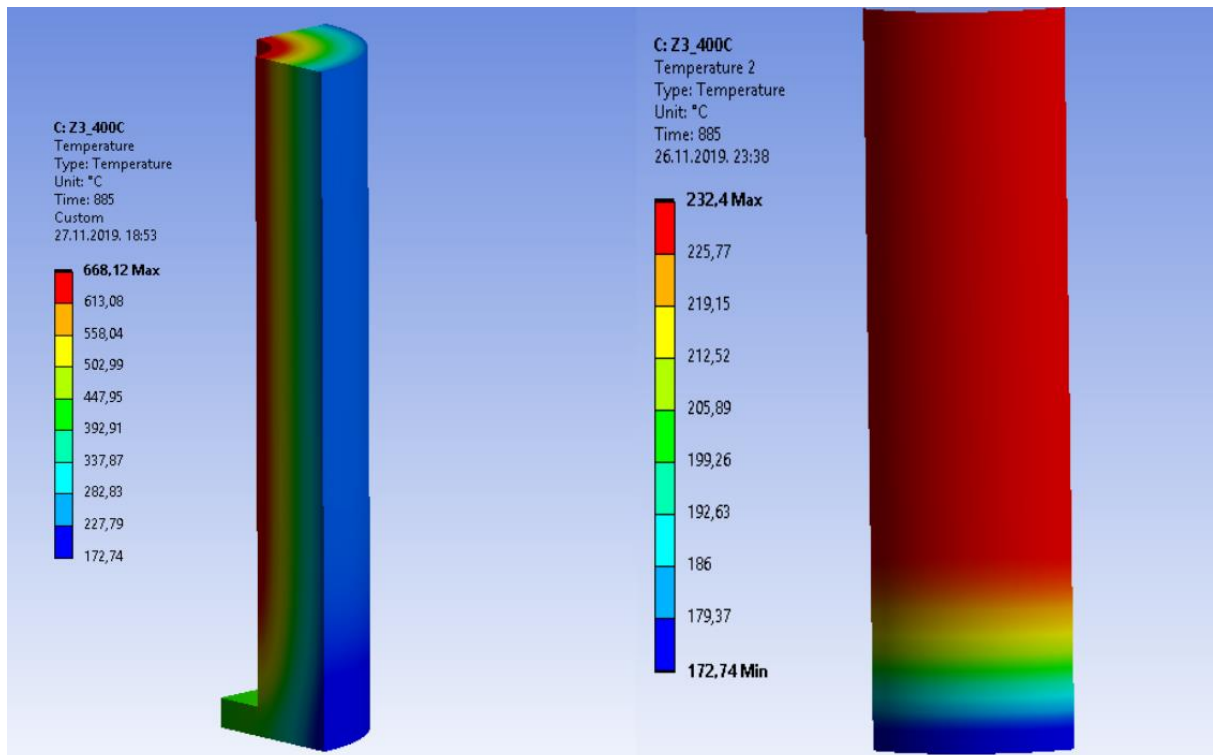
Scenarij grijanja koji je u eksperimentu proveden bez utjecaja vlage izabran je kao referentni scenarij provjere specifičnog toplinskog kapaciteta. Pritom je biran scenarij zagrijavanja uzorka na višu temperaturu, što je poželjno, jer numerički model u tom slučaju razvije dovoljno veliku razliku u odnosu na eksperimentalne rezultate, a broj računalnih operacija je u željenom graničnom intervalu.

Na sljedećoj stranici moguće je vidjeti rezultate numeričke analize vatrootporne žbuke (Slika 42. i Slika 43.).

Temperaturne mape vatrootporne žbuke

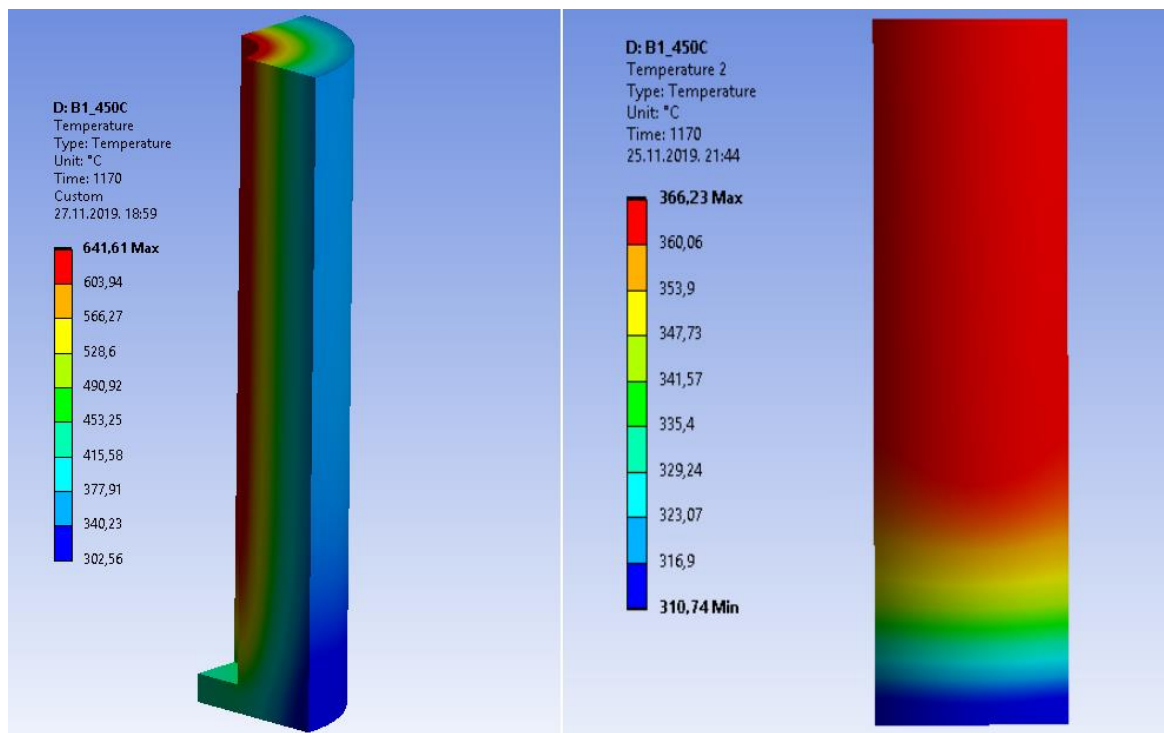


Slika 42. Temperaturna mapa drugog uzorka vatrootporne žbuke (lijevo). Temperatura vanjske stijenke (desno).

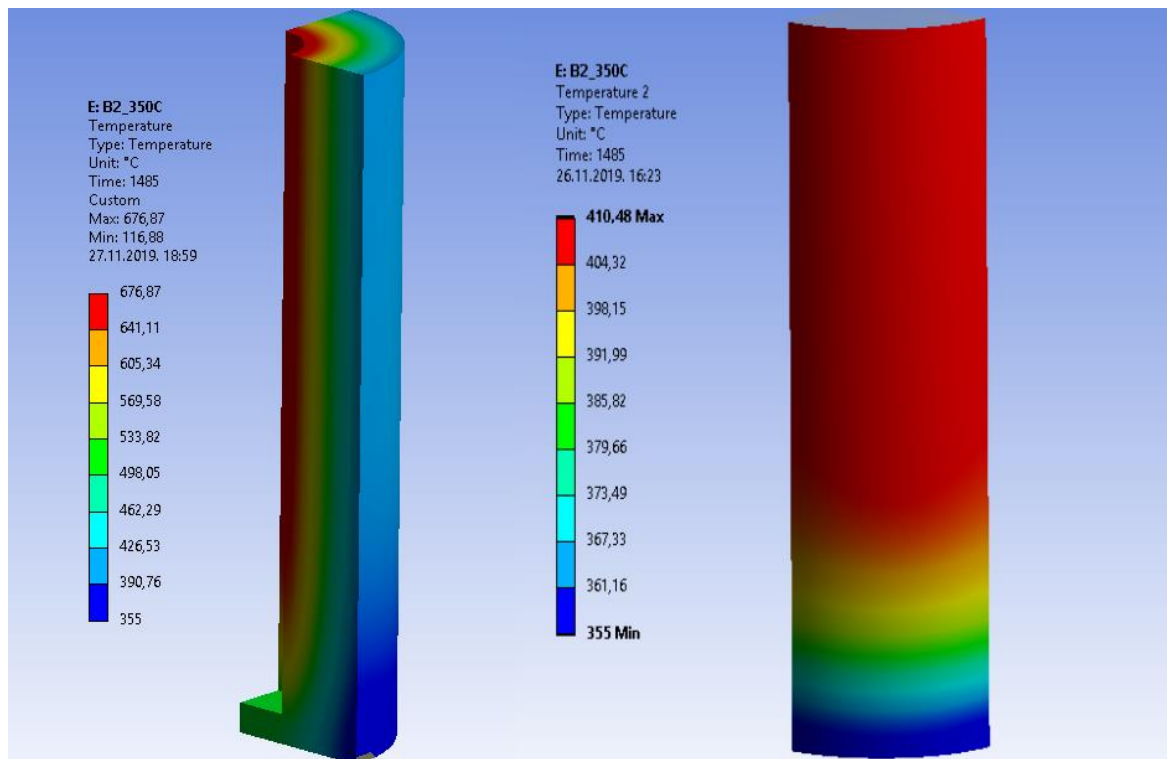


Slika 43. Temperaturna mapa trećeg uzorka vatrootporne žbuke (lijevo). Temperatura vanjske stijenke (desno).

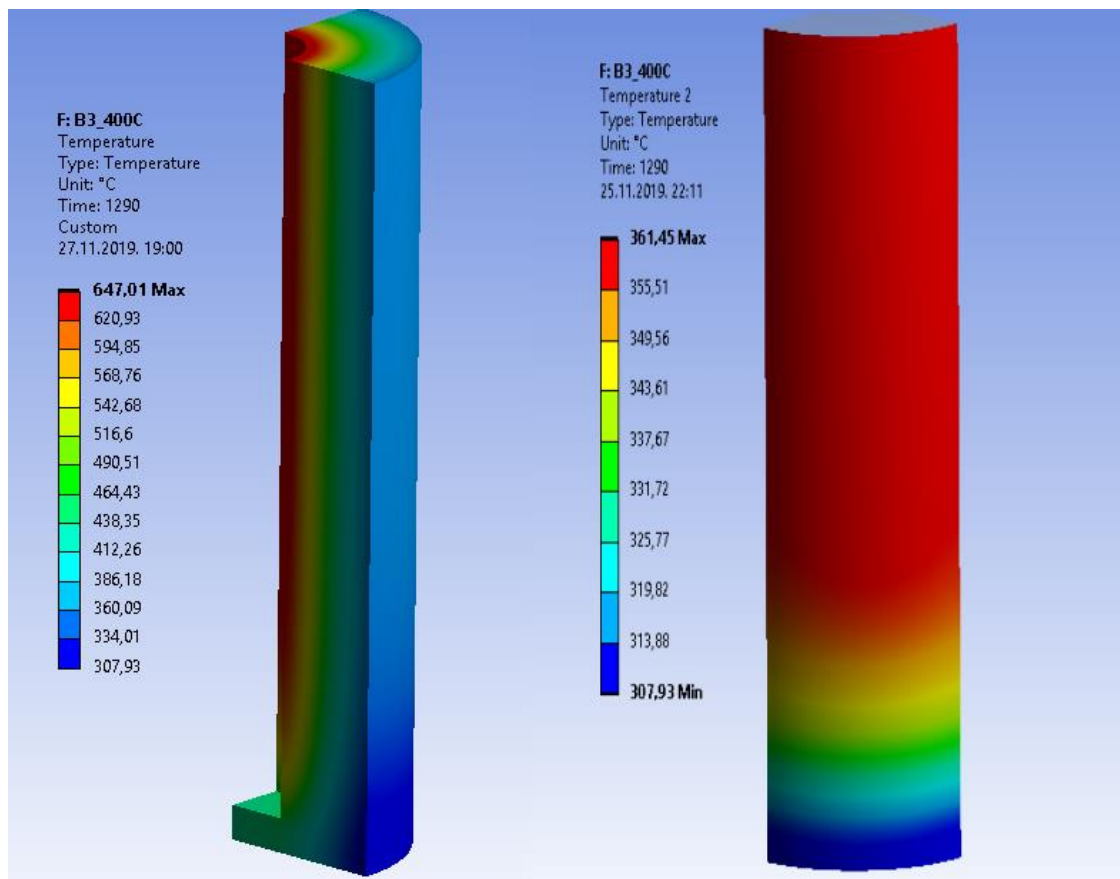
Temperaturne mape vatrobetona



Slika 44. Temperaturna mapa prvog uzorka vatrobetona (lijevo). Temperatura vanjske stijenke (desno).



Slika 45. Temperaturna mapa drugog uzorka vatrobetona (lijevo). Temperatura vanjske stijenke (desno).



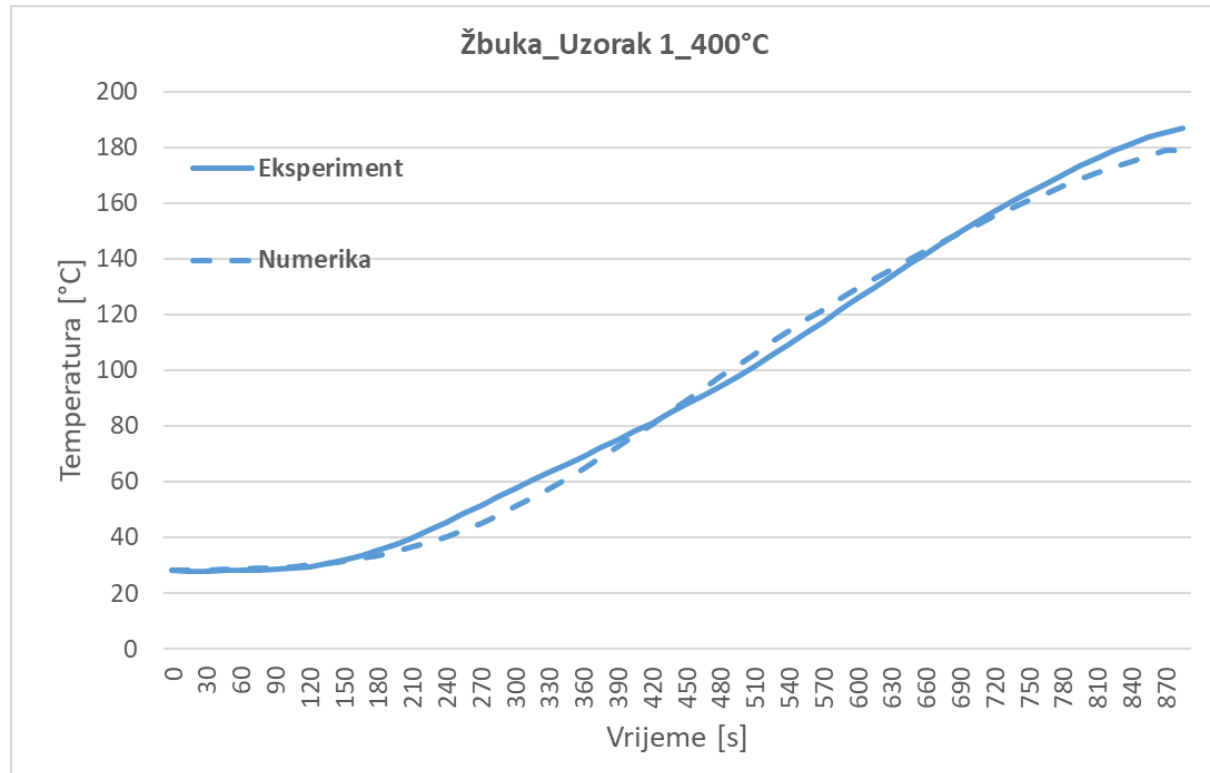
Slika 46. Temperaturna mapa trećeg uzorka vatrobetona (lijevo). Temperatura vanjske stijenke (desno).

5. ANALIZA REZULTATA

Kako bi se utvrdila opravdanost korištenih metoda tijekom utvrđivanja specifičnog toplinskog kapaciteta materijala vatrootporne žbuke i vetrobetona potrebno je usporediti rezultate dobivene eksperimentalnom i numeričkom metodom.

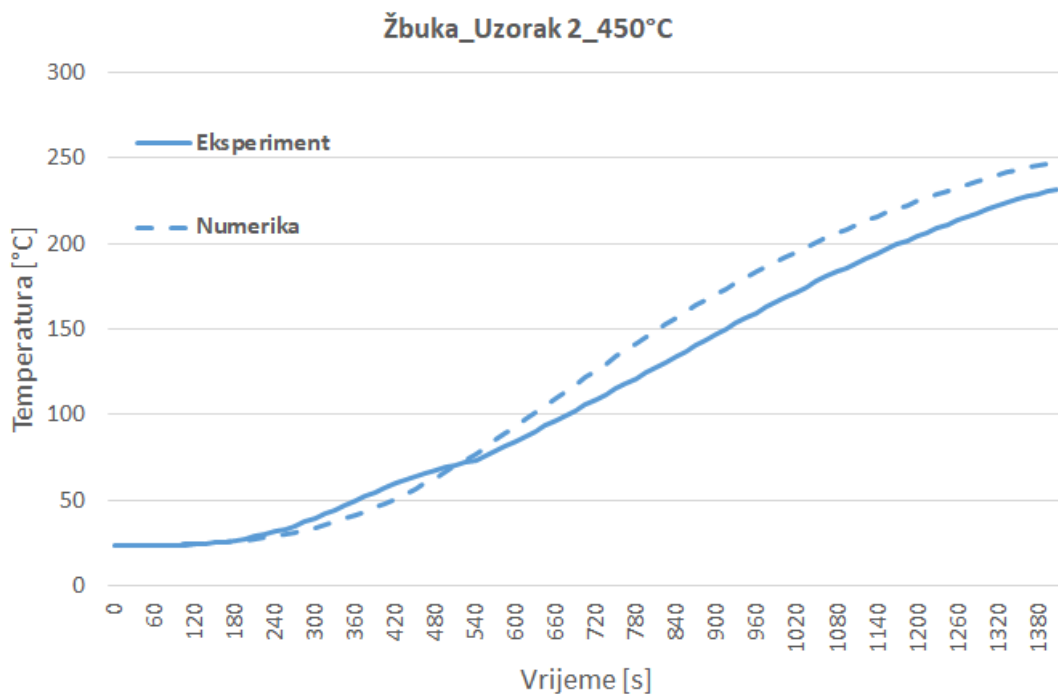
Temeljni kriterij usporedbe je krivulja temperature vanjske stijenke uzorka. U slučaju numeričke analize korišteni su ulazni parametri koji su dobiveni eksperimentom te je krajnji rezultat dobiven u obliku temperaturne mape u trenutku završetka procesa (npr. Slika 41. (desno)) i grafa ovisnosti temperature o vremenu. Na Slici 47. nalazi se prikaz opisane krivulje za slučaj eksperimenta (plavo) i numeričkog rješenja (crtkano plavo).

5.1. Vatrootporna žbuka

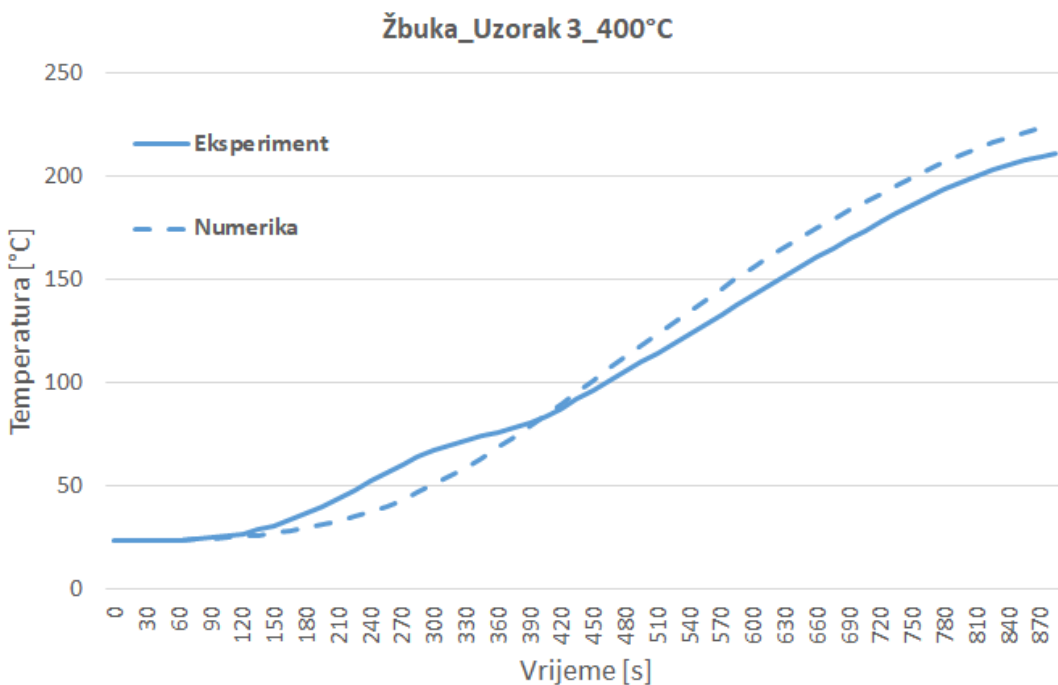


Slika 47. Usporedba rezultata eksperimenta i numeričke analize: Vatrootporna žbuka, prvi uzorak

Prema priloženom grafičkom prikazu moguće je uočiti podudaranje rezultata eksperimenta i numeričke analize. Odstupanja koja su sve izraženija s povećanjem ukupne temperature u sustavu moguće je pripisati utjecaju vlage na mjerjenja i poroznosti uzorka koja je složena za primjenu u numeričkoj analizi. Na primjeru drugog i trećeg uzorka žbuke gdje je vidljiva stagnacija temperature opisana ranije, odstupanja dvaju rješenja su izraženija.



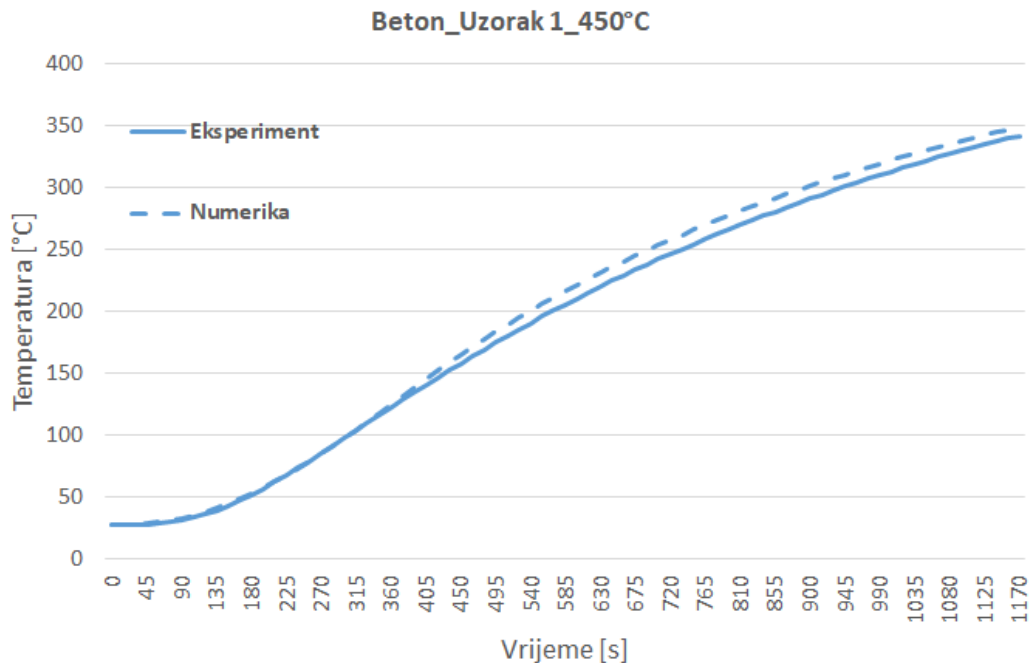
Slika 48. Usporedba rezultata eksperimenta i numeričke analize: Vatrootporna žbuka, drugi uzorak



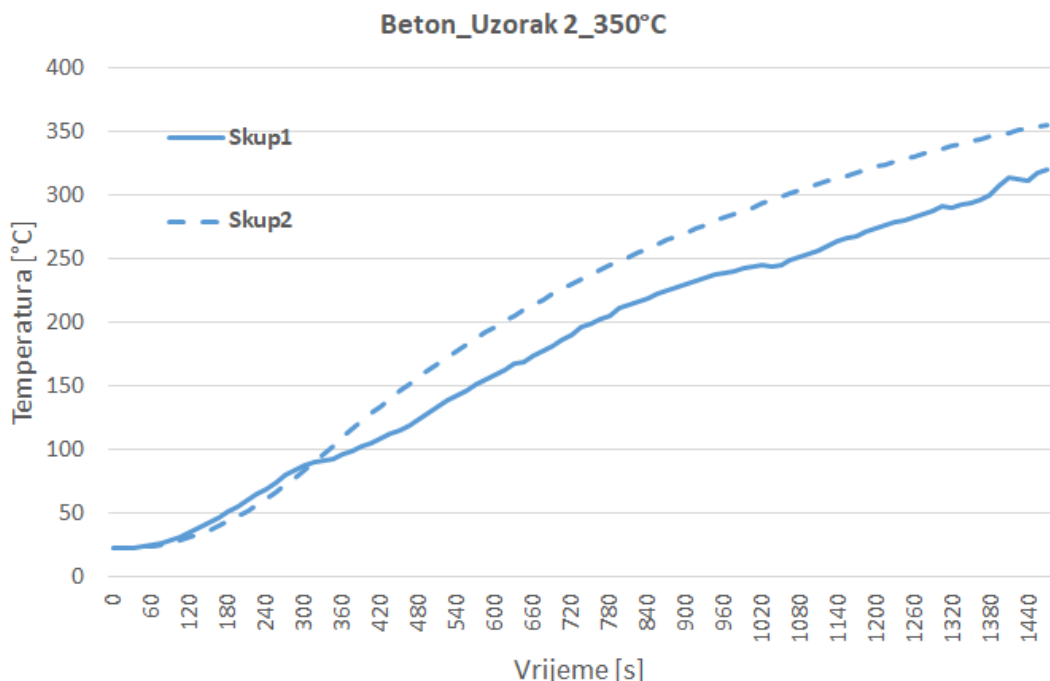
Slika 49. Usporedba rezultata eksperimenta i numeričke analize: Vatrootporna žbuka, treći uzorak

5.3. Vatrobeton

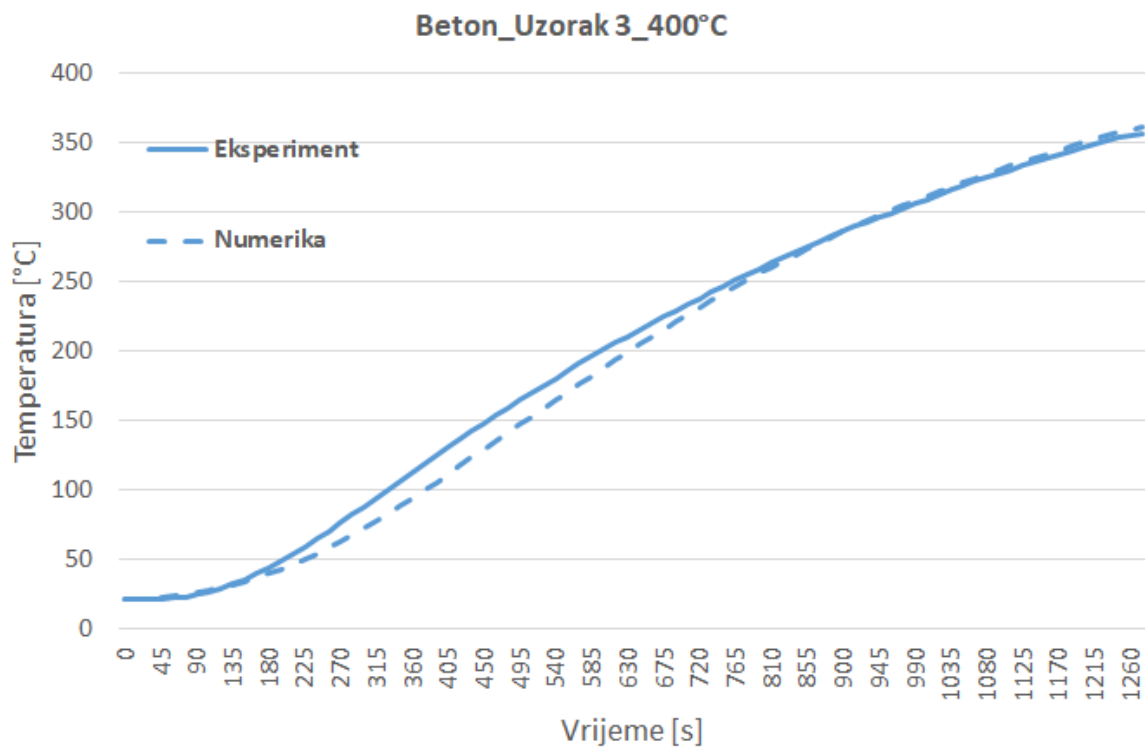
Na primjeru rezultata vatrobetona također je uočljivo poklapanje numeričkog rješenja s mjeranjima. Veća odstupanja vidljiva su na uzorku koji je sadržavao značajniji udio vodenog sadržaja (Slika 51.).



Slika 50. Usporedba rezultata eksperimenta i numeričke analize: Vatrobeton, prvi uzorak



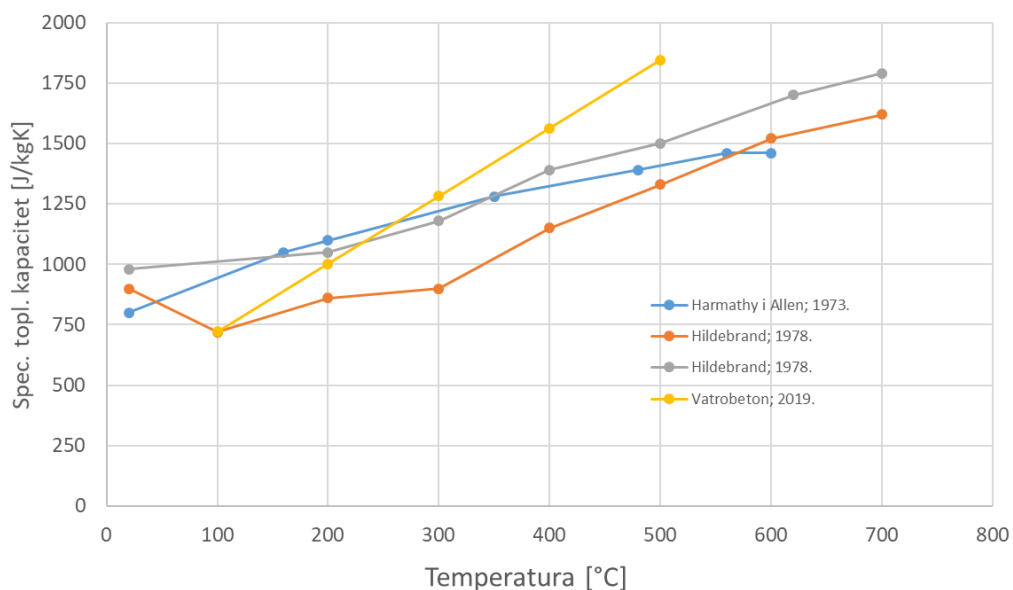
Slika 51. Usporedba rezultata eksperimenta i numeričke analize: Vatrobeton, drugi uzorak



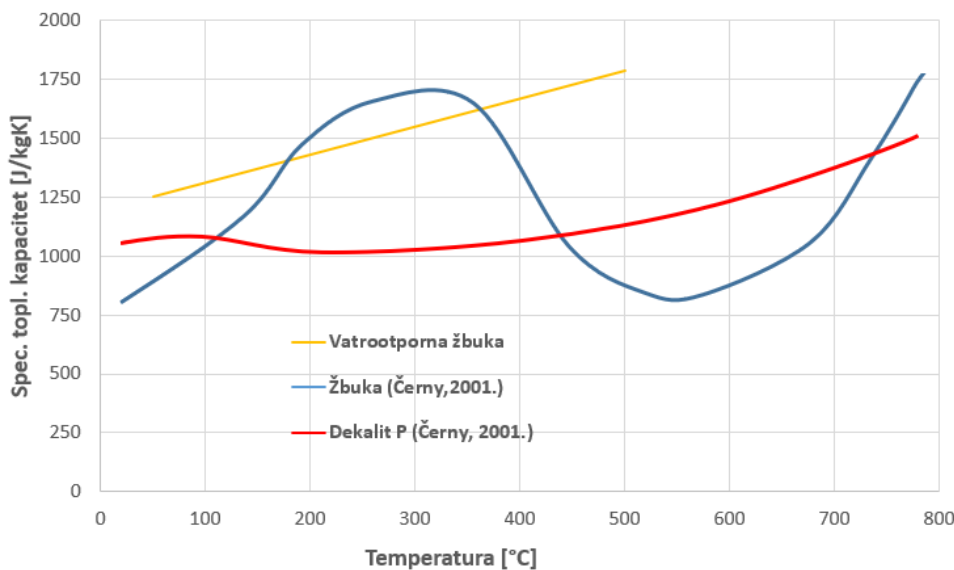
Slika 52. Usporedba rezultata eksperimenta i numeričke analize: Vatrobeton, treći uzorak

5.5. Usporedba s literaturom

Rezultati mjerenja betona pronađeni u literaturi dobiveni su DSC metodom (vidi Poglavlje 2.2.1) koja s velikom točnošću ispituje specifični toplinski kapacitet tvari. Međutim, metoda korištena u ovom radu pokazuje rezultate sukladne onima iz [18] za temperaturni raspon od 150 do 450 °C (Slika 53.). Usporedba vatrootporne žbuke s rezultatima pronađenim u literaturi prikazana je na Slici 54.



Slika 53. Usporedba rezultata vatrobetona s literaturom



Slika 54. Usporedba rezultata vatrootporne žbuke s literaturom

6. ZAKLJUČAK

Utvrđeni rezultati specifičnog toplinskog kapaciteta materijala vatrootporne žbuke i vatrobetona pokazuju da je moguće mjeriti navedeno termodinamičko svojstvo na način opisan u ovom radu.

Odstupanja numeričke analize i eksperimentalnih mjerena su prihvatljiva uvezši u obzir s jedne strane različite faktore koji su utjecali na preciznost mjerena (nehomogenost materijala, nedosljednost položaja termoparova), a s druge strane nemoguću idealnu simulaciju numeričkom analizom.

Prema prikazanim rezultatima može se zaključiti da se izmjereni specifični toplinski kapaciteti u eksperimentalnoj analizi s dovoljnom sigurnošću mogu primjenjivati u numeričkim analizama. Međutim, treba imati na umu da je u ovom radu numerički model zanemario utjecaj poroznosti u materijalu koja donosi određena odstupanja od stvarnih mjerena.

Eksperimentalni dio analize bi za potpunu sigurnost trebalo obaviti DSC metodom koja bi sa sigurnošću mogla utvrditi krivulju specifičnog toplinskog kapaciteta.

U radu je potvrđena pojava povećanog specifičnog toplinskog kapaciteta u materijalu zbog postojanja određenog masenog sadržaja vode. Također, provjereni su promjenjivi početni i rubni uvjeti te se potvrđuje trend povećanog specifičnog toplinskog kapaciteta s povećanjem temperature.

LITERATURA

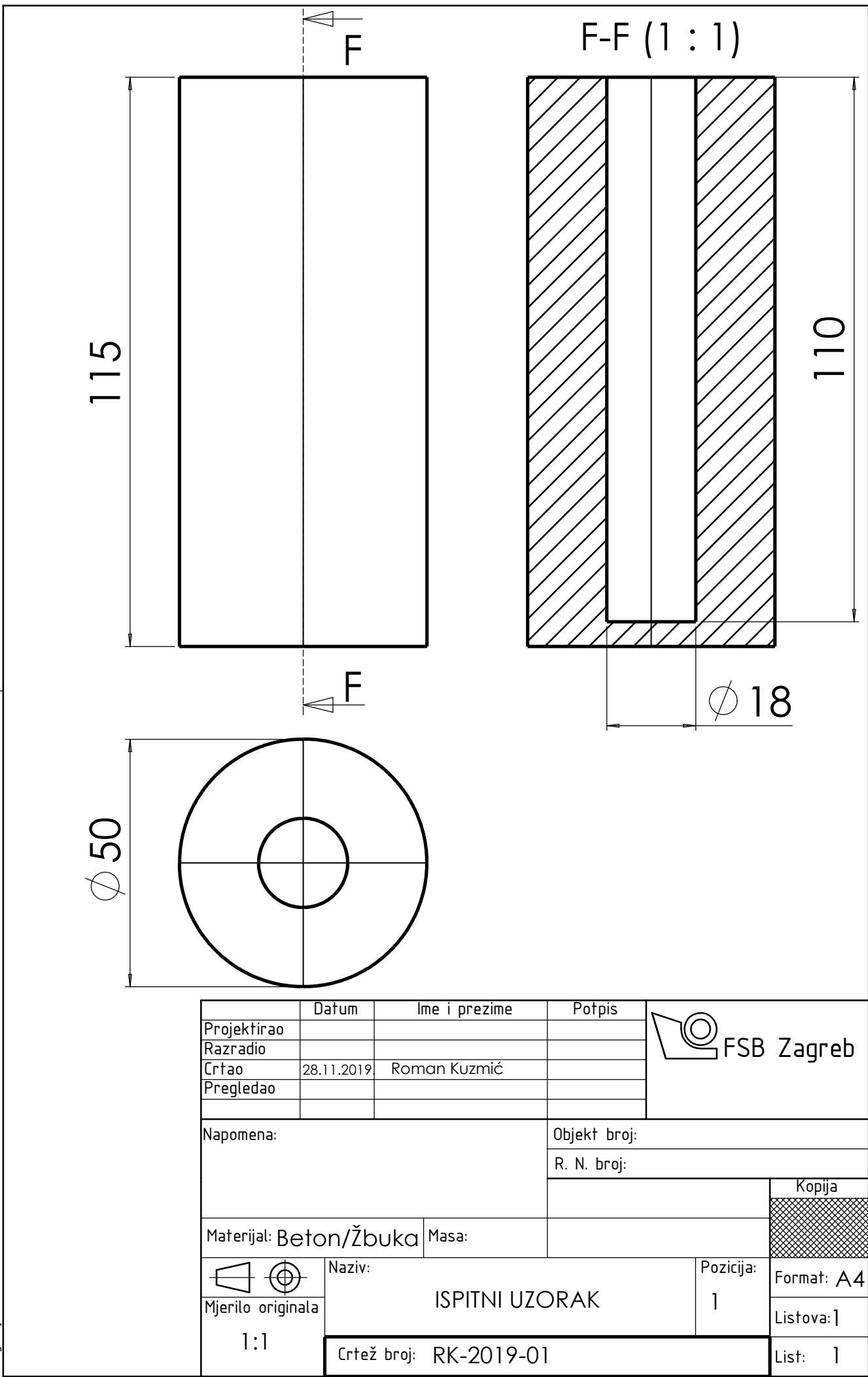
- [1] Center of Fire Statistics of CTIF 2017
- [2] <https://hr.wikipedia.org/wiki/Požar>; 12.11.2019.
- [3] <https://www.zus.hr/zastita-od-pozara>; 12.11.2019.
- [4] <https://www.vig.hr>; 12.11.2019.
- [5] Rahamanian, I., Thermal and mechanical properties of gypsum boards and their influences on fire resistance of gypsum board based systems, 2011
- [6] BS 476; Part 7; 1997.
- [7] Khaliq, W., Kodur, V., "High temperature mechanical properties of high strength fly ash concrete with and without fibers," ACI Materials Journal, vol. 109, no. 6, pp. 665–674, 2012.
- [8] Rahamanian, I., Wang, Y., Thermal Conductivity of Gypsum at High Temperatures A Combined Experimental and Numerical Approach, Acta Polytechnica Vol. 49 No. 1/2009
- [9] Rahamanian, I., Thermal and mechanical properties of gypsum boards and their influences on fire resistance of gypsum board based systems, 2011
- [10] Michael H. Chiu, Elmar J. Prenner; Differential scanning calorimetry: An invaluable tool for a detailed thermodynamic characterization of macromolecules and their interactions; J Pharm Bioallied Sci.; 2011 (39-59)
- [11] Ang, C.N., Wang,Y.C., The Effect of Water Movement on Specific Heat of Gypsum Plasterboard in Heatt Transfer Analysis Under Natural Fire Exposure. Construction and Building Materials, Vol.18 (str. 505–51), 2003.
- [12] Galović, A., Termodinamika I, FSB, Zagreb, 2016.
- [13] <https://www.samoborka.hr/upload/proizvodi/TUP-%20Vatrostop.pdf>; 14.11.2019.
- [14] <http://www.micom.hr/varijabilni-transformatori>; 17.11.2019.
- [15] <https://www.keysight.com/en/pd-1000001313%3Aepsg%3Apro-pn-34970A/data-acquisition-data-logger-switch-unit?cc=HR&lc=eng>; 17.11.2019.
- [16] Galović, A., Termodinamika II, FSB, Zagreb, 2016.
- [17] Wang, H. B.: Heat Transfer Analysis of Components of Construction Exposed to Fire. Department of Civil Engineering and Construction, University of Salford, U.K., 1995.
- [18] Jansson, R., Measurement of thermal properties at elevated temperatures – Brandforsk project 328-031, 2004.

[19] Černy, R., Toman, J., Determination of changes in thermal properties of building materials in the conditions of a fire, CIB World Building Congress, 2001.

PRILOZI

- I. Tehnički crtež ispitnog uzorka
- II. Tablice rezultata mjerena
- III. CD-R disc

PRILOG I



PRILOG II: Tablice rezultata mjerena

Scan	Vrijeme	600			600_2			400			300			200							
		Zbuka Centar	Zbuka Stijenka	Zrak1	Zbuka Centar	Zbuka Stijenka	Zrak1	Zrak2	Zbuka Centar	Zbuka Stijenka	Zrak1	Zrak2	Zbuka Centar	Zbuka Stijenka	Zrak1	Zrak2	Pec				
1	0	19,271	19,191	19,084	19,139	19,089	21,982	21,875	21,867	21,758	21,675	28,104	28,049	27,833	27,816	27,606	26,913	26,896			
2	15	19,326	19,196	19,089	19,149	19,113	22,086	21,896	21,948	21,909	21,675	28,231	28,041	27,817	27,821	27,608	27,113	27,003			
3	30	19,397	19,196	19,115	19,131	19,115	23,012	21,908	22,007	21,869	21,697	28,925	28,044	27,838	27,823	27,577	27,739	26,985			
4	45	21,39	19,23	19,1	19,206	19,12	25,02	21,93	21,997	21,888	21,685	28,084	27,869	27,627	27,579	27,034	27,01	26,934			
5	60	24,312	19,27	19,127	19,257	19,116	28,547	22,055	21,932	21,708	30,043	28,154	27,932	27,934	27,634	32,838	27,079	27,035	26,975		
6	75	28,663	19,372	19,148	19,361	19,117	33,441	21,211	22,265	22,038	21,684	28,017	28,291	28,048	27,663	37,528	27,221	27,165	27,105		
7	90	34,278	19,616	20,197	19,473	19,132	23,354	22,748	22,748	21,701	44,002	28,514	28,132	28,139	27,674	43,412	27,442	27,263	27,266		
8	105	40,917	20,064	19,242	19,611	19,13	46,666	28,232	23,416	22,051	21,705	50,584	28,983	28,303	28,373	27,666	50,385	28,262	27,426	27,524	
9	120	48,459	20,779	19,309	19,832	19,145	54,716	23,327	24,75	22,884	21,724	58,049	29,645	28,542	28,603	27,727	58,237	28,41	27,625	27,836	
10	135	56,729	21,796	19,386	20,086	19,167	63,506	24,467	26,325	23,298	21,737	66,238	30,619	28,866	28,875	27,703	66,892	29,287	27,937	28,199	
11	150	65,653	23,102	19,514	20,41	19,181	72,916	25,741	28,276	23,357	21,768	75,062	31,855	29,366	29,204	27,729	76,2	30,456	28,464	28,629	
12	165	75,05	24,766	19,703	20,767	19,2	82,821	30,593	24,235	21,811	84,466	29,794	27,601	29,059	27,909	29,079	26,912	76,608	37,915	27,729	26,959
13	180	84,841	26,804	19,868	21,159	19,249	93,171	29,254	33,177	23,687	94,27	35,326	30,775	30,109	27,873	96,213	33,718	29,811	29,576	26,975	
14	195	94,954	29,147	20,107	21,611	19,308	103,605	31,413	35,696	22,906	101,861	104,394	37,469	31,58	30,669	27,923	106,743	35,303	30,571	29,049	
15	210	105,371	31,819	20,388	22,103	19,347	114,544	33,397	38,95	24,412	21,939	114,73	39,888	32,424	31,242	28,012	117,488	38,12	31,489	28,487	
16	225	115,96	34,777	20,691	22,652	19,454	125,545	36,668	42,322	25,238	22,029	125,233	42,544	33,816	31,947	28,097	128,429	40,815	32,148	27,169	
17	240	126,586	37,951	21,034	23,254	19,603	136,622	39,662	45,747	26,213	22,144	135,689	45,415	34,862	32,707	28,225	139,301	43,67	33,448	32,166	
18	255	137,283	41,337	21,419	23,936	19,769	147,383	42,542	47,348	23,03	22,152	146,205	48,501	35,762	33,499	28,488	150,076	46,673	32,871	27,432	
19	270	147,847	44,849	21,832	24,767	19,992	158,069	45,957	49,973	22,781	22,336	156,566	51,567	36,879	34,288	28,754	160,835	49,785	35,015	33,653	
20	285	158,347	48,402	22,29	22,626	20,304	168,946	49,245	55,093	21,794	22,54	166,855	54,651	37,919	35,011	29,096	171,48	52,954	35,465	27,053	
21	300	168,704	51,879	22,787	26,491	20,647	179,713	52,67	58,377	29,402	22,88	176,999	57,639	39,134	35,783	29,461	182,043	56,106	36,339	35,13	
22	315	178,945	55,195	23,285	27,342	21,05	190,305	56,075	61,352	30,529	23,296	187,064	60,562	40,18	36,603	29,927	192,32	59,212	37,783	35,495	
23	330	188,09	58,311	23,826	28,255	21,539	200,666	59,368	64,277	31,62	23,749	196,99	63,53	41,406	37,536	30,46	202,583	62,408	39,294	32,826	
24	345	198,634	63,213	24,276	29,285	20,228	21,078	62,555	67,185	32,763	24,214	206,573	66,312	42,382	38,428	31,01	212,442	65,5	40,19	37,758	
25	360	208,46	63,905	24,974	30,271	22,627	22,782	65,653	68,14	28,293	25,961	61,191	21,581	43,974	39,425	31,56	22,28	68,571	40,426	38,668	
26	375	217,881	66,435	31,256	35,079	23,801	24,616	68,277	72,338	24,926	25,175	72,058	40,453	32,211	31,231	71,162	40,206	36,929	30,646		
27	390	227,096	68,924	32,225	35,273	23,723	29,841	71,349	75,39	35,285	36,207	75,076	41,503	33,014	34,014	74,442	48,444	32,235	28,96		
28	405	236,261	71,458	37,001	33,173	24,294	29,03	74,046	78,19	37,11	36,254	23,414	78,073	48,603	42,425	33,74	25,051	76,188	43,052	41,702	
29	420	245,138	74,079	27,759	34,098	24,874	25,765	77,435	81,404	37,068	37,061	75,171	81,213	50,573	43,348	34,945	25,018	81,426	44,145	42,765	
30	435	253,791	76,785	28,483	35,031	25,764	23,703	80,056	84,608	39,175	37,698	76,268	84,445	31,842	34,342	26,578	84,651	45,116	43,783	35,473	
31	450	262,249	79,649	29,208	39,806	26,048	27,526	83,682	88,115	40,303	28,442	26,565	87,719	45,341	35,887	38,474	87,488	45,583	43,501	34,051	
32	465	269,645	82,486	27,86	54,447	26,557	29,589	86,959	92,048	41,364	29,189	26,610	90,945	53,819	46,298	36,661	84,501	90,667	45,965	38,797	
33	480	277,378	85,865	30,493	60,25	27,378	29,169	91,099	96,23	42,22	29,857	28,488	94,179	55,048	47,154	37,247	29,555	94,193	43,744	38,424	
34	495	285,219	89,303	31,847	62,569	27,963	29,347	92,938	97,395	32,495	29,849	29,258	97,756	56,163	46,303	38,008	30,403	97,979	51,769	45,176	
35	510	292,964	92,781	32,925	64,855	28,732	30,657	95,704	101,788	28,65	29,218	99,296	101,553	56,763	49,274	38,689	30,154	103,028	53,029	45,348	
36	525	300,569	96,302	33,895	67,185	29,363	31,457	98,526	104,868	32,035	29,294	107,429	105,494	57,545	50,185	35,185	93,315	106,066	55,032	47,465	
37	540	308,078	100,089	34,888	69,64	30,1	32,818	102,732	111,717	40,309	36,665	101,941	109,538	58,842	52,391	39,986	123,030	110,881	56,758	45,399	
38	555	315,496	104,119	35,784	72,099	30,811	32,397	107,178	116,181	43,811	31,433	122,244	113,583	59,437	52,356	40,646	32,818	114,104	56,661	45,659	
39	570	322,798	107,366	36,766	81,448	31,446	111,422	120,297	120,567	32,506	22,343	117,552	105,533	59,291	51,419	42,399	118,118	56,783	40,517	37,717	
40	585	330,055	112,437	37,78	77,239	32,121	34,591	115,658	115,242	47,402	32,948	33,614	121,679	59,957	52,449	41,918	33,722	122,284	59,414	41,501	
41	600	337,176	116,596	38,774	82,874	32,774	34,861	119,099	120,888	48,144	33,389	34,889	123,873	61,096	55,388	42,633	33,668	126,274	58,539	41,321	
42	615	342,668	120,767	39,815	82,555	35,366	35,395	124,098	124,922	43,571	35,598	35,598	127,213	62,179	56,352	43,176	33,304	130,024	56,374	40,107	
43	630	351,225	124,994	40,735	85,082	34,323	36,885	126,262	135,33	50,352	35,231	35,231	134,016	63,603	57,46	43,761	32,589	136,151	53,029	43,227	
44	645	358,085	128,169	41,733	85,753	34,496	35,961	127,981	132,362	58,366	35,098	36,188	138,056	64,628	58,533	43,226	32,658	139,514	54,534	43,774	
45	660	364,876	133,277	42,754	90,038	35,686	37,856	128,927	132,466	59,444	36,243	36,243	140,316	65,636	59,636	44,873	32,668	139,748	54,723	43,949	
46	675	371,607	137,357	43,581	92,407	36,431	39,088	129,895	135,285</												

**VATROOPTPORAŽBUKA
UZORAK 3**

Scan	Vrijeme	250				300				350				400				450				500										
		Zbuka	Zbuka	Zrak1	Zrak2	Stijenka	Centar	Zbuka	Zbuka	Zrak1	Zrak2	Pec	Zbuka	Zrak1	Zrak2	Pec	Zbuka	Zbuka	Zrak1	Zrak2	Pec	Zbuka	Zbuka	Zrak1	Zrak2	Pec						
1	0	22,933	22,801	22,75	22,756	22,658	23,151	23,07	22,999	23,017	22,967	22,998	22,854	22,816	22,764	22,658	23,418	23,284	23,151	23,111	23,104	23,47	23,436	23,383	24,983	24,757	24,101	23,898	23,945			
2	15	23,714	22,838	22,816	22,773	22,658	23,476	23,068	23,029	22,997	22,989	23,572	22,87	22,832	22,774	22,663	23,946	23,305	23,199	23,127	23,096	23,567	23,412	23,354	23,367	23,38	25,255	24,758	24,149	23,938	23,916	
3	30	25,873	22,846	22,927	22,753	22,671	24,359	23,089	23,104	23,023	22,983	25,174	22,896	22,877	22,774	22,666	25,743	23,31	23,233	23,156	22,875	24,049	23,426	23,302	23,392	23,378	26,548	24,716	24,15	23,958	23,924	
4	45	29,427	22,97	23,116	22,803	22,656	23,936	23,096	23,175	23,027	22,988	28	23,027	22,971	22,875	22,718	31,23	23,397	23,296	23,201	23,127	25,238	23,462	23,496	23,391	23,381	29,302	24,758	24,215	24,013	23,911	
5	60	34,372	23,191	23,384	22,888	22,695	28,171	23,152	23,023	23,065	23,002	32,149	23,308	23,06	22,95	22,731	37,27	23,628	23,399	23,279	23,117	27,131	23,459	23,596	23,422	23,367	33,508	24,898	24,427	24,073	23,942	
6	75	40,318	23,664	23,455	23,022	22,656	31,078	23,266	23,431	23,116	23,008	37,533	23,75	23,181	23,055	22,762	43,388	23,985	23,432	23,353	23,195	29,645	23,516	23,766	23,421	23,4	39,039	25,259	24,395	24,19	23,997	
7	90	47,31	24,39	23,48	23,189	22,718	34,562	23,396	23,635	23,157	23,009	44,015	24,479	23,328	23,237	22,807	51,03	24,637	23,632	23,527	23,164	32,822	23,668	23,939	23,486	23,381	45,676	25,838	24,564	24,376	24,041	
8	105	55,037	25,449	23,768	23,421	22,752	38,564	23,671	23,282	23,015	21,509	54,955	23,561	21,209	23,477	22,888	53,18	25,583	23,854	23,305	23,123	36,573	20,053	24,053	23,58	23,377	53,222	26,618	24,878	24,513	24,141	
9	120	63,518	26,877	24,157	23,727	22,849	42,987	24,007	23,881	23,328	23,002	57,891	27,011	23,951	23,843	23,051	61,411	26,898	24,317	23,994	23,346	40,876	24,139	24,012	23,652	23,365	61,533	27,791	25,299	24,739	24,257	
10	135	72,491	28,637	24,599	24,09	22,923	47,867	24,485	23,788	23,446	23,007	63,439	28,884	24,343	24,179	23,224	70,311	28,612	24,844	24,355	23,493	45,608	24,501	23,975	23,704	23,389	70,478	29,228	25,765	25,071	24,441	
11	150	81,953	30,854	25,217	24,564	23,004	53,077	25,198	23,574	23,04	68,942	31,24	24,85	24,595	23,44	79,642	30,867	25,492	24,794	23,724	50,67	24,048	24,215	23,802	23,412	31,11	26,353	25,463	24,67	24,073		
12	165	91,719	33,543	25,98	25,05	23,28	58,659	25,867	24,117	23,723	23,092	74,372	34,234	25,563	23,25	23,742	89,306	33,492	26,249	25,26	23,921	56,056	25,724	24,251	23,964	23,422	89,902	33,343	27,716	25,877	24,951	
13	180	101,851	36,633	37,005	25,61	23,283	64,533	26,795	23,433	23,083	21,307	80,06	37,5	26,374	25,701	24,073	99,208	36,573	27,109	25,867	24,195	61,784	26,532	24,485	24,204	23,464	100,218	35,966	28,01	26,322	25,28	
14	195	112,251	40,082	28,232	26,258	23,728	70,677	27,879	24,677	24,091	23,141	85,416	41,285	27,311	26,532	24,384	24,555	67,77	25,701	24,752	24,315	23,487	110,75	38,987	26,773	26,679	25,596	25,299				
15	210	122,639	43,773	29,489	26,932	23,678	76,992	29,158	25,044	24,37	23	90,254	45,333	28,671	27,331	24,77	119,342	43,796	29,396	27,31	24,868	73,981	28,638	25,05	24,566	23,525	121,48	42,346	29,87	27,466	25,933	
16	225	133,113	47,759	30,415	27,507	23,927	83,399	30,614	25,505	24,645	23,328	94,654	49,743	30,104	28,39	25,248	129,703	47,885	30,445	27,999	25,236	80,414	24,703	24,796	23,591	132,63	46,006	30,948	28,211	26,397		
17	240	143,618	51,935	31,687	28,401	24,217	90,021	32,312	26,033	24,957	23,313	98,789	54,256	31,653	29,01	25,79	104,038	52,053	31,731	28,83	25,740	87,057	31,46	25,846	25,099	23,645	93,068	47,322	28,775	26,918	24,716	
18	255	154,029	55,912	32,976	29,048	24,553	96,82	34,208	26,667	25,325	23,384	103,08	58,697	33,489	30,529	26,337	150,311	56,241	33,061	29,802	26,254	80,414	24,357	24,707	23,309	153,859	53,537	32,857	29,417	27,502		
19	270	164,314	59,787	34,002	29,853	24,717	103,711	36,272	27,395	25,73	23,484	108,442	63,125	34,646	31,75	27,013	160,675	60,373	34,633	28,677	100,198	35,079	26,956	25,838	23,773	164,454	52,716	31,411	27,304	20,064		
20	285	174,501	63,25	35,409	30,644	25,268	110,765	38,428	28,167	26,134	23,564	114,124	67,201	37,003	32,599	27,81	170,866	64,066	35,894	31,411	27,374	107,736	37,177	27,598	26,348	23,897	174,972	60,698	34,978	30,709	28,597	
21	300	184,455	66,24	36,96	31,459	28,124	117,654	40,803	26,965	26,605	23,73	120,314	70,877	37,797	33,64	28,550	14,885	22,328	18,728	21,987	32,184	26,476	24,022	185,306	63,869	36,117	31,582	29,215				
22	315	194,456	68,81	37,811	32,244	26,115	120,095	43,313	29,648	27,028	23,877	127,158	74,309	39,666	34,295	29,35	19,064	66,922	31,116	30,055	33,065	27,187	41,775	25,677	24,315	19,592	35,277	83,819	32,373	28,919	25,299	24,257
23	330	204,311	71,076	39,382	33,073	26,454	132,284	45,91	30,255	27,438	24,008	134,751	77,182	39,323	35,086	30,184	200,409	72,134	35,094	29,307	29,307	44,294	24,295	24,298	20,422	30,487	205,653	70,266	38,386	32,396	30,487	
24	345	213,872	73,385	40,331	34,041	27,151	139,286	48,609	31,003	27,889	24,185	142,63	79,663	40,848	36,104	31,307	209,909	73,974	30,428	27,147	24,744	30,707	24,455	24,037	20,442	34,071	137,933	39,393	34,027	31,047	30,487	
25	360	223,354	75,998	41,587	34,917	27,703	146,388	51,274	31,318	24,421	23,302	151,118	81,84	41,536	37,793	34,194	21,453	120,311	75,738	31,748	27,739	24,357	30,709	24,455	24,037	20,442	34,071	137,933	39,393	34,027	31,047	30,487
26	375	232,631	78,864	42,702	35,873	24,456	132,159	55,266	32,152	27,795	24,045	132,152	86,474	42,862	38,049	34,884	28,108	132,598	51,339	30,195	28,071	24,357	32,328	24,455	24,037	20,442	34,071	137,933	39,393	34,027	31,047	30,487
27	390	241,691	82,2	43,252	36,715	28,161	150,583	56,583	33,332	29,421	24,738	168,284	48,874	42,236	39,065	33,095	23,798	80,748	47,441	32,223	29,947	24,973	44,033	85,453	45,833	36,157	31,411	30,348	33,448			
28	405	250,759	85,303	44,729	37,754	30,444	17,593	40,019	37,579	33,335	28,885	22,826	49,544	42,421	40,344	42,207	24,457	48,844	17,797	30,344	28,377	24,973	30,344	37,105	30,405	29,215	30,444	14,885	37,593	34,448	32,351	24,257
29	420	259,474	45,775	36,833	30,278	17,421	61,37	35,076	25,173	18,816	25,174	48,816	45,244	42,421	40,344	42,207	24,457	48,844	17,797	30,344	28,377	24,973	30,344	37,105	30,405	29,215	30,444	14,885	37,593	34,448	32,351	24,257
30	435	268,199	138,117	59,243	48,073	40,181	26,767	47,439	45,514	38,789	30,097	205,4382	114																			

Scan	Vrijeme	500				450				400				350_1				350_2				250										
		Bzuka	Zbuka	Centar	Stijenka	Pec	Bzuka	Zbuka	Centar	Stijenka	Zrak1	Zrak2	Stijenka	Zbuka Centar	Zbuka	Zrak1	Zrak2	Stijenka	Centa	Zrak1	Zrak2	Stijenka	Zbuka	Zbuka	Centar	Stijenka	Zrak1	Zrak2	Stijenka			
				Zrak1	Zrak2	Stijenka	Zrak1	Zrak2	Stijenka	Zrak1	Zrak2	Stijenka	Zrak1	Zrak2	Stijenka	Zrak1	Zrak2	Stijenka	Centa	Zrak1	Zrak2	Stijenka	Zbuka	Zbuka	Centar	Stijenka	Zrak1	Zrak2	Stijenka			
1	0	22,677	22,674	22,566	22,529	22,486	27,982	27,811	25,866	25,89	25,916	23,368	23,344	23,321	23,305	23,268	23,244	23,221	23,218	23,205	21,595	21,574	22,824	22,855	22,799	22,752	22,752					
2	15	23,408	22,677	22,605	22,542	22,485	28,445	27,819	25,966	25,93	25,895	23,681	23,37	23,335	23,349	23,326	23,581	23,226	23,235	23,249	21,581	21,401	21,38	23,223	22,816	22,778	22,822	22,746	22,746			
3	30	25,862	22,809	22,679	22,605	23,473	30,704	27,885	25,974	25,972	25,884	24,815	23,4	23,41	23,405	23,313	24,715	23,3	23,305	23,213	24,404	21,643	21,447	21,359	25,454	22,908	22,911	22,965	22,762			
4	45	30,147	23,156	22,76	22,695	22,478	35,014	28,118	26,062	26,069	25,879	26,973	23,499	23,425	23,504	23,317	26,873	23,393	23,325	23,404	23,217	28,571	21,995	21,896	21,528	21,383	29,787	23,147	23,053	23,106	22,791	
5	60	35,869	23,908	22,884	22,847	22,489	40,847	28,723	26,181	26,211	25,892	30,092	23,64	23,503	23,605	23,319	30,332	24,395	23,717	23,701	23,204	34,195	22,667	21,858	21,67	21,375	35,775	23,825	23,254	22,811		
6	75	42,658	25,115	23,076	23,103	22,489	47,736	29,707	26,447	26,381	25,879	33,975	23,966	23,824	23,324	33,611	24,699	23,794	23,781	23,216	40,965	23,83	22,056	21,925	21,383	42,656	24,803	23,358	23,492	22,809		
7	90	50,225	26,894	23,355	23,373	22,515	55,39	31,232	26,641	26,584	25,889	38,405	24,424	23,693	23,935	23,33	37,431	25,13	23,92	23,872	23,241	48,635	25,539	22,356	22,24	21,401	50,406	26,421	23,612	23,942	22,846	
8	105	58,433	29,274	23,96	23,773	22,528	63,567	33,326	27,002	26,87	25,897	43,052	25,052	23,811	24,05	23,308	41,549	27,737	24,033	24,011	23,27	56,939	27,822	22,937	22,68	21,457	58,554	28,536	23,889	24,434	22,88	
9	120	67,016	32,194	24,46	24,217	22,578	72,149	35,972	27,988	27,241	25,913	48,364	25,956	23,939	24,199	23,331	45,955	26,523	24,174	24,122	23,285	65,752	30,7	23,641	23,128	21,502	67,088	31,223	24,373	25,014	22,927	
10	135	75,892	35,696	25,321	24,761	22,62	81,01	39,228	28,407	27,766	25,992	53,812	27,041	24,09	24,393	23,327	50,528	27,527	24,341	24,291	23,318	74,821	34,157	23,763	21,592	25,449	24,916	25,637	22,956	22,762		
11	150	84,941	39,688	26,03	25,416	22,688	90,049	42,951	29,451	28,365	26,086	59,495	28,42	24,345	27,753	23,367	55,344	27,484	23,281	44,078	38,093	25,381	24,379	21,64	85,042	38,237	25,705	26,599	23,019			
12	165	94,106	44,152	26,29	26,147	22,77	99,195	47,147	30,022	29,891	26,138	65,823	30,042	24,674	25,181	23,387	60,163	30,317	24,872	24,793	23,425	93,446	42,474	26,578	25,207	21,73	94,207	42,459	25,677	23,54	21,001	
13	180	103,325	49,024	27,878	27,063	22,915	108,369	51,693	30,986	29,916	26,215	71,309	31,188	25,064	25,59	23,399	64,95	32,095	25,227	25,061	22,865	47,799	27,565	21,783	22,573	21,203	103,439	47,149	27,667	23,707	22,303	
14	195	112,558	54,267	28,953	27,975	23,078	117,581	56,62	31,996	30,686	26,328	77,406	33,96	25,453	25,966	23,422	69,442	34,118	25,604	25,427	23,578	112,155	52,443	28,872	26,758	21,946	112,629	52,177	28,47	29,184	23,34	
15	210	121,746	59,865	29,717	28,907	23,282	126,87	61,92	32,541	31,42	26,452	83,61	36,263	25,961	26,337	23,451	73,354	36,497	26,061	25,816	23,665	121,318	57,902	30,688	27,558	22,108	121,805	57,463	28,672	29,863	23,472	
16	225	130,744	65,653	30,922	29,775	23,461	130,001	67,418	33,285	32,173	26,596	89,838	38,775	26,566	26,916	23,515	76,736	36,244	26,051	26,249	23,749	130,355	63,628	31,398	28,452	22,31	131	63,035	21,321	23,79	23,34	
17	240	139,576	71,494	32,393	30,833	23,69	144,933	73,149	33,972	32,962	26,786	96,081	41,517	27,162	25,549	23,572	79,797	41,936	27,099	26,699	23,688	139,182	63,526	32,921	29,423	22,523	130,371	63,224	28,197	29,446	23,101	
18	255	148,162	77,562	32,92	31,768	23,982	153,675	70,064	34,896	33,91	27,019	102,346	44,444	28,089	28,047	23,617	83,238	45,017	27,691	27,176	24,046	147,904	75,66	34,165	30,558	28,231	148,773	74,485	24,554	24,655	22,458	
19	270	156,574	83,71	34,32	32,757	24,387	162,205	85,07	36,343	34,963	27,316	108,652	47,523	28,438	28,464	24,895	82,612	46,872	23,495	23,226	21,156	81,482	41,872	37,553	33,971	34,883	24,665	156,574	83,71	28,465	28,465	22,458
20	285	164,85	89,961	35,157	33,643	24,84	170,471	91,16	37,473	35,957	27,574	115,022	50,777	29,096	29,009	23,746	89,104	51,739	28,984	28,232	24,41	164,827	88,092	36,582	32,508	23,641	165,793	86,647	28,664	28,664	22,458	
21	300	172,967	96,22	36,344	34,809	25,156	178,633	97,317	36,736	37,122	27,9	121,359	54,141	29,719	29,856	91,846	55,262	29,674	28,809	24,605	94,333	33,628	34,245	33,628	32,406	174,009	97,709	37,026	37,418	25,754		
22	315	181,014	102,613	37,822	35,961	25,988	185,644	103,495	40,15	38,255	28,279	127,739	57,684	30,314	30,485	23,962	94,436	58,304	30,504	29,428	24,796	181,095	43,041	34,941	34,941	32,453	87,399	35,399	28,399	28,399	23,341	
23	330	188,765	108,885	38,833	37,275	26,604	193,466	107,069	41,313	39,18	26,671	133,998	53,193	30,633	30,918	24,864	93,391	53,193	30,633	29,441	24,906	188,936	40,528	38,089	38,089	32,406	87,308	35,308	28,399	28,399	23,341	
24	345	196,372	111,053	40,041	39,459	34,859	201,404	112,053	45,466	43,767	30,074	120,495	54,107	30,633	30,918	24,864	93,391	54,107	30,633	29,441	24,906	188,936	40,528	38,089	38,089	32,406	87,308	35,308	28,399	28,399	23,341	
25	360	203,188	116,598	51,068	53,372	36,737	203,188	116,598	51,068	53,372	36,737	120,495	54,107	30,633	30,918	24,864	93,391	54,107	30,633	29,441	24,906	188,936	40,528	38,089	38,089	32,406	87,308	35,308	28,399	28,399	23,341	
26	375	209,783	120,458	52,078	54,997	40,679	207,308	120,458	52,078	54,997	40,679	120,495	54,107	30,633	30,918	24,864	93,391	54,107	30,633	29,441	24,906	188,936	40,528	38,089	38,089	32,406	87,308	35,308	28,399	28,399	23,341	
27	390	219,784	126,545	52,078	54,997	40,679	207,308	120,458	52,078	54,997	40,679	120,495	54,107	30,633	30,918	24,864	93,391	54,107	30,633	29,441	24,906	188,936	40,528	38,089	38,089	32,406	87,308	35,308	28,399	28,399	23,341	
28	405	224,804	130,393	54,101	56,101	40,731	210,394	120,393	54,101	56,101	40,731	120,495	54,107	30,633	30,918	24,864	93,391	54,107	30,633	29,441	24,906	188,936	40,528	38,089	38,089	32,406	87,308	35,308	28,399	28,399	23,341	
29	420	231,243</td																														

Scan	Vrijeme	500					400					350					250					
		Zbuka	Zbuka	Zrak1	Zrak2	Pec	Zbuka	Zbuka	Zrak1	Zrak2	Stijenka	Zbuka	Zbuka	Zrak1	Zrak2	Pec	Zbuka	Zbuka	Zrak1	Zrak2	Pec	
1	0	22	22,329	22,432	22,358	22,319	21,353	21,286	21,243	21,185	21,107	22,127	22,097	21,089	20,945	20,575	22,339	22,382	22,391	22,344	22,262	
2	15	23,965	22,422	22,641	22,42	22,327	21,499	21,422	21,384	21,201	21,109	22,237	22,295	21,182	20,999	20,58	22,506	22,528	22,603	22,413	22,322	
3	30	25,94	22,65	22,752	22,526	22,35	21,829	21,805	21,493	21,291	21,093	22,679	22,718	21,299	21,121	20,604	20,279	22,727	22,715	22,673	22,479	22,319
4	45	28,556	23,106	23,035	22,683	22,346	22	22,356	21,679	21,411	21,109	23,523	23,589	21,551	21,342	20,617	23,616	23,221	22,883	22,652	22,337	
5	60	31,83	23,87	23,452	23,934	22,355	23,965	23,539	22,062	21,624	21,123	24,918	24,878	21,99	21,637	20,641	24,941	24,005	23,215	22,895	22,418	
6	75	35,566	24,981	24,226	23,292	22,361	25,94	24,852	22,453	21,875	21,152	26,93	26,614	22,723	20,889	20,66	26,675	25,129	23,68	23,198	22,408	
7	90	39,817	26,468	24,992	23,761	22,394	28,556	26,643	23,151	22,285	21,192	29,633	28,992	23,476	22,605	20,734	29,591	26,692	24,341	23,607	22,484	
8	105	44,492	28,308	25,894	24,3	22,416	31,83	28,888	24,099	22,868	21,273	32,798	31,738	23,999	23,074	20,779	32,877	28,572	25,305	24,053	22,52	
9	120	49,533	30,509	27,05	24,957	22,476	35,566	31,438	24,711	23,467	21,321	36,497	34,941	24,153	23,804	20,829	36,726	30,8	26,078	24,621	22,565	
10	135	54,796	33,067	28,464	25,597	22,527	39,817	34,373	25,665	24,14	21,401	40,595	38,457	24,795	24,648	20,909	41,176	33,476	26,972	25,383	22,659	
11	150	60,255	35,897	29,947	26,272	22,587	44,492	37,592	27,086	24,908	21,515	45,212	42,443	25,999	25,519	21,018	46,083	36,418	27,863	26,109	22,748	
12	165	65,842	39,042	31,594	27,088	22,74	49,533	41,112	28,141	25,711	21,67	50,008	46,525	28,112	26,547	21,127	51,291	39,547	28,732	26,994	22,846	
13	180	71,403	42,423	33,267	27,879	22,853	54,796	44,848	29,974	26,615	21,882	55,139	50,855	29,698	27,597	21,303	57,029	43,088	29,699	27,976	23,055	
14	195	77,13	46,031	35,022	28,809	23,03	60,255	48,761	31,405	27,623	22,087	60,356	55,348	30,784	28,57	21,502	62,884	46,708	31,125	28,991	23,255	
15	210	82,875	49,722	36,327	29,931	23,237	65,842	52,785	33,175	28,657	22,395	65,708	59,912	35,237	29,704	21,787	68,995	50,484	31,948	29,935	23,518	
16	225	88,671	53,53	37,751	31,125	23,534	71,403	56,984	33,865	29,692	22,737	71,198	65,037	36,605	30,844	22,119	75,726	54,469	33,17	30,953	23,904	
17	240	94,399	57,47	40,461	32,179	23,943	77,13	61,234	36,611	30,875	23,063	76,568	69,309	40,047	32,528	22,581	81,661	58,482	34,343	31,981	24,249	
18	255	100,24	61,444	42,033	33,082	24,288	82,875	65,595	38,134	32,051	23,607	81,906	73,241	42	33,861	23,057	88,008	23,507	13,04	24,661	22,333	
19	270	106,027	65,485	44,676	34,464	24,745	88,671	69,955	39,941	33,085	24,141	87,284	80,266	42,86	35,209	23,675	94,626	66,814	36,821	34,34	25,187	
20	285	111,624	69,6	47,092	35,551	25,254	94,399	72,471	41,381	36,475	24,675	92,397	83,307	43,806	36,752	24,338	101,039	71,087	38,508	35,45	25,708	
21	300	117,261	73,693	47,816	37,068	25,78	100,24	78,876	42,894	35,326	25,341	97,296	87,012	44,866	38,45	25,096	107,582	75,688	40,309	36,929	26,383	
22	315	123,047	77,882	51,037	38,522	26,397	106,027	83,166	44,691	36,344	26,059	102,199	89,56	46,204	40,211	26,016	114,006	79,972	41,526	38,145	26,991	
23	330	129,04	82,077	51,874	39,977	27,091	111,624	87,684	46,192	37,556	26,795	106,579	91,167	45,293	41,568	26,91	120,462	84,354	43,665	39,491	27,737	
24	345	134,165	86,285	52,686	41,06	27,849	117,261	92,149	48,059	39,027	27,588	110,834	92,834	50,137	43,34	28,015	126,852	88,746	44,882	41,07	28,547	
25	360	139,846	90,463	56,143	42,8	28,508	123,047	96,88	49,4	40,057	28,388	114,812	95,88	52,433	44,926	29,243	133,069	93,096	47,669	42,418	29,328	
26	375	145,883	94,62	59,119	44,268	29,438	129,04	101,433	51,888	41,323	29,198	119,05	98,814	53,376	46,415	30,695	139,43	97,518	52,235	43,799	30,259	
27	390	151,956	98,73	60,112	46,232	30,373	134,165	105,728	53,294	42,729	30,032	123,391	102,115	55,503	48,242	32,225	145,537	101,869	55,628	45,015	31,085	
28	405	161,648	102,822	61,889	47,417	31,242	139,846	109,727	55,96	43,956	30,924	127,886	105,044	59,069	49,413	33,746	151,531	106,202	59,495	46,364	31,95	
29	420	173,693	106,231	62,231	48,243	32,143	145,883	113,944	55,202	45,37	31,855	132,213	108,673	52,111	47,496	30,115	157,496	110,657	61,585	47,26	32,889	
30	435	179,115	110,65	62,905	33,106	105,156	111,956	117,74	52,688	47,292	32,691	112,702	113,337	53,221	53,471	36,948	163,231	114,981	61,716	49,79	33,749	
31	450	184,557	115,216	66,817	31,315	34,012	161,648	121,786	58,798	48,244	33,562	114,473	123,351	53,763	54,477	38,588	168,937	119,22	65,197	50,76	34,748	
32	465	189,815	119,364	67,535	52,91	34,908	173,693	125,889	59,507	49,496	34,424	146,044	118,206	67,746	65,597	40,286	174,539	123,428	65,194	52,343	35,677	
33	480	195,02	124,771	68,328	54,001	35,892	179,115	130,285	60,301	50,394	35,151	150,772	122,398	68,354	62,412	37,948	179,948	127,63	68,221	53,815	36,509	
34	495	200,073	127,66	71,173	55,52	36,77	184,557	134,421	63,958	51,95	36,248	155,191	128,729	70,901	58,797	43,819	185,417	131,918	72,167	54,977	37,423	
35	510	205,18	131,825	70,271	57,087	37,644	189,815	138,545	64,827	56,984	36,984	159,741	134,254	75,643	61,799	45,677	190,679	136,097	68,447	56,514	38,234	
36	525	210,081	135,914	73,879	59,347	35,012	195,02	145,276	65,474	64,591	35,023	160,549	145,293	76,568	71,724	46,204	201,031	144,605	78,775	59,114	38,97	
37	540	214,085	139,947	75,001	59,292	35,203	200,433	164,591	66,543	65,705	35,705	161,591	146,561	77,568	72,244	46,878	207,807	145,235	80,597	70,729	45,519	
38	555	219,65	144,003	75,557	71,024	35,995	204,764	166,543	67,564	67,821	35,995	162,591	147,564	78,568	73,256	46,204	210,887	146,463	80,533	72,133	46,459	
39	570	224,414	74,785	77,832	62,502	40,597	208,203	171,291	69,453	63,061	35,237	163,203	148,531	79,505	74,384	46,344	205,207	146,035	77,338	59,219	47,848	
40	585	228,003	151,889	80,681	64,414	21,713	214,858	155,753	70,572	60,29	34,191	181,331	155,277	82,338	86,136	48,836	215,676	156,707	74,431	63,095	41,545	
41	600	233,334	155,782	80,904	65,441	21,618	219,65	162,838	74,535	61,636	41,785	186,111	159,122	81,085	86,687	54,025	220,382	160,69	79,543	65,565	42,016	
42	615	237,444	159,761	79,965	66,964	42,131	224,314	166,819	74,208	62,542	42,372	190,935	162,14	83,253	80,424	50,025	220,242	160,442	79,511	65,513	42,131	
43	630	241,976	156,769	85,67	69,096	42,574	221,302	172,777	73,307	60,363	22,105	197,507	162,077	85,477	82,222	46,121	221,217	160,773	90,15	66,653		

		460				400				350				300				270									
Scan	Vrijeme	Zbuka	Zbuka	Zrak1	Zrak2	Pec	Zbuka	Zbuka	Zrak1	Zrak2	Pec	Zbuka	Zbuka	Zrak1	Zrak2	Pec	Zbuka	Zbuka	Zrak1	Zrak2	Pec	Zbuka	Zbuka	Zrak1	Zrak2	Pec	
1	0	21,393	21,188	21,092	21,204	21,111	21,393	21,393	21,167	21,43	21,14	29,008	28,721	25,291	28,687	26,061	21,393	21,553	21,335	21,474	21,293	21,157	21,157	21,045	21,175	21,101	
2	15	21,399	21,191	21,077	21,207	21,117	21,399	21,399	21,184	21,413	21,171	28,969	28,761	25,733	28,777	26,049	21,399	21,507	21,342	21,499	21,345	21,19	21,19	21,055	21,201	21,1	
3	30	23	21,23	21,087	21,196	21,14	23	21,448	21,24	21,469	21,155	29,015	28,815	25,85	28,809	26,05	23	21,498	21,335	21,482	21,319	21,273	21,273	21,095	21,353	21,079	
4	45	25	21,301	21,133	21,338	21,23	21,25	21,672	21,289	21,752	21,156	29,528	28,923	25,948	28,871	26,051	23	21,583	21,338	21,593	21,343	21,479	21,479	21,152	21,697	21,088	
5	60	28	21,575	21,192	21,841	21,23	21,28	22,197	21,36	22,441	21,155	30,818	29,295	26,044	29,227	26,017	28	21,94	21,406	22,055	21,323	21,814	21,814	21,211	22,254	21,094	
6	75	30	22,18	21,322	22,885	21,138	30	23,135	21,45	23,738	21,184	32,914	30,073	26,191	30,002	25,975	30	22,612	21,533	23,044	21,336	28,9939	22,303	21,268	23,103	21,074	
7	90	34	23,197	21,411	24,467	21,129	34	24,524	21,7	25,584	21,187	35,707	33,172	26,427	31,283	25,998	34	23,787	21,699	24,602	21,327	29,9611	23,047	21,379	24,173	21,097	
8	105	38	24,687	21,727	26,694	21,152	38	26,466	21,967	28,047	21,206	39,202	33,191	26,643	33,106	25,991	38	25,451	21,959	26,785	21,352	31,1064	23,928	21,546	25,522	21,07	
9	120	43,367	26,69	22,063	29,463	21,185	43,367	28,977	22,91	31,079	21,218	43,367	35,585	26,937	35,401	26,025	43,367	27,7	22,279	29,594	21,422	32,6118	25,086	21,741	27,198	21,1	
10	135	48,101	29,19	22,393	32,74	21,172	48,101	31,966	26,636	34,607	21,238	48,101	38,486	27,126	38,254	26,034	48,101	30,467	22,61	32,871	21,424	34,4331	26,487	21,977	29,023	21,163	
11	150	53,285	32,116	27,278	36,51	21,211	53,285	35,507	25,309	35,85	25,25	53,285	41,918	27,597	41,463	26,079	53,285	33,756	23,063	36,649	21,464	36,4533	28,041	22,228	31,116	21,26	
12	165	58,865	35,762	23,131	40,621	21,291	58,865	39,5	23,419	42,786	21,381	58,865	45,801	27,929	45,042	26,12	58,865	37,527	23,575	40,792	21,509	38,883	29,91	22,501	33,443	21,186	
13	180	64,811	39,73	23,712	44,105	21,344	64,811	44,264	24,475	47,719	21,475	64,811	50,11	28,438	48,961	26,171	64,811	41,734	24,239	45,465	21,605	41,551	31,963	22,748	35,899	21,192	
14	195	71,001	44,056	24,233	49,949	21,43	71,001	49,065	24,925	52,749	21,57	71,001	54,819	28,925	53,268	26,726	71,001	46,367	24,777	50,404	21,738	44,5458	34,266	21,318	38,622	21,244	
15	210	77,408	48,772	24,789	54,999	21,547	77,408	54,19	25,526	58,758	21,691	77,408	59,786	29,44	57,745	26,376	77,408	51,341	25,311	55,502	21,891	47,771	36,747	21,415	41,448	21,261	
16	225	83,99	53,757	25,607	60,24	21,712	83,99	59,055	26,05	63,484	21,852	83,99	65,053	30,263	62,626	26,527	83,99	56,587	25,683	60,88	22,025	51,296	39,46	23,766	44,439	21,292	
17	240	90,728	59,037	26,092	65,66	21,916	90,728	64,538	26,816	69,098	21,991	90,728	70,557	31,012	67,619	26,691	90,728	62,046	26,397	66,416	22,196	55,0433	42,341	24,127	47,598	21,378	
18	255	97,6	64,511	26,868	71,193	22,088	97,6	70,257	27,851	47,872	22,196	97,6	76,171	32	77,792	26,883	97,6	67,739	27,566	72,145	24,747	58,9836	45,372	24,379	50,831	21,444	
19	270	104,577	70,187	27,745	76,74	22,323	104,577	76,703	28,474	80,67	22,432	104,577	82,69	32,783	78,066	27,138	104,577	73,569	28,106	77,91	22,646	63,1072	48,544	24,864	54,248	21,525	
20	285	111,569	76,002	28,533	82,557	22,551	111,569	82,016	29,401	86,524	22,67	111,569	87,965	33,312	83,246	27,378	111,569	79,55	29,049	83,715	23,054	67,3842	51,834	25,466	57,749	21,602	
21	300	117,734	81,89	27,877	82,832	22,173	117,734	87,989	30,481	92,341	22,913	118,734	93,933	34,711	88,855	27,65	117,734	85,513	30,038	89,511	23,351	71,825	55,205	21,618	31,287	21,163	
22	315	124,843	87,81	30,825	94,031	23,118	124,843	94,019	31,421	98,242	23,238	125,718	100,023	35,591	94,168	27,962	124,843	91,603	31,072	95,376	23,804	76,4725	58,825	26,41	64,89	21,758	
23	330	131,867	93,81	31,885	99,571	23,428	131,867	100,049	32,484	104,09	23,187	132,692	106,197	36,273	99,62	28,374	131,867	97,567	32,169	101,202	24,262	81,2058	62,466	27,149	68,571	21,918	
24	345	138,802	99,805	33,113	105,478	23,836	138,802	106,149	33,765	109,91	24,085	139,683	112,461	36,733	105,125	28,814	138,802	103,727	33,28	107,083	24,847	86,0028	66,156	27,654	72,287	21,992	
25	360	145,682	105,82	33,846	127,487	24,287	145,682	112,262	34,347	115,681	24,541	145,705	118,808	37,534	110,344	25,251	145,682	109,685	34,245	112,825	23,303	59,377	62,047	24,397	75,303	21,255	
26	375	152,4	111,286	35,092	116,75	24,747	152,4	118,446	35,769	121,488	25,123	153,546	125,052	38,722	115,995	29,701	152,4	115,726	35,799	118,586	26,01	95,9829	73,833	28,714	79,793	22,359	
27	390	159,059	117,962	36,768	122,422	25,314	159,059	124,566	36,94	127,121	25,522	159,059	131,248	39,637	121,469	30,292	159,059	121,929	36,714	124,386	26,646	101,0737	77,749	20,401	83,543	22,549	21,254
28	405	165,655	124,142	37,673	127,869	25,93	165,655	130,656	38,13	132,722	26,337	165,655	137,544	37,245	140,802	32,682	165,655	128,809	38,652	120,886	27,402	106,1437	81,649	30,005	87,33	22,764	
29	420	172,138	130,233	38,812	133,352	26,627	172,138	136,53	39,261	138,185	26,995	173,324	143,487	41,732	132,175	31,346	172,138	133,544	39,344	135,79	28,107	111,3307	85,639	31,94	91,146	22,297	21,229
30	435	178,529	136,201	40,409	138,659	27,244	178,529	142,375	40,212	143,555	27,692	178,529	149,006	42,62	137,125	32,19	178,529	139,128	40,216	141,297	24,171	80,965	74,458	30,337	91,4957	23,283	
31	450	184,854	142,066	41,254	145,735	27,971	184,854	148,096	45,24	142,987	28,387	184,854	151,747	42,574	142,574	32,883	184,854	147,878	41,157	146,654	29,576	121,717	113,629	32,292	98,732	23,256	
32	465	191,047	147,81	42,214	148,884	28,593	191,047	153,698	42,909	154,093	29,107	191,047	161,268	45,059	147,51	33,599	191,047	150,565	42,597	151,907	30,433	126,965	97,665	32,864	102,515	23,936	21,396
33	480	193,991	153,393	49,151	153,593	29,767	193,991	153,491	50,157	153,593	29,767	193,991	153,704	50,187	170,711	32,172	193,991	153,704	50,187	170,711	32,172	109,666	33,367	20,402	74,307	21,249	
34	495	204,832	154,792	50,777	154,997	29,853	204,832	155,997	51,777	154,997	29,853	204,832	156,997	52,777	160,592	32,172	204,832	157,997	52,777	160,592	32,172	109,666	33,367	20,402	74,307	21,249	
35	510	207,931	155,909	52,333	156,911	29,952	207,931	156,911	53,333	156,911	29,952	207,931	157,912	53,333	160,592	32,172	207,931	158,912	53,333	160,592	32,						